

2098

İSTANBUL TEKNİK ÜNİVERSİTESİ ★ KİMYA - METALURJİ FAKÜLTESİ

YERİNDE URANYUM EKSTRAKSİYONU YÖNTEMİ ÜZERİNE DENEYSEL VE TEORİK MODELLEME ÇALIŞMALARI

İTÜ FEN BİLİMLERİ ENSTİTÜSÜNCE

"DOKTOR"

Ünvanının verilmesi için kabul edilen tezdir.

Yük. Müh. Hasancan OKUTAN

**Tezin Fen Bilimleri Ens. Verildiği Tarih: 9 Kasım 1983
Tezin Savunulduğu Tarih : 15 Şubat 1984**

**Doktorayı Yöneten Öğretim Üyesi: Prof. Dr. İhsan ÇATALTAŞ
Diğer Jüri Üyeleri : Prof. Dr. Raşit TOLUN
Prof. Dr. Recep SAFOĞLU**

ŞUBAT, 1984

**T. C.
Yüksekoköğretim Kurulu
Dokümantasyon Merkezi**

İÇİNDEKİLER

	Sayfa No
Özet	IV
Summary	VII
Semboller	XII
BÖLÜM 1. GİRİŞ VE AMAC	1
1.1. Yerinde Değerlendirme Yöntemleri ve Gerekliliği	1
1.1.1. Tanımı ve Tarihsel Gelişimi	1
1.1.2. Prosesin Yürüyüşü	2
1.1.3. Yerinde Değerlendirme Yöntemlerinin Gerekliliği, Üstünlükleri ve Sakıncaları	3
1.1.4. Kuyuların Yerleşim Şekilleri	4
1.2. Yerinde Uranyum Ekstraksiyonu Yöntemi	5
1.2.1. Uranyum Cevherinden Uranyum Ekstraksiyonu	5
1.2.2. Yerinde Uranyum Ekstraksiyonu	8
1.3. Çalışmanın Amacı	11
BÖLÜM 2. KARBONAT ÇÖZÜNTİSİYLE URANYUM EKSTRAKSİYONU VE KİMYASI	13
2.1. Çözünürlük Mekanizması	13
2.2. Çözünürlük Hızına Etken Değişkenler	15
2.2.1. pH Etkisi	15
2.2.2. Sıcaklığın Etkisi	17
2.2.3. Oksijen Basıncının Etkisi	18
2.2.4. Oksitleyici Türünün ve Konsantrasyonunun Etkisi	18
2.2.5. Karbonat ve Bikarbonat Konsantrasyonlarının Etkisi	21
2.3. Hidrojen Peroksit ve Bozunması	23
2.3.1. Hidrojen peroksitin Katalitik Bozunması	23

BÖLÜM 3. DENEMELER	25
3.1. Amaç	25
3.2. Kullanılan Mineralin, Kimyasal Maddelerin ve Düzenegin Tanımlanması	25
3.2.1. Çalışmada Kullanılan Uranyum Mineralinin Tanımlanması	25
3.2.2. Deneylerde Kullanılan Kimyasal Maddeler	26
3.2.3. Analiz Yöntemleri	27
3.2.4. Deney Düzenegi ve Kullanılan Cihazlar	28
3.2.5. Ekstraksiyon İşleminin Yürüyüşü	31
3.2.5.1. Ön Hazırlık İşlemi	31
3.2.5.2. Ekstraksiyon İşlemi	31
3.3. Asit ve Karbonat Ekstraksiyon Sistemlerinin Karşılaştırılması İçin Yapılan Denemeler	32
3.3.1. Sodyum Karbonat/Sodyum Bikarbonat Sis- temi	33
3.3.2. Amonyum Karbonat/Amonium Bikarbonat Sistemi	33
3.3.3. Sülfürük Asit Sistemi	33
3.3.4. Nitrik Asit Sistemi	36
3.3.5. Sonuçların Değerlendirilmesi	36
3.4. Demir Kelatların Karbonat Çözeltisinde Hidrojen Peroksit Bozunmasına Etkilerinin İncelemesi	39
3.4.1. Deneylerde Kullanan Demir Kelatlar	40
3.4.2. Deney Şartları ve Yöntem	40
3.4.3. Sonuçlar ve Değerlendirilmesi	41
3.5. Karbonat Çözeltileriyle Uranyum Ekstraksiyon Denemeleri	48
3.5.1. Ekstraksiyon Çözeltilerinin Hazırlanışı ve Ekstraksiyon İşlemi	48
3.5.2. Hidrojen Peroksit Bozunması	54
3.5.3. Uranyum Çözünürlüğü	54
3.5.3.1. Hidrojen Peroksitin Etkisi	54
3.5.3.2. pH Etkisi	57
3.5.3.3. Kelatların Etkisi	61
3.5.4. Ekstraksiyon Denemelerinin Kütle Hesaplaması	61
3.5.5. Sonuçların Değerlendirilmesi	65

BÖLÜM 4. YERİNDE URANYUM EKSTRAKSİYONU YÖNTEMİYLE İLGİLİ TEORİK MODELLEME ÇALIŞMALARI	68
4.1. Giriş	68
4.1.1. Matematik Modelle Gereksinim	68
4.1.2. Yerinde Uranyum Ekstraksiyonunun Modellenmesi Konusunda Yapılan Çalışmalar	69
4.2. Model Geliştirilmesi ve Eşitlikler	69
4.2.1. Uranyum Kütle Dengesi	70
4.2.2. Gözenekli Ortamda Açıksan Akımı	70
4.3. Sınır Elamanları Yöntemi	72
4.4. Homojen Ortamdaki Akış	74
4.4.1. Temel Bağıntıların Çıkartılması	74
4.4.2. Örnek Problemin Tanımlanması	80
4.4.3. Çözüm Yöntemi	80
4.4.4. Sonuçlar ve Değerlendirilmesi	85
4.5. Heterojen Ortamdaki Akış	90
4.5.1. Temel Bağıntıların Çıkartılması	90
4.5.2. Örnek Problemin Tanımlanması	94
4.5.3. Çözüm Yöntemi	95
4.5.4. Sonuçlar ve Değerlendirilmesi	97
BÖLÜM 5. GENEL SONUÇLAR	102
Referanslar	104
Teşekkür	113
Özgeçmiş	114

Ö Z E T

Petrol, kömür ve tabii gaz gibi enerji kaynaklarının yakın bir gelecekte tükeneceği bilindiginden 2000 yıllarında dünya enerji tüketiminin %25'nin nükleer santrallerden sağlanacağı tahmin edilmektedir. Nükleer enerji kaynağını teşkil eden uranyum madeni ülkemiz rezervleri de dahil olmak üzere dünyanın çeşitli bölgelerinde genellikle düşük tenörlü(%1 den az) rezervler şeklinde bulunmaktadır. Özellikle klasik madencilik yöntemleriyle ekonomik ve teknik açıdan değerlendirilemiyen uranyum rezervleri için yerinde uranyum ekstraksiyonu yöntemi yeni bir çözüm olmaktadır.

Bu çalışma iki amaca yönelik olarak gerçekleştirilmişdir. Deneysel olarak yürütülen birinci amaç ile, yerinde uranyum ekstraksiyonu yöntemiyle, uranyum madeninden uranyum ekstraksiyonunda oksitleyici olarak kullanılan hidrojen peroksitin bozunma hızına ve uranyum çözünürlüğüne pH ve kelat etkileri incelenmiştir. Yerinde değerlendirme yöntemi için bir sakınca teşkil eden hidrojen peroksit bozunmasının yavaşlatılması ve uranyum çözünürlüğünün mekanizması araştırılmıştır. İkinci amaç ile, yerinde uranyum ekstraksiyonu yönteminin başarıyla uygulanmasında önemli bir yer tutan besleme ve üretim kuyularının maden bölgesi içinde yerlesimi ve bu kuyular arasında çözeltinin akış yollarının matematik modellenmesi hedef tutularak, yeni bir nümerik çözüm yöntemi olan sınır elemanları tekniğinin kullanılabilirliği araştırılmıştır.

Deneysel olarak gerçekleştirilen birinci grup çalışmada, yerinde uranyum ekstraksiyonu şartlarında bir litrellik Autoclave Engineers, Erie (ABD) yapımı karıştırıcılı otoklav kullanılarak ekstraksiyon denemeleri yürütülmüştür. Ekstraksiyon işleminde çözücü olarak asidik ve karbonat sistemleri denenmiş ve ortama oksitleyici olarak hidrojen peroksit ilave edilmiştir. Yapılan denemeler sonucunda karnotit ve uraninit yapısındaki uranyum cevheri için çözücü olarak karbonat sistemlerinin kullanımının asidik sistemlere göre daha üstünlüğe sahip olduğu anlaşılmıştır. Bunun yanısıra hidrojen peroksitin uranyum ekstraksiyonu verimini daima olumlu yönde etkileyen uygun bir oksitleyici olduğu gösterilmiştir.

Yerinde uranyum ekstraksiyonu yönteminde oksitleyici olarak hidrojen peroksitin kullanılmasının pekçok yararlarının bulunmasının yanısıra kısa bir sürede su ve oksijene bozunması, kullanımını açısından bir sakınca teşkil etmektedir. Çok küçük miktarlarda bile olsa ağır ve geçiş metallerinin bir kısmı hidrojen peroksitin bozunmasında katalizör olarak önemli rol oynamakta, ayrıca ortamda bulunan demir tuzları bozunma hızını artırmaktadır. Bu sebeple ikinci aşamada gerçekleştirilen deneysel çalışmada, yüksek pH'a sahip karbonat çözeltisinde hidrojen peroksit bozunmasına demir etkisinin azaltılması araştırılmıştır. Dört ayrı test şartı hazırlanarak, çalkalayıcı üzerinde gerçekleştirilen denemelerde hidrojen peroksit bozunmasına demir etkisinin Hampene OH-3, DEG, EDG ve EDTA kelatlarının kullanılmasıyla azaltılabilceği belirlenerek hidrojen peroksitin stabilitesi sağlanmıştır.

Karbonat çözeltisinde hidrojen peroksitin bozunma hızının bazı kelatlarla yavaşlatılarak olumlu neticeler alınması üzerine otoklavda iki farklı pH'a sahip karbonat çözeltisiyle bir seri uranyum ekstraksiyonu denemeleri gerçekleştirilmiştir. Denemelerde, ekstraksiyon süresince, hidrojen peroksitin bozunma hızına ve uranyum çözünürlüğüne pH ve Hampene OH-3, DEG, EDG, hidroksiasetik asit kelatlarının etkileri incelenmiş, kelat konsantrasyonundaki artışın hidrojen peroksit stabilitesini artırdığı gözlenmiştir. Yine denemeler sonucunda uranyum ekstraksiyon işleminin iki farklı bölgede yürüdüğü, birinci hızlı ekstraksiyon bölgesinde uranyum çözünürlüğünün $\alpha = A + B \ln \theta$ şeklinde zamanın logaritmasına bağlı bir modele uydugu, ikinci bölgede ise çözünürlüğün birinci bölgeye göre daha yavaş bir hızla yürüdüğü ve hidrojen peroksit yerine oksijen tarafından kontrol edildiği ortaya çıkarılmıştır.

Yerinde değerlendirme proseslerinin matematik modellemesinde kullanılan önemli eşitliklerden biride gözenekli ortamda akışı ifade eden iki boyutlu kararlı hal akış denklemidir. Yerinde uranyum ekstraksiyonu yöntemiyle ilgili teorik modelleme çalışmasında, bu akış denklemi ve bununla ilgili sınır şartları kapsayan kısmi diferansiyel denklemler için sınır elemanları yöntemi kullanılarak, önce temel bağıntılar türetilmiş, bilgisayar programı geliştirilmiş ve nümerik çözüme ulaşmıştır. Sonuçta, gözenekli ortamın homojen bir yapıya sahip olması durumunda, besleme ve üretim kuyularının tespiti ve bu

kuyular arasında akışkan akımı yollarının modellenmesinde sınır elemanları tekniğinin kullanılabilecek emin ve sağlıklı bir yöntem olduğu anlaşılmıştır. Maden rezervinin bulunduğu bölgenin farklı geçirgenliklere sahip olması, heterojen yapıdaki gözenekli ortam, durumunda aynı nümerik çözüm yönteminin prosesin modellenmesine kısmen cevap vermektedir, özellikle alt bölgelerin birleştiği köşe noktalarında yetersiz kaldığı gözlenmiştir.

S U M M A R Y

The decrease in production and the increase in the price and demand for finite energy resources, such as oil and natural gas, has forced many countries to meet their energy needs by using alternate energy supplies. Thus, the studies on these sources of energy, such as fossil fuel, nuclear, geothermal, solar, wind, hydrogen, and wave energy has initialized.

Since it is known that the finite energy resources, such as oil, coal and natural gas, will be depleted in near future, it is predicted that twenty-five percent of the energy used all over the world will be supplied from nuclear power stations, in 2000's. Uranium ore which forms the source of nuclear energy, is mostly found as low grade reserves (less than 1%) in different regions of the world. In situ extraction of uranium using the "bore hole mining" technique, has proven to be one of the most economical process for recovering this metal, especially from lower grade deposits that cannot be mined and processed by conventional methods. This newly developed technique consists of production wells, injection wells, and monitor wells. A solution of water and selected chemicals (the lixiviant) is pumped into the ore body through the injection wells. This lixiviant flows through the ore, dissolving the uranium mineral, and is recovered at the production wells. It is then pumped to a recovery plant, where the mineral is separated and the lixiviant is recycled to the uranium deposit.

This study mainly consists of two parts, which are experimental and theoretical modeling studies. In the content of the laboratory work the effect of chelates on the extraction rate of uranium and also on the decomposition rate of hydrogen peroxide which is used as an oxidant during the uranium leaching by in situ techniques, were studied. Hydrogen peroxide may be more effective than oxygen for in-situ extraction. However, field operations often encounter difficulties with the decay of hydrogen peroxide in the well bore, causing decreased injectivity

due to gas locking of the well bore vicinity. It is the purpose of these experiments to evaluate various chelating agents for their iron sequestering ability to promote the life of hydrogen peroxide and to investigate the mechanism of uranium solubility under in situ conditions. During the implementation of the theoretical part, work performed on the mathematical modeling of the placing of the injection and production wells, and also determination of the pattern of stream-lines. For this purpose, the applicability of "Boundary Element Methods", which is a new numerical solution technique was investigated.

The uranium ore used for the extraction experiments was obtained from the Pumpkin Buttes area in Powder River Basin of the State of Wyoming. In this area the uranium deposits are in the form of sandstone which is very suitable for in-situ leaching process. Predominant minerals are the uranyl vanadates, yellow-orange carnotite, uraninite and yellow greenish tyuyamunite. Bulk mineralogy are quartz and feldspar with minor amount of dolomite and calcite. The uranium in the composite is 1110 ppm.

During the implementation of the first part of experimental work, leaching experiments were conducted using one liter autoclave made by Autoclave Engineers, Erie under in situ uranium leaching conditions. All autoclave tests were made under 6.8 atm. nitrogen pressure. Cooling coils were inserted in the units. Temperature was maintained at 12-13 degrees centigrade which is appropriate to the in-situ formation water at Collins Draw. This was accomplished by using two fluid streams. One was circulated through a large ice bath and the other through a refrigerator. The two streams with high and low temperatures, were blended with a value to produce the desired temperature in the autoclave. All samples were agitated continuously at 200 rpm except for brief intervals to sample the solution. All tests were run with initial solution to solids in the ratio of 10:1. The experiments were repeated with acid and carbonate systems in order to determine the most suitable lixiviant for this leaching process. Also hydrogen peroxide

was added as an oxidant to the leaching media. The systems used as lixiviant are as follows:

- a. $\text{Na}_2\text{CO}_3/\text{NaHCO}_3-\text{H}_2\text{O}_2$ system
- b. $(\text{NH}_4)_2\text{CO}_3/\text{NH}_4\text{HCO}_3-\text{H}_2\text{O}_2$ system
- c. $\text{H}_2\text{SO}_4-\text{H}_2\text{O}_2$ system
- d. HNO_3 system

The experiments performed showed that the carbonate systems are superior to the acid systems on the basis of recovery and insensitivity to pH changes, and hydrogen peroxide as an oxidant always increases the yield of uranium during leaching operations.

The effectiveness of hydrogen peroxide as an oxidant for the extraction of uranium by in-situ techniques was demonstrated both in the laboratory and this is substantiated in field operations elsewhere. Hydrogen peroxide may be more effective than oxygen. However, during the application of in situ uranium leaching technique, field operations often encounter difficulties with the decay of hydrogen peroxide in the well bore and in deposit. The problems of premature peroxide decay are most pressing when high pH solutions are used because in in-situ leaching high pH conditions tend to accelerate the rate of hydrogen peroxide decay. It has been shown that a large number of heavy and transition elements act as catalysts for hydrogen peroxide decomposition. On the other hand, the presence of iron salts increase the decay rate of H_2O_2 . It is the purpose of second stage of the laboratory work is to investigate the effects of chelating agents for their iron sequestering ability to lengthen the effective life of hydrogen peroxide in carbonate solutions. For this reason, four different test conditions were prepared for evaluating chelating agents. All tests were conducted on Junior Orbital Lab-Line shaker in this part. The chelating agents Hampene OH-3, DEG and EDG of the Hampshire Organic Chemicals Division of the W.R.Grace and Co., and EDTA were all found to decrease the decomposition rate of hydrogen peroxide in high pH carbonate solutions.

at the presence of iron.

Once was possible to promote the effective life of hydrogen peroxide by using various chelating agents, a series of uranium leaching experiments were run in the autoclave using carbonate solutions at two different pH levels. Tests conditions were *in situ* conditions. Extraction period was 48 hours for each leaching. Before starting the leaching, hydrogen peroxide at concentration of 1 gram/liter and various iron chelating agents at different concentrations were added to the system. During leaching, 2 mlsamples were taken from the leaching solutions at different times and U_3O_8 and hydrogen peroxide concentrations were measured. The effects of the solution pH and the presence of the chelating agents on the decomposition of hydrogen peroxide and on the solubility rate of uranium were investigated by these experiments.

The results indicated that the chelating agents Hampene OH-3 and Hampshire DEG lengthen the life of hydrogen peroxide, but hydroxyacetic acid has no positive effect on the decay rate of hydrogen peroxide. Increasing the concentration of the sequestering agent increases the stability of hydrogen peroxide. Consequently, the problem of decomposition of hydrogen peroxide encountered when used as an oxidant during *in situ* recovery of uranium, was eliminated.

Results of the leaching experiments also showed that uranium leaching operation occurs in two distinct regions. The first region is the rapid initial extraction region observed during the period at which the hydrogen peroxide is relatively stable. Obviously in this region, solubility of uranium mechanism occurs at the presence of hydrogen peroxide. The uranium solubility at this region can be expressed by a relationship which depends on the logarithm of time, as follows:

$$\alpha = A + B \ln \theta$$

The second region starts from the point where all of the hydrogen peroxide in the autoclave has been decomposed to

oxygen and water. In this region, the leaching rate is controlled by oxygen rather than hydrogen peroxide and solubility rate is lower than the first region.

One of the most important equation used in mathematical modeling of in situ processes is the two dimensional steady state flow equation which represents the flow in porous media. This partial differential equation and related boundary conditions are:

$$\nabla \cdot \vec{q} = \sum_i Q_i \delta(x_i, y_i) \quad (x, y) \in A$$

$$\vec{q} \cdot \vec{n} = M(x, y) \quad (x, y) \in L$$

$$\vec{q} = K \nabla P$$

$$\int M(x, y) dL = \sum_i Q_i$$

where A is closed and connected region, L is the boundary of A, q is flow vector equal to reservoir thickness times Darcy velocity, Q_i is injection or production rate, δ is Dirac Delta function, n is outer unit normal to a boundary, K is hydraulic conductivity, P is pressure and M(x,y) is normal component of flow on the reservoir boundary.

In the content of theoretical modeling study, the fundamental relationships for the abovementioned flow equation and its boundary conditions were derived using "Boundary Element Methods". Then, a computer program solving this systems of equations is developed, and finally a numerical solution was reached. It was concluded that, if the porous media is homogeneous, then location of injection and production wells, and also the modelling of flow pattern between these wells can be accomplished successfully by using Boundary Element Methods. In the case of having a region with different subregions (heterogeneous media), the same numerical solution technique may be partially applied to the modelling of the process. It was observed that the method was unsatisfactory especially at the corners between subregions.

S E M B O L L E R

- A : Gözenekli ortamı gösteren bölge
- D : Dispersiyon katsayısı ($\text{cm}^2/\text{san.}$)
- c : Konsantrasyon (g/l)
- h : Maden yatağının yüksekliği (m)
- k : Permeabilite(geçirgenlik) (m^2 veya mili Darcy)
- K : Hidrolik iletkenlik ($1/\text{gün m}^2$)
- L : A bölgesinin sınırı
- m : ağırlık miktarı (g)
- n : birim vektör
- N : Normalite
- P : Basınç (atm)
- q : akım vektörü
- Q_i : Besleme veya üretim debisi ($1/\text{gün}$)
- R : Reaksiyon hızı ($\text{g/cm}^3 \text{ san.}$)
- t : Zaman (saat)
- u : Hız (cm/san.)
- V : Çözelti hacmi (1 veya mikrolitre)
- α : Ekstrakte olmuş uranyum fraksiyonu (boyutsuz)
- μ : Viskozite (g/cm san.)
- δ : Dirac Delta fonksiyonu
- ω : Ağırlık fonksiyonu
- ξ : Boyutsuz koordinat
- ϕ : Potansiyel (atm)

B Ö L Ü M 1

GİRİŞ VE AMAÇ

1.1. YERİNDE DEĞERLENDİRME YÖNTEMLERİ^x VE GEREKLİLİĞİ

1.1.1. Tanımı ve Tarihsel Gelişimi

"In Situ Recovery Methods", ifadesi "Yerinde Değerlendirme Yöntemleri" olarak türkçeye tercüme edilebilir. "In Situ Processes", "In Situ Leaching", "Solution Mining", "In Situ Mining" terimleride bu prosesleri ifade etmek için kullanılan eş anlamlı sözcüklerdir. Yerinde değerlendirme yöntemleri, düşük tenörlü veya bulundukları yer dolayısıyla ulaşlamayan ve bu nedenlerle de klasik madencilik yöntemlerinin (açık ve galeri madenciliği) uygulanamadığı madenlerin değerlendirilmesinde kullanılması ekonomik ve çevresel açıdan cazip olan prosesler olarak tanımlanır.

Yerinde değerlendirme yöntemlerinin kömürde uygulaması olan yeraltında kömür gazlaştırılması üzerine ilk çalışmalar yüzünün başında İngiltere ve Sovyetler Birliği'nde başlatılmış ve bu prosesin ilk ticari uygulaması 1950 yılında Sovyetler Birliği'nde gerçekleştirilerek şehir elektriği üretilmiştir (1,2,3). Kömür yataklarının yeraltında gazlaştırılmasından sonra, yerinde değerlendirme yöntemleri 1940'lı yıllarda itibaren kalın ve akıcı olmayan petrol rezervlerinin geri kazanmasında, ikincil ve üçüncü petrol üretim yöntemleri altında uygulanmaya başlanmıştır (4).

Özellikle petrol şirketlerinin 1953 yılından günümüze kadar devam eden araştırmaları sonucu, bitümlü sistlerden yerinde retortlama yöntemi ile petrol üretilmesi gerçekleştirilmiştir (5,6,7). Henüz ticari şekle dönüşmeyen yerinde bitümlü sist değerlendirme yöntemleri üzerine en yoğun çalışmalar A.B.D'de yapılmış, pilot tesisler kurularak olumlu sonuçlar alınmıştır.

1965 Yılından itibaren yerinde uranyum ekstraksiyonu üzerine çalışmalar başlamış, 1973 de düşük tenörlü kumtaşı yapısındaki uranyum madenleri bu yöntemle değerlendirilerek, ilk defa ticari olarak A.B.D. Texas Eyaletinde işletilmeye başlamıştır. Daha sonraki yıllarda Wyoming ve New Mexico eyaletle-

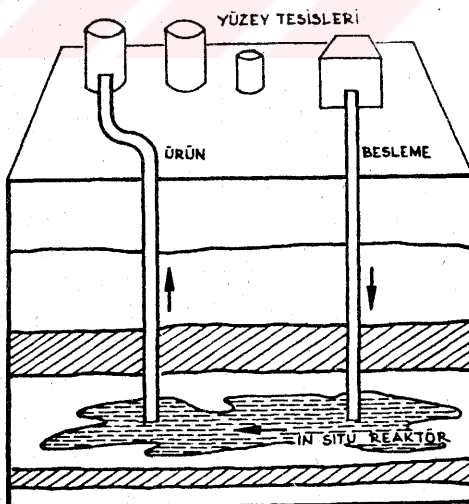
^xIn Situ Recovery Methods

rinde, Kanada ve Avustralya'da uygulamalara başlanmıştır(8,9,10). Uranyum madenlerinden yerinde uranyum kazanılması üzerine çalışmaların başladığı yıllarda, benzer bir yöntemle bakır madenlerinden bakır ekstraksiyonu çalışmalarında başarıyla gerçekleştirilmiştir(11,12).

Yerinde değerlendirme yöntemlerinin uygulanmasıyla ilgili son çalışmalar, 1981 yılından beri A.B.D'de trona yataklarından soda üretilmesi üzerinedir, pilot tesislerde yürütülen araştırmalar devam etmektedir(13,14,15).

1.1.2. Prosesin Yürüyüşü

Proses, yeraltında ve yerüstünde olmak üzere iki ayrı bölgede gerçekleşmektedir. Şekil 1.1'den görüldüğü gibi maden yatağının kendisi reaktör görevi görmektedir. Değerlendirilecek maden rezervinin bulunduğu yerde uygun şekilde, en az iki tane olmak üzere, yüzeyden yatağa kuyular açılır. Bu kuyuların biri besleme diğeri üretim kuyusudur. Hangi maden değerlendirilecek ise ona bağlı olarak seçilen uygun çözücü(lixiviant) besleme kuyusundan maden yatağına beslenir. Çözücü yatak içinde besleme kuyusundan üretim kuyusuna doğru hareket eder, bu esnada kazanılması istenen madde çözücüde çözünür.



Şekil 1.1 Yerinde Değerlendirme Yönteminin
Şematik Gösterilişi (16)

Çözelti üretim kuyusundan yeryüzü tesislerine pompalanır ve bu tesislerde arıtma ve rafine işlemlerine tabi tutulur.

Prosesin başarıyla uygulanabilmesi için gerekli jeoloji, hidroloji, mineraloji testlerinin dikkatli ve doğru bir şekilde yapılarak, maden yatağının durumu iyi öğrenilmelidir. Yöntemin uygulanabilmesi şartlarının en başında maden yatağıının yeterli geçirgenliğe (permeabilite) sahip olması gelir. Besleme ve üretim kuyularının yerleşimi ve en uygun çözümün seçiminde başlıca faktörlerdir.

Yerinde değerlendirme yöntemleri, madenin jeolojik yapısı ve geçirgenliği esas alınarak üç ayrı şekilde uygulanabilir(16).

a. Geçirgen olan yataklara uygulama:Permeabilitesi 100 mD büyük olan maden yatakları için olan uygulamadır.

b. Yarı geçirgen yataklara uygulama:Permeabilitesi 10 mD ile 100 mD arasında olan maden yataklarına uygulanır. Bu tür uygulamada yatağın permeabilitesini artırmak için dışardan bir tahrik gerekmektedir. Tahrik, patlayıcılar kullanarak yapılabilir(17,18).

c. Geçirgenliği olmayan yataklara uygulama:Permeabilitesi 10 mD den küçük olan yataklara yapılan uygulamadır. Klasik madencilik yöntemleri, yerinde değerlendirme yöntemle-riyle birlikte kullanılır.

1.1.3. Yerinde Değerlendirme Yöntemlerinin Gerekliliği,Üstün- lükleri ve Sakıncaları

Madenlerin çıkarılmasında uygulanan klasik madencilik yöntemleri, açık işletmecilik ve galeri işletmeciliği olmak üzere iki grupta toplanır. Klasik madencilik yöntemleri her türlü madene uygulanamamaktadır. Bazı durumlarda maden yatağının özellikleri ekonomik ve teknik açıdan işletme şartlarına uygun olmayıabilir. Şöyledi (16).

1. Cevher düşük tenörlü olabilir.

2. Maden yatağı, yeryüzünden çok derinde olabilir,kla-
sik yöntemlerle bu yataklara erişilmesi güçtür.

3. İnce damarlara sahip madenleri klasik madencilikle işletmek ekonomik olmadığından, bu tür madenler değerlendirilemez.

4. Rezerv, ince veya kalın birden fazla bantlar halinde olabilir. Bu bantların arasında genellikle kıl ve şist gibi geçirgen olmayan tabakalar bulunur.

5. Yeryüzü ile maden yatağı arasında bir su tabakası bulunabilir. Açık işletmecilikte bu su tabakasını ortadan kaldırmak oldukça masraflıdır. Galeri işletmeciliğinde ise su tabakasından galeriye sızıntıların önlenmesi şarttır, aksi halde büyük tehlikelere neden olabilir.

6. Bazi maden yataklarının konumu dikey veya belli bir açıda olabilir.

Yukarıda özetlenen nedenlerden dolayı konvensiyel yöntemlerle değerlendirilemiyen madenler için yerinde değerlendirme yöntemlerine gereksinim vardır.

Üstünlükleri: Yerinde değerlendirme yöntemlerinin, teknik ve ekonomik açıdan, klasik madencilik yöntemlerinin uygulanamadığı maden rezervlerine uygulanabilmesi en büyük üstünlüklerinden biridir. Özellikle emniyet ve sağlık açısından konvensiyonel madencilikten daha avantajlıdır. Yöntem gereği, maden yatağı bulunduğu yerde reaktör görevi gördüğünden herhangibir artık madde ve kül problemi yoktur. Dolayısıyla çevre kirliliği söz konusu olmamaktadır. Düşük sermaye yatırımı ve ayrıca işletmenin daha kısa sürede kendini amorti etmesi nedenlerinden dolayı daha ekonomik prosesler olarak ispatlanmıştır(12, 19).

Sakıncaları: Maden yatağının kendisi prosesin yürütüsü esnasında bir reaktör vazifesi gördüğünden, basınç, sıcaklık gibi çeşitli ölçümelerin yapılması olanaksız olup, prosesin gözlenmesi zordur. Bu sebeple besleme ve üretim kuyularının haricinde monitor kuyulara gereksinim duyulur. Proses sonunda, yeraltı suyunun kirlenmesi problemi ortaya çıkabilir, buda restorasyon işlemini gerektirir(20). Yöntem fiziksel ve kimyasal faktörler açısından her mineral türüne uygulanamaz. Proses gereğince besleme kuyusundan üretim kuyusuna doğru bir çözelti akımının sağlanabilmesi için maden yatağının yeterli permeabiliteye sahip olması gerekir. Şayet maden sert kaya tipinde veya düşük permeabiliteye sahip ise permeabiliyetesini artırmak üzere ilave işlemelere gereksinim duyulur(12).

1.1.4. Kuyuların Yerleşim Şekilleri

Bölüm 1.1.2 de yöntemin uygulanmasında en az iki kuya gereksinim olduğu belirtilmiştir. Bu kuyulardan birisi mutlaka besleme diğeride üretim kuyusu olmalıdır. 2-spot modeli olarak isimlendirilen iki kuyulu sistem, yöntemin uyu-

lanması esnasında yeterli olmamakta, süpürme etkinliği(sweep efficiency) oldukça düşük kalmaktadır. Bu sebeple, süpürme etkinliğini artıracak şekilde ikiden fazla kuyuya sahip ve işletilecek bölgenin boyutlarına göre bu kuyuların kümeler halinde birbirine bağlandığı modeller geliştirilmiştir(4). Uygulanan kuyu modelleri 3-spot, 4-spot, 5-spot, 7-spot ve 9-spot şeklindedir. Şekil 1.2 bu modellerin yerlesim şékille-rini göstermektedir.

1.2. YERİNDE URANYUM EKSTRAKSİYONU YÖNTEMİ

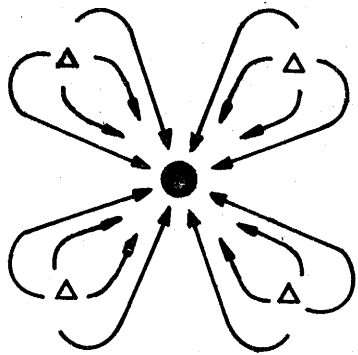
1.2.1. Uranium Cevherinden Uranium Ekstraksiyonu

Araştırmacılar yaklaşık 20 uranyum mineralini tabii bileşik halinde tespit etmişlerdir. Bunlar oksitleri, silikatları, karbonatları, hidroksidleri, vanadatları ve fosfatları şeklinde bulunmaktadır. Ayrıca 170 tane kompleks yapıya sahip uranyum minerali bulunmaktadır(10,11). Bilinen uranyum minerallerinin bir kısmı Tablo 1.1 de verilmiştir.

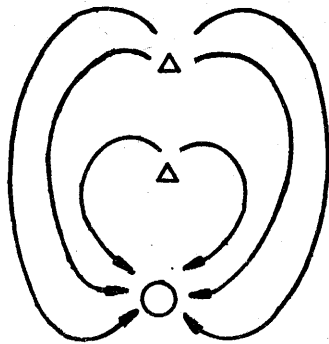
Tablo 1.1. Bilinen Uranyum Minerallerinin Bir Kısı (10).

T i p	İ s i m
Oksitler	Uraninit
	Pitchblende
Silikatlar	Kofinit
	Uranofan
Fosfatlar	Otunit
	Torbernit
Vanadatlar	Karnotit
	Tyuyamunit

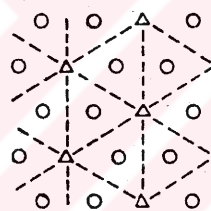
Önceki paragrafta belirtilen uranyum mineralleri dün-yanın çeşitli bölgelerinde genellikle düşük tenörlü rezervler (%1 den az U_3O_8) şeklinde bulunmaktadır(8). Düşük tenörlü cevherlerden uranyum elde etmek için cevherdeki gang maddesinin uzaklaştırılması ve cevher tenörünün yükseltilmesi gerekmektedir. Konsantrasyonlu uranyum cevheri eldesi için kullanılan fiziksel yöntemler uyalama, gravite, elektrostatik, flotasyon ve magnetik ayırmaya işlemeleridir. Ancak yeryüzündeki mevcut uranyum madenlerinin çok az kısmı bu işlemler için uygundur. Dolayısıyla düşük konsantrasyonlu madenleri değerlendirmek



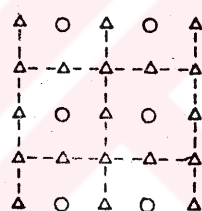
5 - SPOT



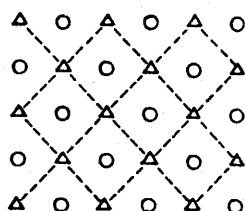
3 - SPOT



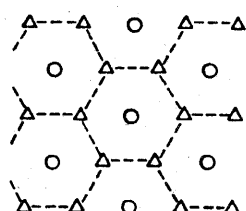
DÜZGÜN 4 - SPOT



NORMAL 9 - SPOT



5 - SPOT

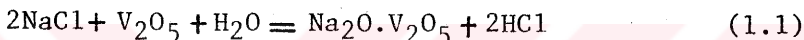


7 - SPOT

Sekil 1.2 Kuyuların Yerleşimi ve Akım Modelleri (4,16).
(Δ - Besleme kuyusu, \circ - Üretim kuyusu)

uranyum elde etmek için hidrometalurjik proseslere gereksinim vardır. Kullanılan teknik, büyük çapta, mevcut uranyum mineralinin fiziksel ve kimyasal yapısına, gang maddesinin mineralojisine, cevherin tür ve boyutlarına bağlıdır. Hidrometalurjik prosesler aşağıdaki gibi sınıflanabilir.

1. Ekstraksiyon öncesi NaCl ile Pişirme: Pişirme yöntemi genellikle, cevher içinde vanadyum mevcut olduğunda veya uranyum mineralleri az çözünür şekilde olduğu zaman kullanılır. NaCl ile pişirme işleminde, -10 mesh de öğütülmüş cevher %6-10 NaCl ile karıştırılır daha sonra çok ıstıtmalı kurma fırını ismi verilen fırılarda 825-850°C de 1-2 saat pişirilir(10,21). Pişirme işlemindeki oksidasyon şartları uranyum ve vanadyumun okside olmasını sağlar. Pişirmede meydana gelen reaksiyonlar şöyle özetlenebilir:



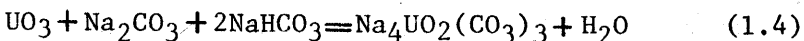
Meydana gelen sodyum vanadat suda iyi bir çözünürlüğe sahiptir ve sodyum uranil vanadatları oluşturmak üzere uranyum ile reaksiyona girer. Çözünmeyen uranyum komplekslerinin oluşumunu önlemek amacıyla kalsine olmuş madde süratle soğutulur. Vanadyum su ile ekstrakte edilir ve artık ayrılarak, uranyumu kazanmak üzere seyreltik asit ile ekstraksiyona tabi tutulur. Alternatif bir yolda karbonat bikarbo nat çözeltisiyle ekstraksiyondur.

2. Karbonatla Ekstraksiyon(10,22,23): Karbonat çözeltisiyle ekstraksiyon, cevher içinde büyük miktarlarda asit tüketen gang maddeleri bulunduğuanda kullanılır. Okside olmuş uranyum mineralleri karbonat çözeltisinde çözünürler. Bu sebeple +4 değerlikli uranyumu +6 değerlikli uranyuma yükseltmek için ortama oksitleyici ilavesi gereklidir. Genellikle, sodyum ve amonyum karbonat çözeltileri kullanılır. Demir, alüminyum, vanadyum ve titanyum bileşikleri karbonat çözeltisinde çözünmezler. Karbonat ekstraksiyonun diğer üstünlikleri arasında elde edilen çözeltinin saflığı, doğrudan çöktürmenin kolaylığı ve ekstraksiyon için kullanılan çözeltinin korozif olmayan özelliği sayılabilir. Karbonat ekstraksiyonun kullanımı sırasında, çözelti geri döndürülerek tekrar kullanılır, böylece kapalı bir devre içinde çalışılmış olur. Karbonat çözeltileriyle ekstraksiyon işleminde oluşan temel reaksiyonlar, aşağıda verildiği gibi 2 kademe ile meydana gelir:

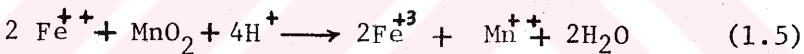
Oksidasyon :



Kompleks Teşekkülü :

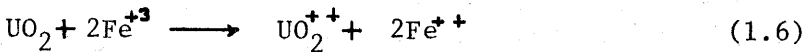


3. Asitle Ekstraksiyon(10,23,24): Uranyumun kazanılması için en çok kullanılan proses seyreltik sülfürik asitle ve gerekirse bir oksitleyici kullanmak üzere yapılan ekstraksiyondur. Uranyum mineralerinin bir kısmı alkali çözeltilerde çözünürlüğü az olan uranyum içermektedir, bu durumda asit ile ekstraksiyon önem kazanmaktadır. Pek çok hallerde, asitle ekstraksiyon, alkali ile ekstraksiyondan daha yüksek bir verime sahiptir. Karbonatla ekstraksiyon işleminde olduğu gibi ekstraksiyon kademesine gerekirse oksitleyici ilavesi yapılır. Sülfürik asitle ekstraksiyonda en etkili oksitleyicilerden biri Fe^{+3} değerlikli demir iyonudur. Çözelti içindeki demir çoğulukla Fe^{+2} değerlikli iyon şeklindedir, böylece mangan dioksit veya sodyum klorat gibi oksitleyicilerle Fe^{+2} aşağıdaki reaksiyonlar gereğince oksitlenir:

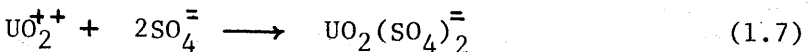


Asitle ekstraksiyon işleminde oluşan kimyasal reaksiyonlar şöyledir:

Oksidasyon :



Kompleks Teşekkülü :



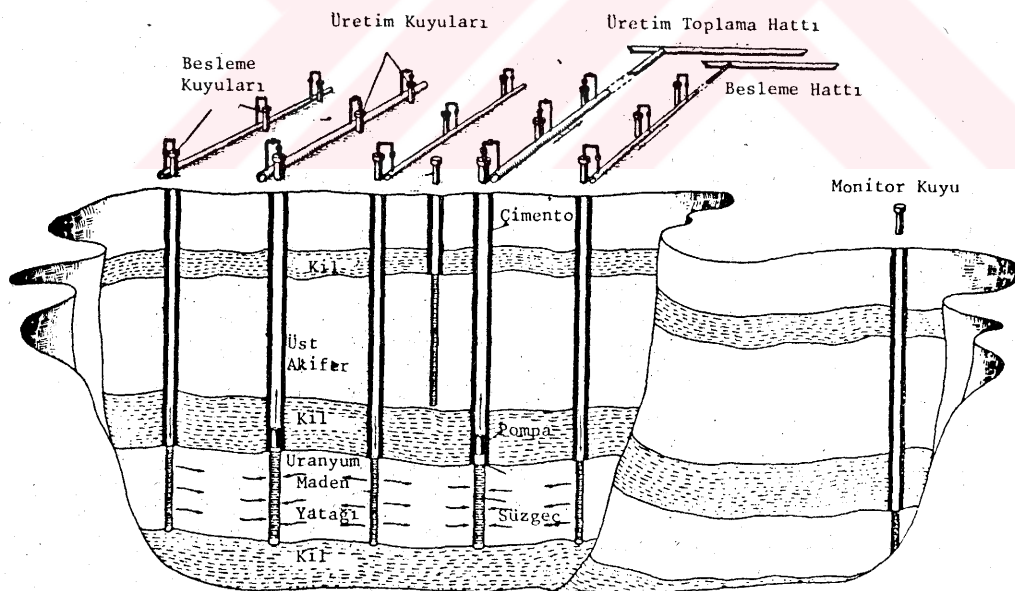
1.2.2. Yerinde Uranyum Ekstraksiyonu

Düşük tenörlü uranyum madenlerinden uranyum ekstraksiyonu amacıyla kullanılan yerinde uranyum ekstraksiyonu yöntemine ait bilgiler ve bu yöntemin uygulaması 11,25,26, 27,28,29,30 numaralı referanslarda geniş olarak verilmiştir. Ayrıca Phillips (31), Toth (19), Chase ve arkadaşları(32) çalışmalarıyla, yerinde uranyum ekstraksiyonu ve klasik ma-

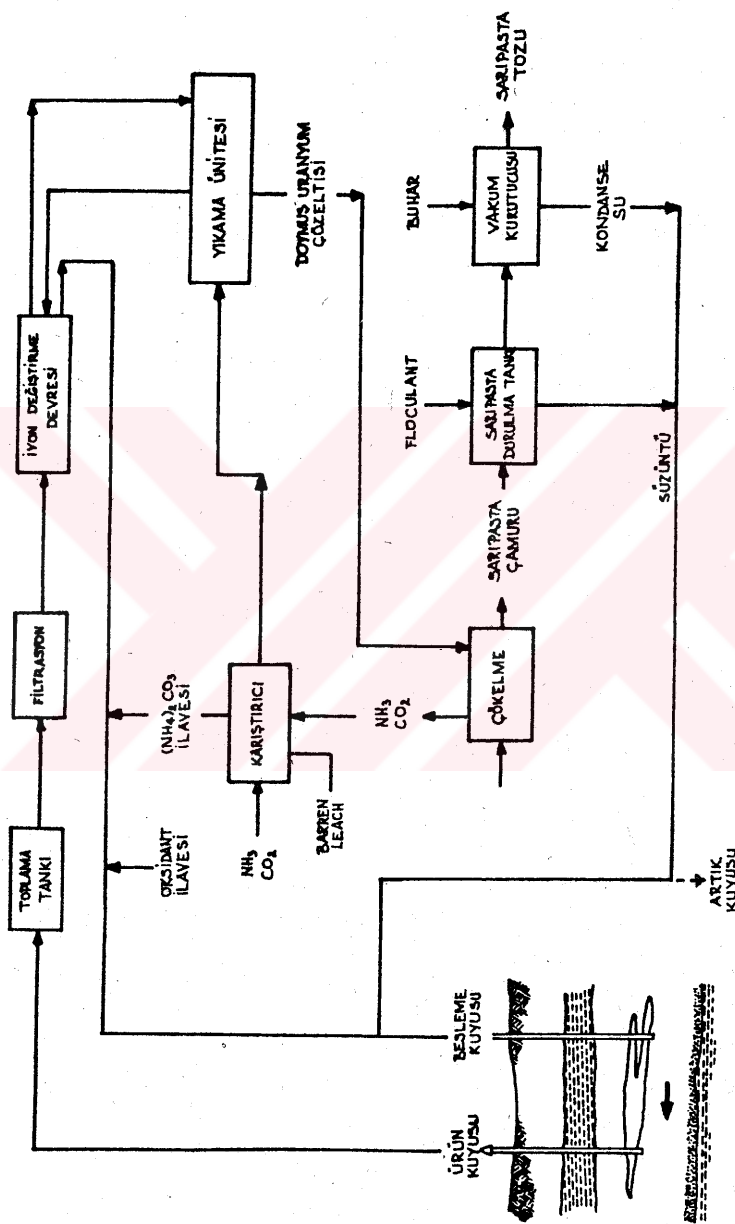
dencilik yöntemleriyle uranyum eldesinin ekonomik karşılaşmasını yapmışlar, yerinde uranyum ekstraksiyonu yönteminin üstünlüklerini göstermişlerdir.

Yerinde uranyum ekstraksiyonu yöntemiyle uranyum üretilen maden sahasının şekli, Şekil 1.3 de, bu yöntemle, alkali çözeltisi kullanarak sarı pasta üretimine kadar olan prosesin akım şeması ise Şekil 1.4 de gösterilmiştir.

Önceki bölümde anlatıldığı gibi yerinde ekstraksiyon işlemi asidik veya alkali çözücüler kullanarak gerçekleştirilebilir. Asidik çözücüler daha yüksek verime sahip olmasına karşın, yerinde değerlendirme yöntemi için bir seri olumsuz etkilere sahiptir. Mineralin yapısında yüksek oranda kalsiyum karbonat oluşu, sülfürik asit tüketimini artırır. Ayrıca ortamındaki Ca^{++} , CaSO_4 şeklinde çökeceğinden yatak formasyonunda tıkanmalara sebep olur. Diğer bir olumsuz etkide, killerde ileri gelmektedir, bunlarda tıkama problemi



Şekil 1.3. Yerinde Uranyum Ekstraksiyonu Yöntemiyle Üretim Yapan Sahanın Şematik Gösterilişi(28).



Sekil 1.4. Yerinde Uranyum Ekstraksiyonu Yöntemine Ait Akım Şeması (26).

yaratarak yatağın permeabilitesini düşürür. Bu sebeplerden dolayı çok zorunlu olmadıkça sülfürik asitle ekstraksiyondan vazgeçilir ve karbonat çözeltileriyle ekstraksiyon işlemi tercih edilir.

Proseste oksitleyici olarak hidrojen peroksit kullandı, hidrojen peroksitin diğer oksitleyicilerden daha iyi özelliliklere sahip olmasından dolayı tercih nedenidir. Ancak hidrojen peroksitin kısa zamanda bozunarak su ve oksijene parçalanması, yerinde değerlendirme prosesi için bir sakınca teşkil etmektedir(10).

1.3. ÇALIŞMANIN AMACI

Sonlu enerji kaynakları olarak sınıflandırılan petrol ve doğal gaz fiatlارının tüm dünyada yükselmesi ve buna karşılık üretim miktarlarının azalması pek çok ülkeyi enerji gereksinimlerini başka kaynaklardan karşılamaya zorlamış ve böylelikle fosil yakıt, nükleer, jeotermal, güneş, rüzgar, gel-git, hidrojen, dalgı gibi değişik enerji kaynakları üzerinde çalışmaları başlamıştır.

Gelişmekte olan ülkemizde ise enerji sorununun büyülüyü ve bu konudaki dışa bağımlılığımızın yarattığı problemlerle ekonomimizi olumsuz yönde nedenli etkilediği bilinmektedir. Bu sebeple alternatif enerji kaynaklarına yönelik ve ülkemizdeki maden potansiyelinden en yüksek oranda yararlanabilme olanakları araştırılmalıdır.

Petrol, kömür ve tabii gaz gibi enerji kaynaklarının yakın bir gelecekte tükeneceği bilindiğinden 2000 yıllarında dünya enerji üretiminin %25'nin nükleer santrallerden sağlanacağı tahmin edilmektedir. Nükleer enerji kaynağını teşkil eden uranyum madeni dünyanın çeşitli bölgelerinde genellikle düşük tenörlü rezervler şeklinde bulunmaktadır. Özellikle konvensiyonel madencilik yöntemleriyle ekonomik olarak değerlendirilemiyen bu tür rezervler için yerinde değerlendirme yöntemi (In Situ Uranium Leaching) yeni bir çözüm olarak alternatif teşkil etmektedir.

Bu çalışma iki amaca yönelik olarak gerçekleştirilmişdir. Deneysel olarak yürütülen birinci amaçla, uranyum madeninden uranyum ekstraksiyonu işleminde ortama oksitleyici olarak ilave edilen hidrojen peroksitin bozunma hızına ve

uranyum çözünürlüğe pH ve kelat etkileri araştırılarak, hidrojen peroksitin karbonat çözeltisinde stabilitesi artırılmaya ve uranyum çözünürlüğü mekanizması aydınlatılmaya çalışılmıştır.

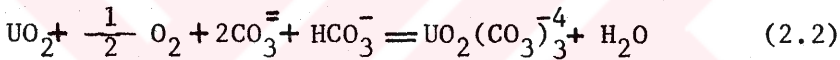
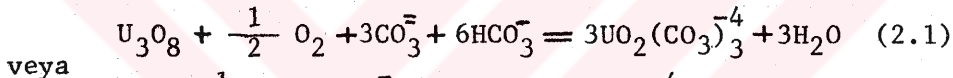
İkinci amaç ile, yerinde değerlendirme yönteminin başarıyla uygulanabilmesinde önemli bir yer tutan kuyuların yerleşimi ve kuyular arasındaki bölgede çözeltinin akış yolunun tespitiin matematik modellenmesi hedef tutulmuş ve bu konu ile ilgili teorik çalışma yapılmıştır.

BÖLÜM 2

KARBONAT ÇÖZELTİSİYLE URANYUM EKSTRAKSİYONU VE KİMYASI

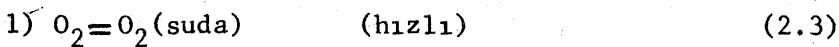
2.1. ÇÖZÜNÜRLÜK MEKANİZMASI

Uranyum minerali karbonat-bikarbonat çözeltisiyle muamele edildiğinde tetravalent yapıdaki uranyum, karbonat ile kompleks meydana getirmez, ancak hekzavalent uranyum, uranil trikarbonat kompleksi oluşturur. Bölüm 1.2.2 de kısaca verildiği gibi tetravalent uranyumun çözünürlüğüne ait hız ifadesi, oksidasyon ve kompleks teşekkülü kademelerinden oluşur. Meydana gelen reaksiyonların tamamı aşağıdaki sekillerde yazılabilir:

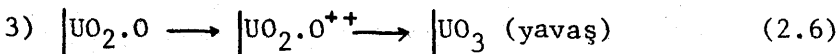
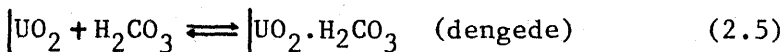
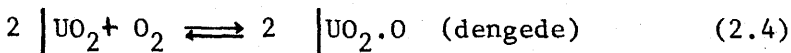


Pek çok araştırmacı bu çözünürlük mekanizmasını incelemişler ve farklı kinetik modeller ortaya çıkarmışlardır (33, 34, 35, 36, 37, 38).

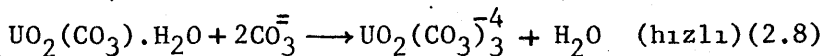
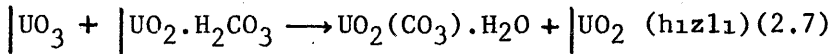
Pearson ve Wadsworth(35) sinterlenmiş UO_2 'nin karbonat çözeltileri içindeki çözünmesini araştırmışlar ve ekstraksiyon mekanizmasının, oksijen ve dissosiyeli olmamış H_2CO_3 arasında yarışmalı(competitive) adsorpsiyon şeklinde olduğunu açıklamışlar ve reaksiyonların aşağıdaki sıradır olduğunu göstermişlerdir.



2) Yüzeyde yarışmalı adsorpsiyon



- 4) Oksitlenmiş uranyumun, uranil trikarbonat oluşturmak üzere kompleks teşekkülü



Aktivasyon ısısı, mol başına 6.7 kalori olarak bulunmaktadır. H_2CO_3 'ün yüksek konsantrasyonlarının çözünme hızını düşürdüğü kaydedilmiştir.

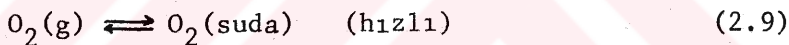
UO_2 'nin karbonat çözeltisinde çözünürlüğü üzerine çalışan Schörtmann ve Desesa (34), aşağıdaki mekanizmayı teklif etmişlerdir.

- 1) U(IV)'un U(VI)'a oksidasyonu

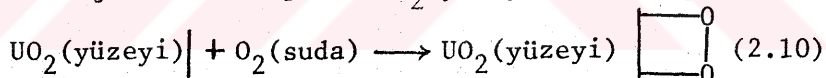
- 2) Çözünen uranil karbonat kompleksinin teşekkülü

Bu iki kademeden meydana gelen çözünürlük mekanizmasına ait reaksiyonları şöyle sıralamışlardır:

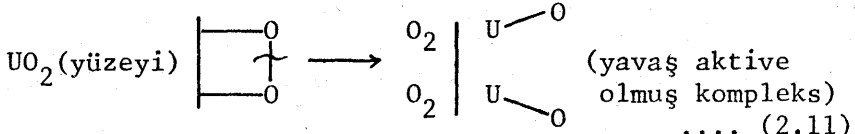
- a) Karbonat çözeltisinde gaz oksijenin çözünmesi



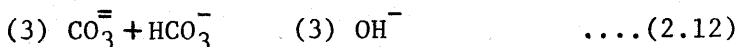
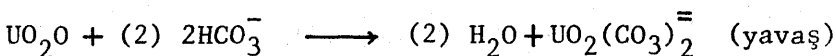
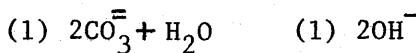
- b) Suda çözünen oksijenin UO_2 yüzeyinde adsorpsiyonu



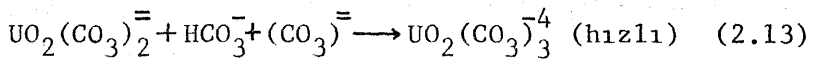
c) Adsorbe olmuş oksijenin yüzeyde, adsorbe olduğu bölgeden, reaksiyon bölge sine doğru, UO_2 'nin UO_3 'e oksidasyonla hareket ederek, atomlar halinde dissosiasiyonu.



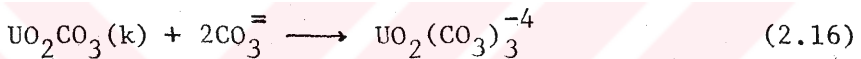
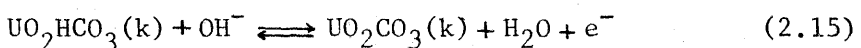
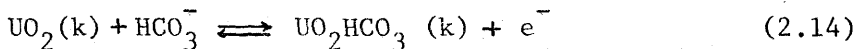
d) UO_2O 'nun uranil dikarbonat oluşturmak üzere karbonat ile reaksiyona girmesi.



e) Uranil dikarbonatın uranil trikarbonata dönüşmesi



Uranyum dioksitin ekstraksiyonu için bir elektrokimyasal model, Nicol ve arkadaşları(36) tarafından sunulmuştur. Araştırmacılar, uranyum dioksitin, oksitleyici içeren karbonat çözeltisindeki ekstraksiyonunun, uranyum dioksitin anodik oksidasyonu ile uranyum yüzeyinde oksijenin katodik indirgenmesini ihtiva ettiğini açıklamışlardır. Reaksiyon mekanizması aşağıdaki gibi sunulur:



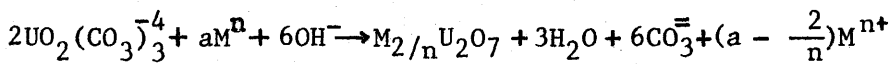
Nicol ve arkadaşlarının çalışmalarına benzer bir çalışmada Hiskey(11,38) tarafından yapılmıştır. Hiskey çalışmalarında UO_2 'nin karbonat çözeltisinde kimyasal çözünürlüğünün elektrokimyasal yüzey-reaksiyon modeline uyum sağladığını, yük transferi ve kimyasal reaksiyonu birlikte içeren kademelerden meydana geldiğini bulmuştur.

2.2. ÇÖZÜNÜRLÜK HİZINA ETKEN DEĞİŞKENLER

Araştırmacılar, karbonat çözeltisinde uranyum çözünürlüğüne; çözelti pH'sının, oksitleyici türü ve konsantrasyonunun, sıcaklığın, oksijen basıncının, karbonat ve bikarbonat konsantrasyonlarının önemli etkenler olduğunu göstermişlerdir (10,33,38). Uranyum çözünürlüğüne etkiyen bu değişkenler aşağıda açıklanmıştır.

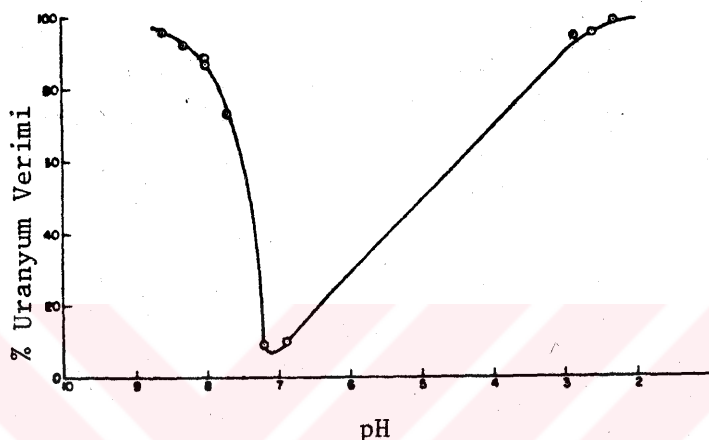
2.2.1. pH Etkisi

Uranyum çözünürlüğüne etken olan değişkenlerin en önemlisi pH'dır. Şekil 2.1 pH'ın uranyum verimine etkisini, Şekil 2.2 ise karbonat çözeltisinde uranyum çözünürlük hızına pH etkisini iki farklı sıcaklık için göstermektedir. Karbonat çözeltilerinin mevcudiyetinde pH'ın artışı çözünürlüğü artırmaktadır. Sayet pH 12'den yukarıya çıkarsa uranil trikarbonat aşağıda verilen reaksiyon gereğince dekompoze olmaktadır(38),

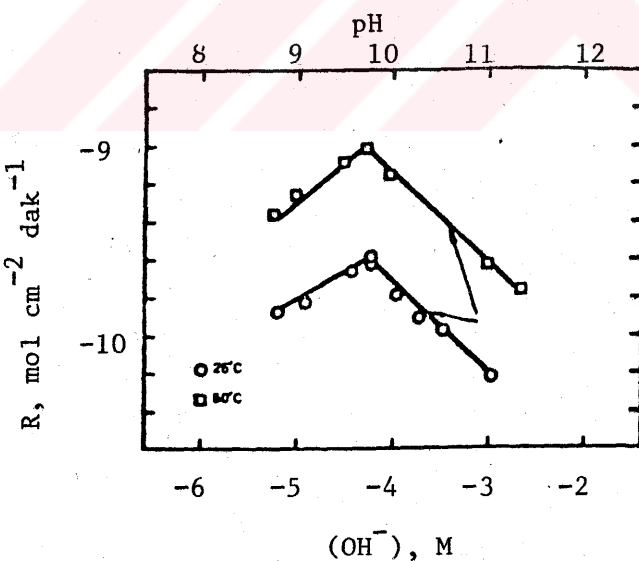


....(2.17)

burada M^{n+} bir alkali veya toprak alkali metal iyonudur.



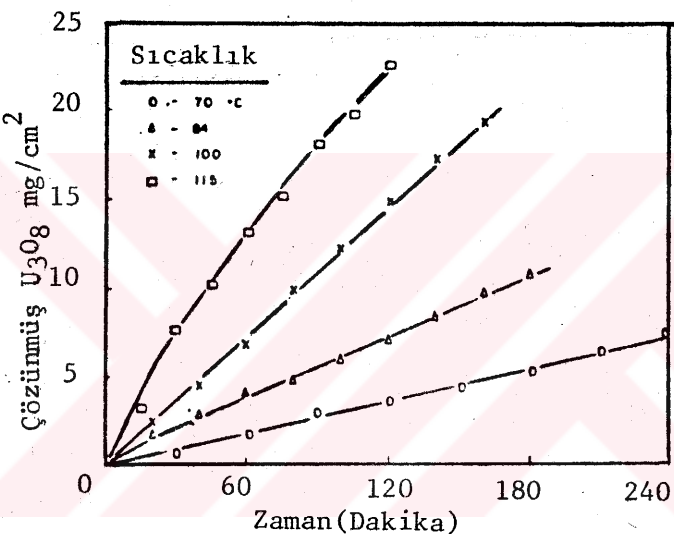
Şekil 2.1 Uranyum Verimine pH Etkisi(27).



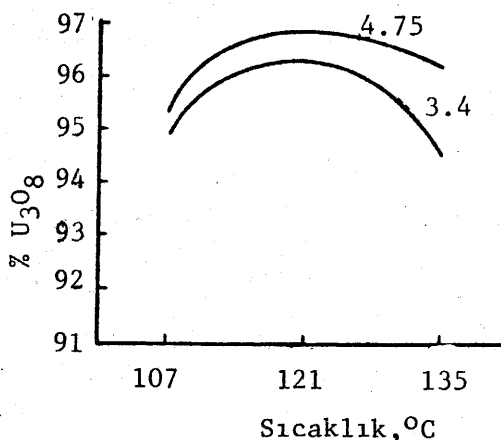
Şekil 2.2 İki Farklı Sıcaklık İçin Uranyum Çözünürlük Kinetigine pH Etkisi(38).

2.2.2. Sıcaklığın Etkisi

Şekil 2.3 ve Şekil 2.4 uranyum çözünürlüğünne sıcaklığın etkisini göstermektedir. Ekstraksiyon için en uygun sıcaklık 80 ile 115°C arasındaki sıcaklıktır. 80°C'nin altında çözünürlük düşmekte, 115°C'nin üstünde ise silikatlarında çözünürlüğü olasılığı ortaya çıkmaktadır. Araştıracılar, çalışmalarında çeşitli sıcaklık aralıkları için aktivasyon enerjisini hesaplayarak Arhenius egrilerini elde etmişler ve 1 atm ile 10 atm. arasındaki oksijen basınçlarında aktivasyon enerjisinin sabit kaldığını gözlemişlerdir(33,34,38).



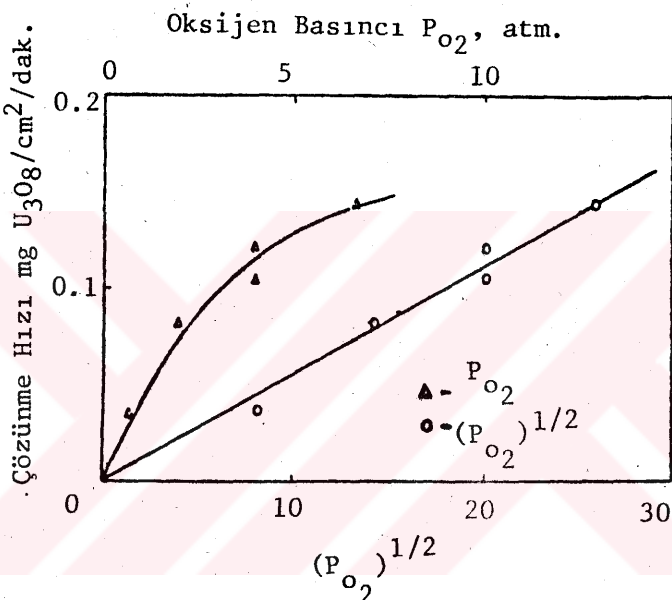
Şekil 2.3. Çeşitli Sıcaklıklarda U_3O_8 Çözünürlük Hızları(33).



Şekil 2.4. Uranyum Ekstraksiyonuna Sıcaklığın Etkisi(22).

2.2.3. Oksijen Basıncının Etkisi

Forward ve arkadaşları(33) ilk defa uranyum çözünürlük hızının oksijenin kısmi basıncının kareköküyle doğru orantılı olduğunu göstermişlerdir(Şekil 2.5). Daha sonraki yapılan araştırmalarda da bunun doğruluğu ispatlanmış, ayrıca yüksek oksijen basınçlarında çözünürlüğün oksijen basıncından bağımsız hale geldiği gösterilmiştir(35,38).



Şekil 2.5. U_3O_8 Çözünürlük Hızına O_2 Basıncının Etkisi(33).

2.2.4. Oksitleyici Türünün ve Konsantrasyonunun Etkisi

Tablo 2.1 de çeşitli oksitleyicilerin uranyum çözünürlük hızına etkileri verilmiştir. Oksitleyici olarak hidrojen peroksitin kullanılması gerek pilot gerekse ticari, özellikle yerinde uranyum ekstraksiyonu yöntemi uygulanan işletmelerde son senelerde artmıştır(27,39,40,41). Hidrojen peroksitin tercih nedeni özelliklerinin ideal bir oksitleyiciye uymasındandır. Tablo 2.2 de ideal bir oksitleyiciden beklenen özelliklerle, hidrojen peroksitin sahip olduğu özellikleri göstermektedir.

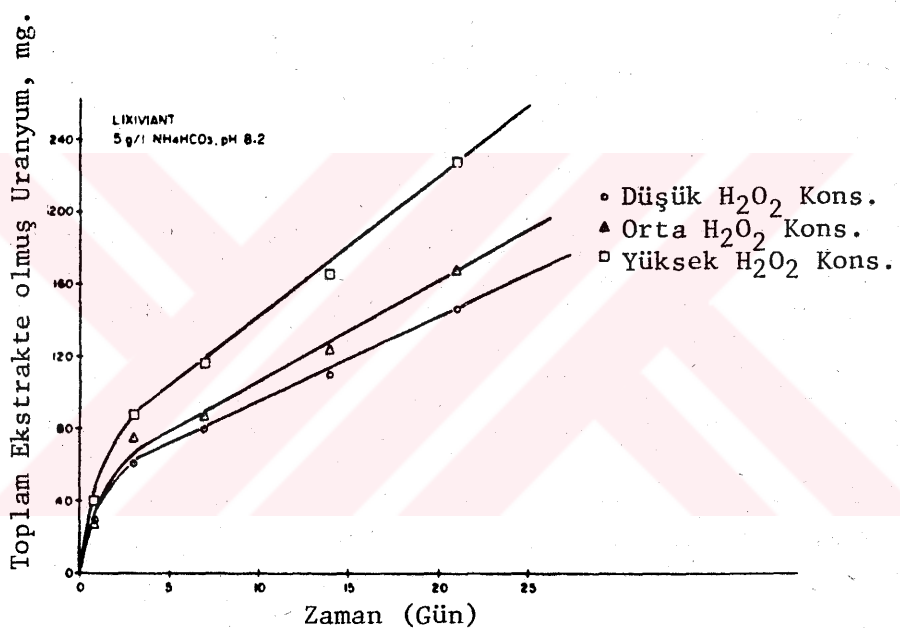
Şekil 2.6'dan görüldüğü gibi hidrojen peroksitin konsantrasyonundaki artış, uranyum verimini olumlu yönde artırmaktadır.

Tablo 2.1. Oksitleyicilerin Uranyum Dioksit Çözünürlük Hızına Etkileri (10).

Oksitleyici	Miktar(g)	%UO ₂ Ekstraksiyonu
Ag ₂ SO ₄	1.16	100
K ₃ Fe(CN) ₆	2.44	100
HgCl ₂	1.01	96
NaOCl	0.28	81
KM _n O ₄	0.39	76
H ₂ O ₂	0.13	69
CuSO ₄ -NH ₃	1.85	64
PbO ₂	0.89	47
Hava	-	20

Tablo 2.2 İdeal Bir Oksitleyiciden Beklenen Özellikler ve H₂O₂ Özellikleri(40).

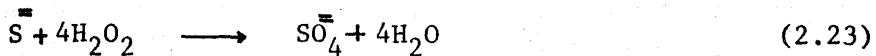
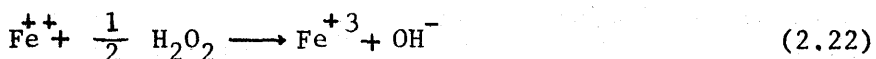
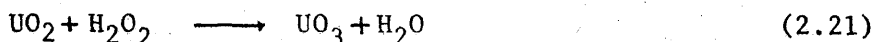
İdeal Oksitleyiciden Beklenen Özellikler	H ₂ O ₂ Özellikleri
Hızlı, tam bir oksidasyon	Oksidasyon için perhidroksil ve O ₂ sağlar.
Kolay kullanım	Emniyetli, sıvı bir sistem
Kolay konsantrasyon değişikliği	Su ile seyreltilir.
Minimum ekolojik tesir	Bozunma sonucu su ve oksijene dönüşür.
Yan tesirlerin olmaması	Herhangi bir yan tesiri yok



Şekil 2.6 Toplam Ekstrakte Edilmiş Uranyum Miktarının
Zamana Göre Değişimi ve H₂O₂ Konsantrasyonunun
Etkisi(27).

2.3. HİDROJEN PEROKSİT VE BOZUNMASI

Uranyum mineralinden uranyum ekstraksiyonu esnasında karbonat çözeltisine ilave edilmesi gereken oksitleyiciyi uranyum dioksitten başka tüketen maddelerin başında demir sülfür gelir. Ekstraksiyon süresince, oksidasyon kademesinde meydana gelen reaksiyonlar oksitleyici olarak hidrojen peroksit kullanılması durumunda aşağıdaki şekilde yazılabilir(27, 39).



yukarıdaki eşitlikler uranyumun +4, demirin +2 ve kükürdüne -2 değerliklerinde bulunduğu kabul edilerek yazılmıştır. Bu eşitliklerden anlaşılıcagı üzere, uranyumun oksitlenmesinde sadece 1 mol H_2O_2 tüketilirken, demir sülfür reaksiyonlarında 4.5 mol H_2O_2 tüketilmektedir.

Hidrojen peroksitin yerinde değerlendirme yönteminde kullanımının pek çok yararının bulunmasının yanısıra kendiliğinden su ve oksijene bozunması olumsuz etki yapmaktadır.



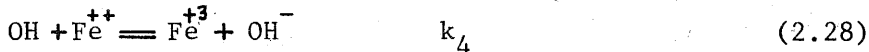
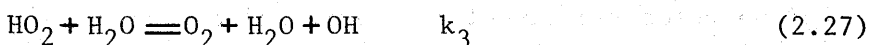
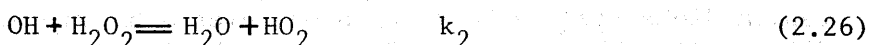
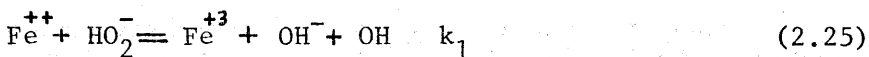
Yukarıda (2.24) eşitliğiyle verilen bozunma reaksiyonu, ağır ve geçiş elementlerinin mevcudiyetinde veya çözeltide küçük konsantrasyonlarda demir tuzlarının bulunmasıyla hızlanmaktadır.

2.3.1. Hidrojen Peroxsin Katalitik Bozunması

Schumb ve arkadaşları (42) ağır ve geçiş elementlerinin büyük bir kısmının hidrojen peroksitin bozunmasında katalizör olarak önemli rol oynadıklarını göstermiştir. Bu elementler Cu, Mn, Fe, Co, Os, Ni, Pt, Ag, Au, Zn, Cd, Hg, Pb, Mg, Bi olup, bunların az miktarları bile hidrojen peroksiti bozundurmaktadır.

Hidrojen peroksitin demir tuzları mevcudiyetinde katalitik bozunmasıyla ilgili ilk çalışma Haber ve Weiss (43) tarafından gerçekleştirılmıştır. Araştırcılar, reaksiyon meka-

nizmasını aşağıdaki şekilde tariflemişlerdir.



Bozunma mekanizması, reaksiyon sırası reaktan konsantrasyonlarında kontrol edilen bir zincir reaksiyonu olarak açıklanmıştır. Haber ve Weiss (2.26) ve (2.28) reaksiyonlarının tersinmez olduğunu ve ayrıca HO_2 ve OH serbest radikallerinde kararlı hale geldiklerini kabul etmişlerdir. Yalnızca Fe^{++} gözönüne alınırsa, serbest radikaller ve hidrojen peroksitin konsantrasyonları arasındaki ilişki aşağıdaki denklemlerle ifade edilebilir.

$$(\text{OH}) = \frac{k_1}{k_4} (\text{H}_2\text{O}_2) \quad (2.29)$$

$$(\text{HO}_2) = \frac{k_1 k_2}{k_3 k_4} (\text{H}_2\text{O}_2) \quad (2.30)$$

Serbest radikal konsantrasyonu, zamanla azalan H_2O_2 konsantrasyonuna bağlı olarak değişir. Mamafih, serbest radikal konsantrasyonunun çok küçük değerleri, bunların konsantrasyonlarının kararlı olduğu kabulünü doğrular.

Yukarıda adı geçen araştırmacılar hidrojen peroksit bozunma reaksiyonu için aşağıdaki kinetik ifadeyi tanımlamışlardır.

$$\frac{d(\text{H}_2\text{O}_2)}{dt} = - k_1 (\text{Fe}^{++}) (\text{H}_2\text{O}_2) + \frac{2k_1 k_2}{k_4} (\text{H}_2\text{O}_2)^2 \quad (2.31)$$

Barb ve arkadaşları (44), Haber ve Weiss tarafından sunulan reaksiyon mekanizmasını, yüksek hidrojen peroksit konsantrasyonlarına da uygulayabilecek şekilde geliştirdiler ve (2.31) eşitliğiyle verilen kinetik ifadeden daha değişik bir kinetik model sunarak Fe^{+3} konsantrasyonundan etkisini göstermişlerdir.

B Ö L Ü M 3

D E N E M E L E R

3.1. AMAÇ

Yerinde uranyum ekstraksiyonu yöntemiyle uranyum mineralinden uranyum ekstraksiyonu amacına yönelik olarak gerçekleştirilen çalışmada öncelikle asidik ve karbonat ekstraksiyon sistemleri karşılaştırılmış, ayrıca bu sistemlerin denemesi esnasında ortalama ilave edilen hidrojen peroksitin oksitleyici özelliğinin önemi gösterilmek istenmiştir.

İkinci grup çalışmada yüksek pH'a sahip karbonat çözeltisinde hidrojen peroksit bozunma hızına demir etkisini azaltmak amacıyla demir kelatlar kullanılarak hidrojen peroksit stabilitesinin sağlanması araştırılmıştır. Bu denemelerin olumlu sonuç vermesi üzerine, karbonat çözeltileriyle uranyum ekstraksiyonu denemeleri yürütürülerek, ekstraksiyon süresince, hidrojen peroksitin bozunma hızı ve uranyum çözünürlüğüne pH ve kelat etkilerinin araştırılması istenmiştir.

3.2. KULLANILAN CEVHERİN, KİMYASAL MADDELERİN VE DÜZENEĞİN TANIMLANMASI

3.2.1. Çalışmada Kullanılan Uranyum Cevherinin Tanımlanması

Ekstraksiyon denemelerinde kullanılan uranyum cevheri A.B.D. Wyoming Eyaleti Powder River Basin bölgesinde Pumpkin Buttes sahasından alınmıştır. Maden filizi maden sahasından taze olarak çıkartılmış, oksitlenmemesine titizlikle dikkat edilerek çelik variller içinde bulunan iki kilogramlık plastik torbalara konulmuş, torbaların ağzı bağlandıktan sonra çelik varillerin kapağı kapatılarak laboratuara getirilmiştir.

3.2.5 nolu kısımda verilen ön işlem yöntemi uygulanarak hazırlanan uranyum numunesi Wyoming Analistik Laboratuarında (45) analiz edilmiş ve çalışmalarda kullanılacak uranyum mineralinin 1110 ppm uranyum ($\text{Z}_{0,111} \text{U}_3\text{O}_8$) içerdigi tespit edilmiştir.

Powder River Basin bölgesinde Pumpkin Buttes sahasındaki uranyum maden yatakları ilk defa 1951 yılında bulunmuş ve bu saha içindeki yataklar 1954 yılından itibaren işletilmeye başlanmıştır. Pumpkin Buttes sahasındaki yatakların jeolojik

durumu ve mineralojisi hakkında geniş bilgi 10, 46, 47, 48 numaralı referanslarda verilmiştir. Uranyum kayaçları kumtaşı (sandstone) yapısında olup yerinde ekstraksiyon prosesine çok uygunluk göstermektedir. Başlıca uranyum mineralleri karnotit, uraninit, metatyuyaminit ve uranofan'dır. Bölgedeki kumtaşı %40-70 kuvartz, %15 feldispat ve değişik oranlarda pirit, kalsit, klorit, mukasit, biotit, turmolin bileşimine sahiptir.

3.2.2. Deneylerde Kullanılan Kimyasal Maddeler

Çalışmalarda aşağıdaki kimyasal maddeler kullanılmıştır.

H_2SO_4 : Merck ($d = 1.84$)

HNO_3 : Merck ($d = 1.40$)

Na_2CO_3 , $NaHCO_3$: Reagent grade (J.T.Baker)

$(NH_4)_2CO_3$, NH_4HCO_3 : Reagent grade (J.T.Baker)

H_2O_2 : %50 konsantrasyonda hidrojen peroksit çözeltisi (Albone 50) olup E.I.du Pont de Nemours and Co. firmasından sağlanmıştır.

Kelatlar : Deneylerde kullanılan demir kelatlar Hampshire Organic Chemicals Division of the W.R. Grace and Co. firmasından sağlanmıştır, ticari isimleri ve özellikleri şunlardır (49).

Hampshire EDTA: Etilen diamin tetraasetik asit, %68'lik çözeltisi.

Hampshire EDG : %27'lik disodyum etanol diglisin çözeltisi. Zayıf alkali çözeltilerdeki demir için kullanılan bağlayıcı olup pH 6.5-9.5 aralığında iyi sonuç vermektedir. Aynı zamanda kalsiyumda bağlayıcı özelliği vardır, ayrıca 1 gram EDG pH 8 de yaklaşık 75 miligram demir bağlar.

Hampshire DEG : %41 lik sodyum dietanol glisin çözeltisi pH 9.5-12.5 aralığında alkali çözeltiler için kullanılır, kalsiyum bağlamaz, pH 10 da 1 gram DEG yaklaşık 50 miligram demir bağlar.

Hampene OH-3 : Özellikle kostik içindeki demir için kompleks yapıcı olup, herhangibir pH'dan demir çökmesini

önlemek için hazırlanan kelatların karışımıdır. 1 gram OH-3 %5-30'luk NaOH içindeki 50 miligram demiri bağlar.

Hidroksiasetik asit : %57'lik ($d=1.33$).

3.2.3. Analiz Yöntemleri

Uranyum Analizi (50): Kullanılan çözeltiler şunlardır.

1. Kompleks Çözeltisi : 1 litrelilik balon joje içinde 25 g Cy DTA, 5 g sodyum florit, 65 g sülfosalisilik asit 800 ml. su ile karıştırılır. %40'lık sodyum hidroksit ile pH 7.85 oluncaya kadar nötralize edilir daha sonra distile su ile 1 litreye tamamlanır.

2. Tampon Çözeltisi : 1 litrelilik balon jojede 149 g trietanolamin 800 ml. suyla çözündürülür. pH 8 oluncaya kadar perklorik asit ile nötralize edilir bir gece bekletilir. Perklorik asit ile pH tekrar 7.85'e ayarlanır ve distile suyla litreye tamamlanır.

3. Bromo-PADAP Çözeltisi(%0.05) : 0.05 g kristalize edilmiş bromo-PADAP 100 ml. etanolde çözündürülür.

Analiz edilecek çözeltiden 1 ml. 25 ml.lik balon jojeye konulur üzerine sırayla karıştırılarak 2 ml. kompleks çözeltisi, 2 ml. tampon çözeltisi, 10 ml. etil alkol ve 2 ml. bromo-PADAP çözeltisi ilave edilir, 25 ml. ye distile suyla tamamlanır. 40 dakika bekletildikten sonra $\lambda = 578$ nm de spektrofotometrede absorbansı ölçülür, kalibrasyon eğrisinden konsantrasyon hesaplanır.

Hidrojen Peroksit Analizi (51):

50 ml.lik beher içine 30 ml. 0.5 N. H_2SO_4 ve 400 mikrolitre numune konur karıştırılır. Beher magnetik karıştırıcı üzerine konur içine platin ve referans elektrodlar batırılır, pH metre mV fonksiyonuna getirilir. Hassas mikrobüretten 0.1 N Ce(IV)(Serik amonyum sülfat) ilave edilir. pH metrede milivolt dijitali dikkatle izlenir. Ekivalens noktada milivolt okuması 850 mV.dan süratle geçmelidir. Bu noktada Ce(IV) ilavesi durdurulur ve titrant miktarı mikrobüretten okunur. Hesaplama aşağıdaki şekilde yapılır.

$$V_c N_c = V_p N_p$$

$$C_p = 17 \quad \frac{V_c N_c}{V_p}$$

Burada;

V_c = İlave edilen Ce(IV) miktarı, mikrolitre

V_p = Başlangıçta ilave edilen Peroksitli numune miktarı, mikrolitre

N_c = Ce(IV) normalitesi

N_p = Numunedeki H_2O_2 normalitesi = 17 C_p

C_p = Numunedeki H_2O_2 konsantrasyonu, g/l

3.2.4. Deney Düzeneği ve Kullanılan Cihazlar

Ekstraksiyon denemeleri için Autoclave Engineers, Erie. Penn.(A.B.D.) şirketi yapımı 1 litrelilik karıştırıcılı otoklav kullanılmıştır. Şekil 3.1 otoklav ve yardımcı kısımlarını göstermektedir.

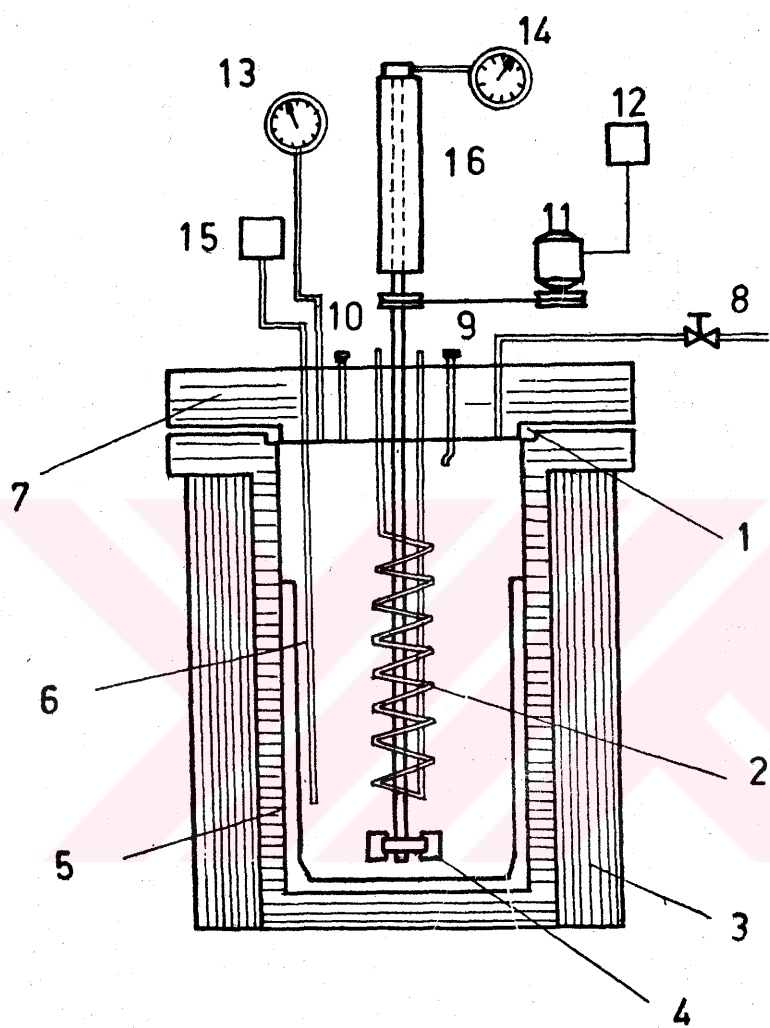
Demir kelatların karbonat çözeltisinde hidrojen peroksit bozunmasına etkilerinin incelenmesiyle ilgili deneyler 500 ml.lik kapaklı erlanmayerlerde Junior Orbital marka çal-kalayıcı kullanılarak yürütülmüştür.

Karbonat çözeltileriyle uranyum ekstraksiyon denemeleri bölümünde kütle hesaplaması yapmak için ekstraksiyon işlemi bitiminde katı artık madde çözeltiden Şekil 3.2 de gösterilen düzen kullanılarak oda sıcaklığında süzülmüştür.

Yukarıda tanıtılan deney düzeneklerinin yanısıra deney öncesi ve deney esnasında kullanılan diğer cihazlar şunlardır:

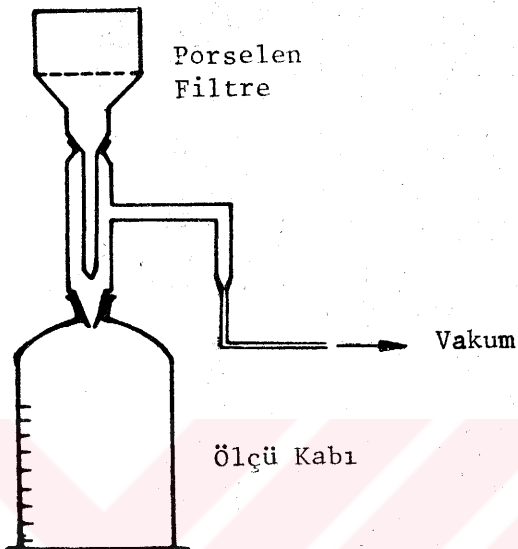
Eldivenli Kutu (Glove Box): Bu cihaz uranyum cevherinin ekstraksiyon öncesi ön hazırlık işleminde kullanılmıştır (Şekil 3.3). Maden filizinin oksitlenmesi arzu edilmediğinden, içinden azot gazi geçirilen eldivenli kutuya gereksinim duyulmuştur.

Spektrofotometre : Baush and Lomb Spectronic 100 (A.B. D.) marka olup, ekstraksiyon çözeltisinden alınan numunelerde uranyum konsantrasyonu tayininde kullanılmıştır.

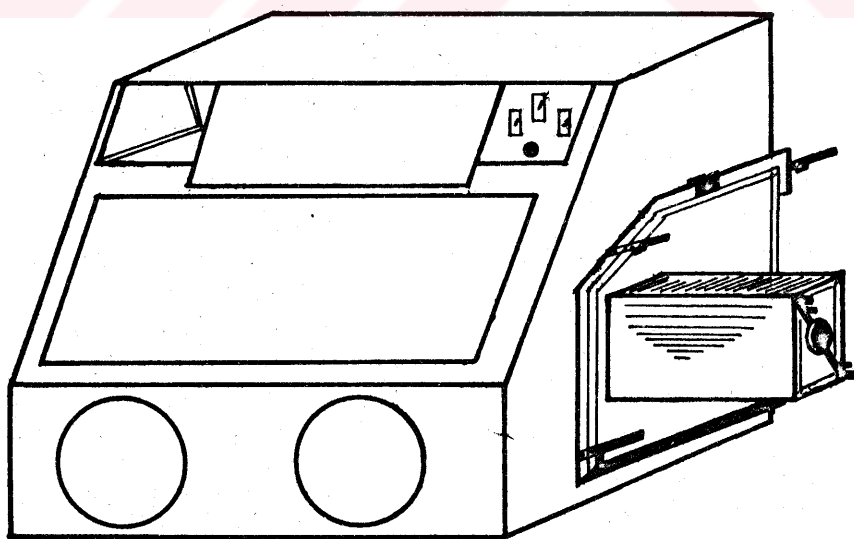


Şekil 3.1 Otoklav Ünitesi

- | | |
|-------------------------|------------------------|
| 1. Conta | 9. Havalandırma |
| 2. Soğutma Devresi | 10. Numune Alma |
| 3. Çelik Gövde | 11. Karıştırıcı Motoru |
| 4. Karıştırıcı | 12. Hız Ayarlayıcı |
| 5. Otoklav İç Kabı | 13. Basınç-Göstergesi |
| 6. Termokapl | 14. Takometre |
| 7. Otoklav Kapığı | 15. Sıcaklık Okuyucusu |
| 8. Azot Gazi Bağlantısı | 16. Döndürücü Mil |



Şekil 3.2. Süzme Ünitesi.



Şekil 3.3 Eldivenli Kutu

pH metre : Corning pH/ion Meter 135 (A.B.D.) marka olup, iki amaç için kullanılmıştır. Birincisi hazırlanan çözeltilerin pHının ölçülmünde, ikincisi ise hidrojen peroksit tayininde kullanılmıştır.

Isıtıcı-Magnetik Karıştırıcı : Corning Hot Plate PC 351 (A.B.D.) modelidir.

Hassas Mikro Büret (Ultra Precision Micrometer Buret): İsviçre yapımı Gilmout marka olup, hidrojen peroksit tayininde mikrolitre mertebesinde küçük hacimleri ölçmek için kullanılmıştır.

Oxford Pipetleri: Uranyum ve hidrojen peroksit tayinlerinde kullanılan pipetlerdir.

Sırıngalar: 2, 5 ve 10 ml. hacimlerinde olup, çözeltilerden numune alınmasında kullanılmıştır.

Manual ve Otomatik Assorted Pipetler: Çeşitli çözeltilerin hacimlerini seri bir şekilde ölçmek için kullanılmıştır.

3.2.5. Ekstraksiyon İşleminin Yürüyüşü

3.2.5.1. Ön Hazırlık İşlemi

3.2.1 nolu kısımda tanıtılan uranyum minerali eldivenli kutu içinde geniş bir tepsiye yayılır, tepsi ısıtıcı üzerine konur, düşük sıcaklıkta 35-40°C de bir gece azot ortamında kurutulur. Kurutulan numune ızgaralı dağıticısı kullanılarak koni metoduna göre yığın haline getirilir ve dört kısma bölünür. Karşılıklı iki kısım birleştirilir. Tekrar koni metoduna göre yığın haline getirilir ve bu yığın içinden 50 g numune tartılır, plastik torbalar içine konarak ağızı kapatılır ve eldivenli kutuda muhafaza edilir.

3.2.5.2. Ekstraksiyon İşlemi

Ekstraksiyon işlemi başlama ve numune alma şeklinde iki kısma ayrılır. Başlama ve numune alma işlemlerinin yürüyüşü şu şekildedir:

A) Başlama: İstenilen hacimdeki ekstraksiyon çözeltisi otoklav iç kabına(liner) yerleştirilir ve içinden azot gazı geçirilerek temizlenir. Yukarıda ön hazırlık işleminde anlatıl-

dığı şekilde hazırlanan uranyum minerali otoklav iç kabına konur. Otoklav kapağı kapatılır uygun şekilde vidaları sıkıştırılır. Belirtilen miktardaki kelat ve hidrojen peroksit oxford pipetiyle numune deliğinden içeriye verilir. Numune deliğininvidası çabucak kapatılır. Kısa bir süre (birkaç saniye) için azot gazi geçirilip havalandırma deliği kapatılır ve 6.8 atm.e ulaşınca kadar azot gazi basılır. Çözelti dakikada 200 devirde karıştırılır. Belirlenen zaman aralıklarında ekstraksiyon çözeltisinden numune alınır.

B) Numune Alma : Karıştırıcı durdurulur, çözelti durulması için 2 dakika beklenir. Havalandırma deliği açılarak basınç düşürülür, numune deliği açılır ve şırınga ile ekstraksiyon çözeltisinden 2 ml. numune alınır. Numune deliği kapatılır tekrar 6.8 atm.e kadar azot gazi basılır, bu işlem yapılırken öncelikle 3.2.3 nolu bölümde verilen yöntem ile H_2O_2 daha sonra uranyum tayinleri yapılır. Karıştırıcı devreye sokulur.

3.3. ASİT VE KARBONAT EKSTRAKSİYON SİSTEMLERİNİN KARŞILAŞTIRILMASI İÇİN YAPILAN DENEMELER

Uranyum cevherinden uranyum ekstraksiyonu asidik veya bazik sistemler kullanılarak yapılabilir. Ekstraksiyon işleminde kullanılacak çözücüün (lixiviant) seçimi herbir uranyum cevherinin fiziksel ve kimyasal yapısına bağlıdır. Killerin, organik bileşiklerin ve çözünebilir gang bileşiklerinin bulunması bu seçimi etkiler(11). Bölüm 1.2.1 de açıklanlığı gibi, uranyumun çözünebilmesi için cevherde + 4 değerlikte bulunan uranyumun oksitlenerek + 6 değerlige yükseltilmesi şarttır. Bu sebeple ekstraksiyon sisteme oksitleyici ilaveşi gereklidir. Bu bölümde aşağıda belirtilen asidik ve karbonat sistemleri kullanılarak ekstraksiyon deneyleri yapılmış ve ortama oksitleyici olarak ilave edilen hidrojen peroksitin ekstraksiyon verimi üzerine etkisi gösterilmeye çalışılmıştır.

- a. $Na_2CO_3/NaHCO_3 - H_2O_2$ Sistemi
- b. $(NH_4)_2CO_3/NH_4HCO_3 - H_2O_2$ Sistemi
- c. $H_2SO_4-H_2O_2$ Sistemi
- d. HNO_3 Sistemi

Yapılan deneyler 3.2.4 nolu kısımda tanıtılan 1 litrelilik karıştırıcılı otoklavda 6.8 atm azot basıncında ve $12-13^{\circ}C$ sıcak-

likta yürütülmüştür. İstenilen sıcaklığı sağlayabilmek için otoklavın soğutma devresinde 12 °C de su sirküle edilmiştir. Otoklav karıştırıcı hızı dakikada 200 devir yapacak şekilde sabit tutulmuştur. Herbir ekstraksiyon sistemi için yapılan deneylerde kullanılan başlangıç çözeltileri miktarlarının katı madde (numune) miktarına oranı 10:1 olarak alınmıştır. Ekstraksiyon süresince, belirli zamanlarda çözeltiden örnekler alınarak 3.2.4 nolu kısımda verilen yöntem kullanılarak U₃O₈ konsantrasyonu ölçülmüş, zamana karşı uranyum verimi grafiğe geçirilmiştir.

3.3.1. Sodyum Karbonat/Sodyum Bikarbonat Sistemi

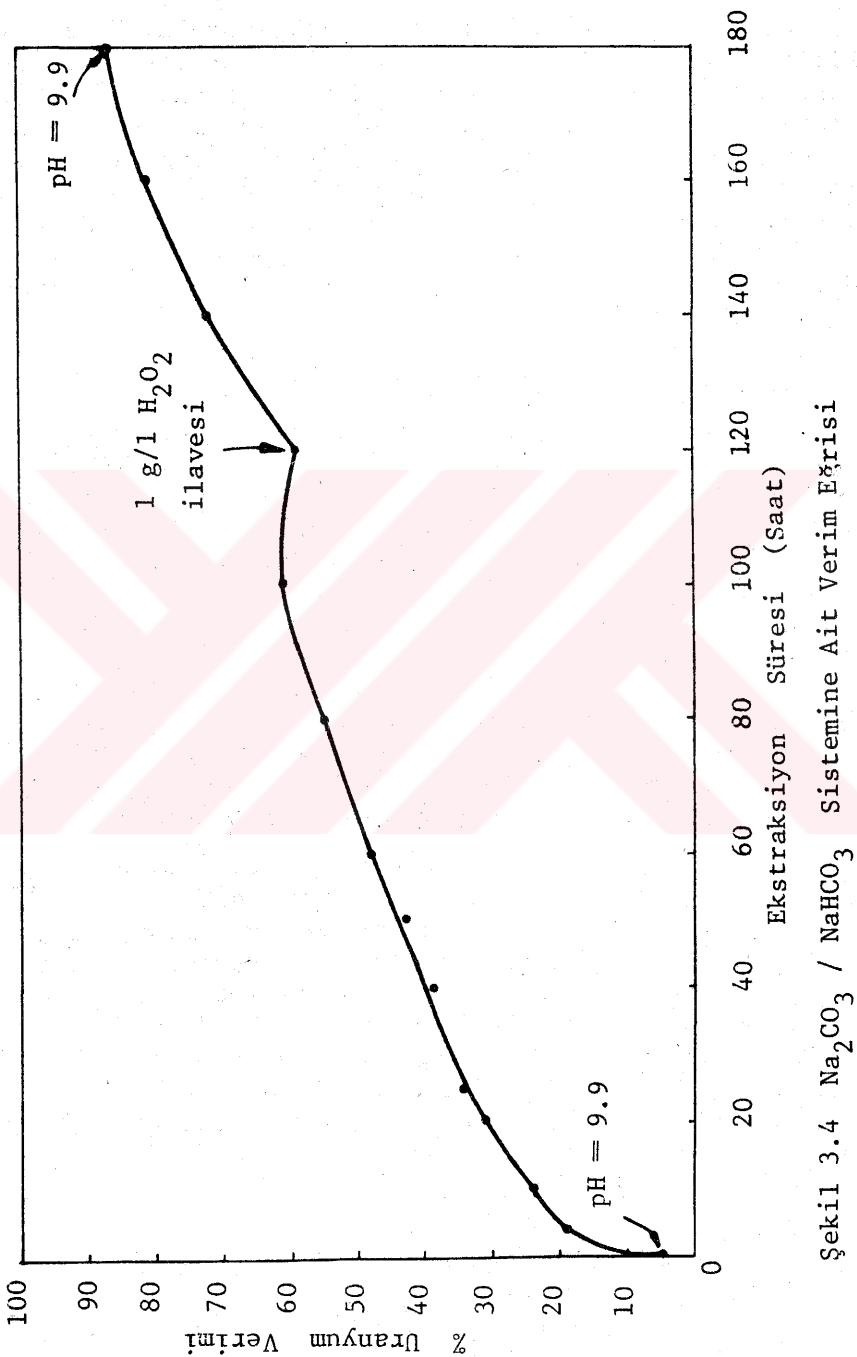
Kurutulmuş uranyum cevherinden 50 g tartılarak otoklava konulmuş, üzerine 500 ml Na₂CO₃-NaHCO₃ çözeltisi ilave edilmişdir. Çözelti 1.17 g/l NaHCO₃, 1.93 g/l Na₂CO₃ ve 1 g/l H₂O₂ içermekte olup pH'ı 9.8 dir. Şekil 3.4 bu sisteme ait ekstraksiyon verimini göstermektedir. Şekilde görüleceği gibi U₃O₈ konsantrasyonu başta hızlı bir şekilde sonra daha yavaşlayarak yükselmekte ve 100.saatte %62 lik bir verime ulaşmaktadır. Bu noktadan itibaren ise konsantrasyonun sabit kaldığı düzleşen eğriden gözlenmektedir. 120.saatte sisteme 1 g/l miktarında taze H₂O₂ ilave edilmiş, verim tekrar yükselmeye başlamıştır. Deneyin bitirildiği 180. saatte %87'lik verime ulaşmıştır.

3.3.2. Amonyum Karbonat/Amonyum Bikarbonat Sistemi

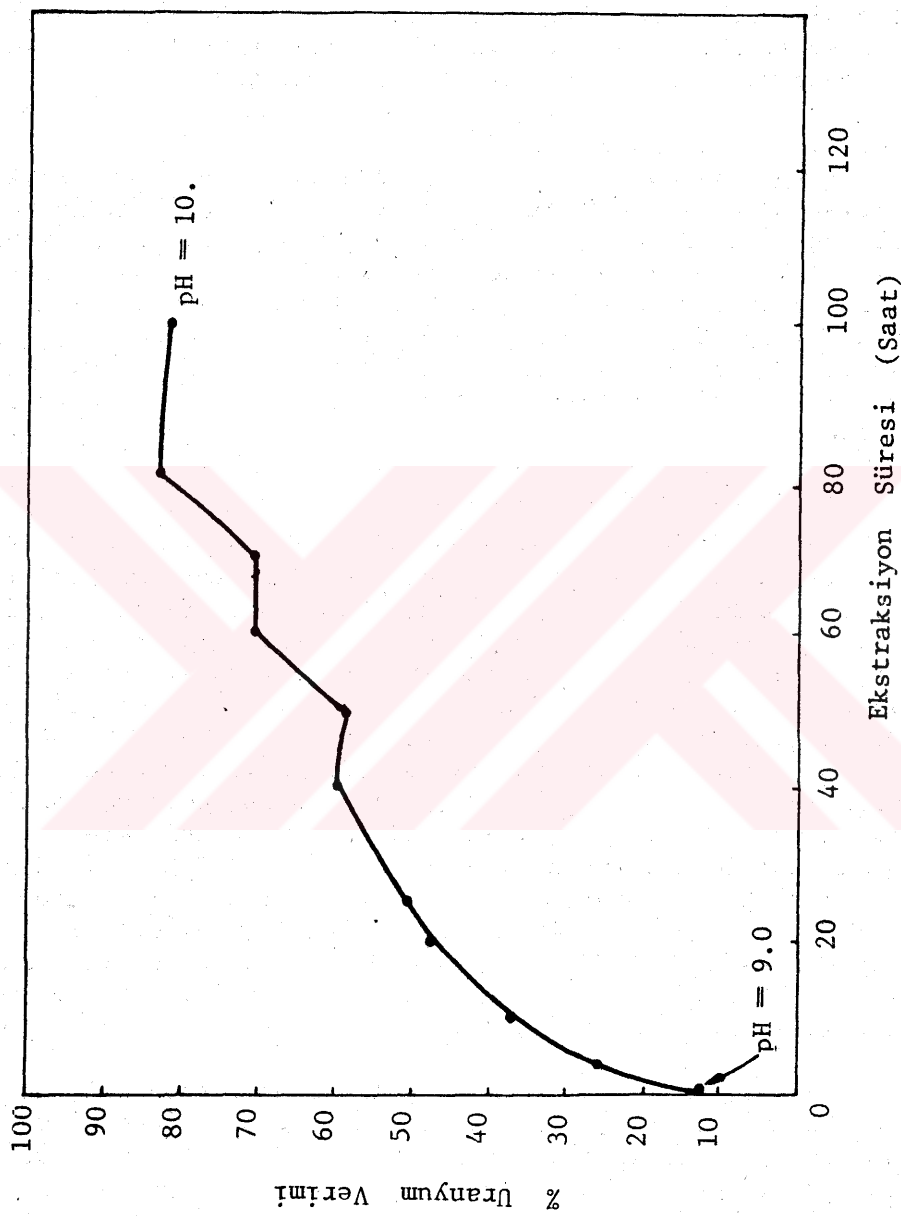
Sodyum karbonat/sodyum bikarbonat sistemi ile benzerlik gösteren bu ekstraksiyon sisteminin verim eğrisi Şekil 3.5 de gösterilmiştir. Başlangıçta çözelti pH'ı 9.0 olarak ölçülmüştür. Şekilde görüleneceği gibi uranyum verimi zamanla sürekli bir yükselme göstermesine karşı 40. saatten sonra düzensiz bir değişim göstererek dalgalanmaktadır. Bu durum şöyle açıklanabilir; amonyum karbonat çözeltisi NH₃ gazına dönüşerek çözelti pH'ında değişiklik olmakta, pH'ın dalgalanmasında uranyum çözünürlüğünü etkilemektedir(52). Ekstraksiyon başlangıcından 100 saat sonra verim %84 olarak hesaplanmıştır.

3.3.3. Sülfürik Asit Sistemi

Deneyde kullanılan çözelti 0.056 N H₂SO₄ çözeltisi olup litrede 1 g H₂O₂ içermektedir. Ekstraksiyon başlangıcında pH 1.5 olduğu halde 70. saatte pH'ın 6'ya yükseldiği gözlenmiş ve ekstraksiyon verimi %20-25 gibi düşük bir rakamda kalmıştır. (Şekil 3.6) 90. saatte çözelti pH'ı yeniden 1.5 a ayarlanmış



Şekil 3.4 $\text{Na}_2\text{CO}_3 / \text{NaHCO}_3$ Sisteme Ait Verim Eğrisi



Şekil 3.5 $(\text{NH}_4)_2\text{CO}_3 - \text{NH}_4\text{HCO}_3$ Sisteme Ait Verim Eğrisi

ve verimde hızlı bir yükselme kaydedilmiştir. 100. saatten başlayarak verimde tekrar bir düşüş görülmüş, bunun üzerine 120. saatte sisteme tekrar H_2O_2 ilave edilmiştir. Bu noktadan itibaren konsantrasyon eğrisinin sürekli olarak yükseldiği ve 40 saat sonra verimin %79'a ulaştığı gözlenmiştir.

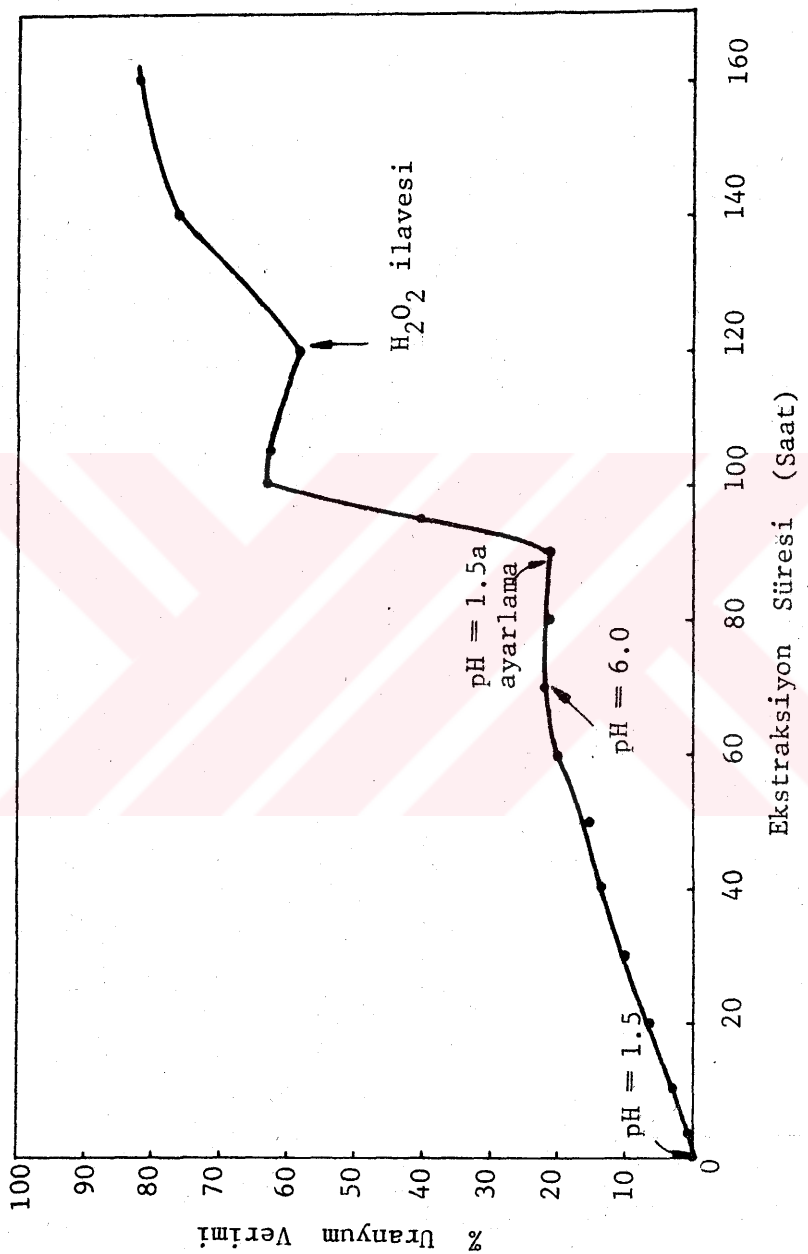
3.3.4. Nitrik Asit Sistemi

Nitrik asidin kendisi aynı zamanda oksitleyici olduğu için sisteme ayrıca H_2O_2 ilave edilmemiştir. Şekil 3.7'den görüldüğü gibi pH da 1.5 ve 2.0 arasındaki yarımbirimlik bir değişiklik uranyum çökmesine neden olmaktadır ki buda nitrik asitin çözücü olarak kullanıldığında ekstraksiyon veriminin pH'a karşı çok duyarlı olduğunu göstermektedir. Şekilden, ekstraksiyon eğrisinin 130. saatte %47'lik bir verime ulaştığı ve bunun nitrik asit sistemi ile elde edilen en yüksek verim olduğu gözlenir.

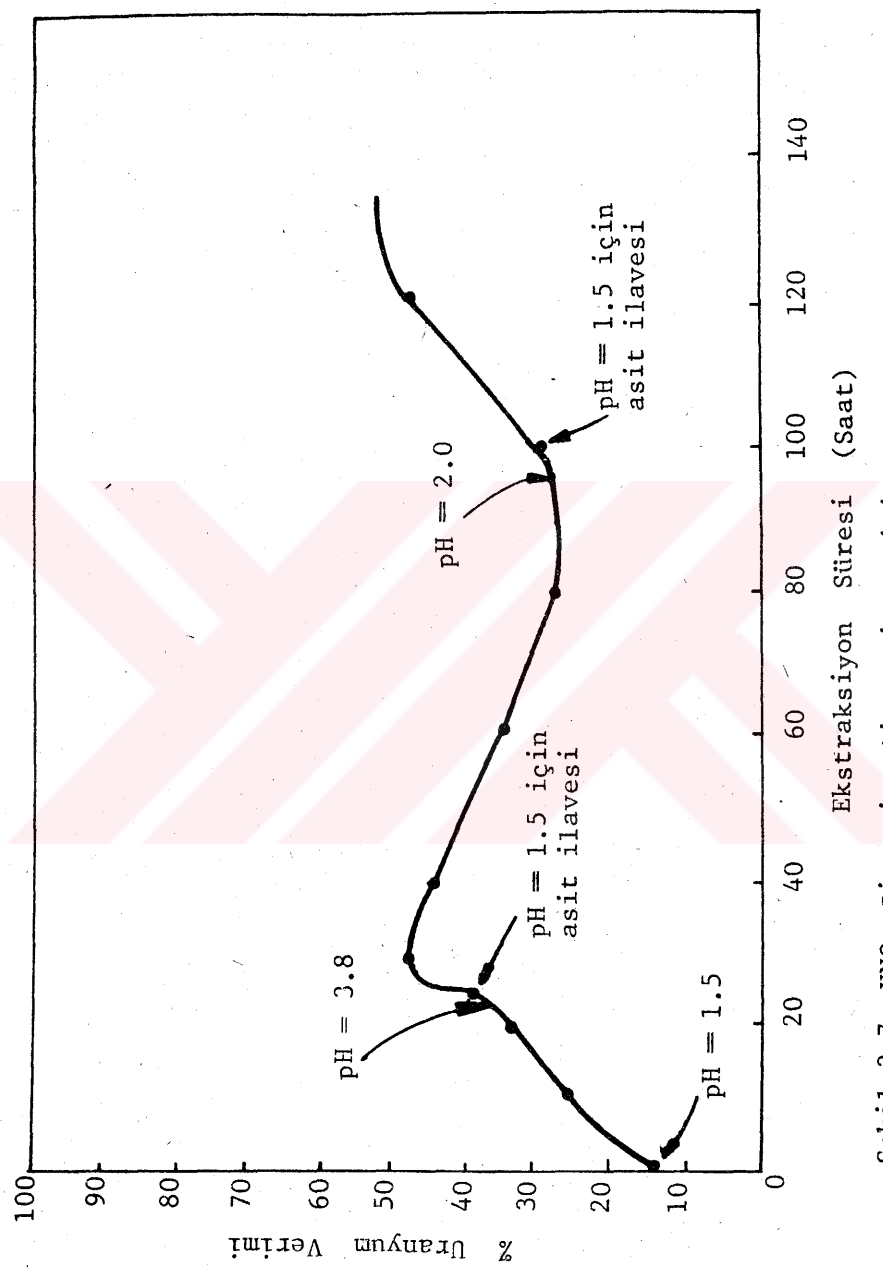
3.3.5. Sonuçların Değerlendirilmesi

Karbonat ve asit sistemlerini lixiviant olarak kullanmak üzere yapılan uranyum ekstraksiyonu deneyleri ve bunların sonuçları bu bölümün kapsamı içinde özetlendi. Şekil 3.4, 3.5, 3.6 ve 3.7'nin incelenmesiyle de görüleceği gibi, asit sistemlerinin çözücü olarak kullanılması olumlu görülmemektedir. Sulfürik asit söz konusu olduğunda, ekstraksiyon verimi pH'a büyük ölçüde bağımlı olmakta ve ekstraksiyon sırasında pH'in sürekli ayarlanması ile uranyum kazanılması sürdürülebilmemektedir. Yani ekstraksiyon eğrisi düzgün bir şekilde yükselmemekte, buna karşılık pH'ın etkisiyle keskin dalgalanmalar göstermektedir. HNO_3 sisteminde aynı problemler görülmekte ve %50 gibi düşük bir verimde kalınmaktadır. Karbonat sisteminin asit sistemine üstünlüğü ise gene bu şekillerden açıkça gözlenmektedir. Gerek Na_2CO_3 gerekse $(NH_4)_2CO_3$ sisteminde ekstraksiyon eğrisi zamanla sürekli bir yükselme göstermekte ve %80-90'lık bir verimle uranyum ekstraksiyonu sağlanabilmektedir.

Bu dört farklı sistemle yapılan deneylerden elde edilen ikinci önemli sonuçta, peroksit ilavesinin verimi her zaman olumlu yönde etkiledigidir. Şekillerden görüldüğü gibi ekstraksiyon eğrisindeki bir düzleşmenin gözlenmesine, fazla peroksit ilave edilerek müdahale edilmiş ve her defasında verimin tekrar yükselmesi sağlanmıştır.



Sekil 3.6 H_2SO_4 Sisteme Ait Verim Eğrisi



Şekil 3.7 HNO_3 Sistemine Ait Verim Eğrisi

3.4. DEMİR KELATLARIN KARBONAT ÇÖZELTİSİNDEN H₂O₂ BOZUNMASINA ETKİLERİNİN İNCELENMESİ

Yerinde uranyum ekstraksiyonu prosesinde oksitleyici olarak hidrojen peroksit kullanımının etkinliği laboratuar ve gerçek saha (field) çalışmalarında gösterilmiştir (27, 39, 40, 41). Ayrıca önceki bölümde, asit ve karbonat ekstraksiyon sistemlerinin mukayesesine için yapılan deneylerde H₂O₂'nin gerek asidik gerekse karbonat çözeltilerinde uranyum ekstraksiyon verimini olumlu yönde etkilediği gözlenmiştir.

Hidrojen peroksitin in situ proseslerinde kullanılmasının pek çok yararlarının bulunmasının yanısıra kendiliğinden kısa bir sürede su ve oksijene bozunması kullanımını açısından sakınca teşkil etmektedir. Bölüm 2.3 de özetlendiği gibi çok küçük miktarlarda bile olsa ağır ve geçiş metallerinin büyük bir kısmı (Fe, Mn, Cu, Co, Os, Ni, Pt, Au, Ag, Cd, Zn, Hg, Pb) hidrojen peroksitin bozunmasında katalizör olarak geniş rol oynamaktadırlar(42). Ayrıca ortamda bulunan demir tuzları bozunma hızını artırmaktadır. Diğer önemli bir noktada, bölüm 2.3 de gösterildiği gibi ekstraksiyon esnasında sisteme verilen oksitleyicinin, uranyum dioksitin (UO₂) yanısıra cevherde bulunan demir sülür (FeS₂) tarafından tüketilmesidir. Oksitleme reaksiyonlarından anlaşılabileceği gibi hidrojen peroksit kullanıldığından uranyum oksitlenmesinde sadece 1 mol H₂O₂ tüketilir iken, demir sülür reaksiyonlarında 4.5 mol H₂O₂ tüketilmektedir.

Yukarıda özetlenen bilgilerden anlaşılabileceği gibi, H₂O₂ nin bozunma hızının yavaşlatılmasına yönelik bir araştırma yerinde uranyum ekstraksiyonu yönteminin kullanımını açısından yararlar sağlayacaktır. Önceki bölümde yapılan deneyler, kullanılan uranyum cevheri için çözücü olarak yüksek pH'a sahip karbonat çözeltileri kullanılmasının üstünlüklerini ortaya çıkmıştır. Ayrıca son senelerde yüksek pH'a sahip karbonat çözeltilerinin yerinde uranyum ekstraksiyonu prosesinde çözücü olarak kullanılması artmaktadır (26, 27, 39). Doğaldır ki, bu şartlarda yüksek pH'a sahip karbonat çözeltilerinde hidrojen peroksitin bozunma hızının yavaşlatılmasının araştırılması önemli olacaktır. Bu amaçla yapılan denemelerde çözücü olarak yüksek pH'a (9-10) sahip karbonat çözeltileri kullanılmış ve oksitleyici olarak kullanılan hidrojen peroksitin bozunma hızını yavaşlatmak için çeşitli demir bağlayıcılar kullanılarak, denemeler sırasında H₂O₂ bozunma kinetiği incelenmiştir.

Kelatların peroksit bozunması üzerine etkisinin araştırılmasına yönelik bu çalışmalar iki ayrı bölüm halinde gerçekleştirilmiştir. Birinci bölümde, uranyumun ekstraksiyonu yapılmamış, sadece karbonat çözeltisinde H_2O_2 bozunması incelenmiştir (uranyum cevhersız çalışma). Bu grup kapsamı içinde yapılan denemelerin sonuçları ve irdelemesi bu bölümde verilecektir. İkinci grup çalışmalarında ise uranyum cevherinden uranyumun ekstraksiyonu yapılmış ve kelatların uranyum verimi ile H_2O_2 bozunmasına etkileri incelenmiştir. Bu deneyler ve sonuçları bundan sonraki bölümde sunulacaktır.

3.4.1. Deneylerde Kullanılan Demir Bağlayıcılar

Etilendiamintetraasetik asit (EDTA) ve nitrilotriasetik asit (NTA) genel metal kelatlar olarak tanınmasına rağmen, alcali çözeltilerde demir için iyi bir bağlayıcı olarakda kullanılır (49, 53). İstenilen pH aralığında demir bağlanması sağlanacak tek bir kelat mevcut değildir. Çeşitli molekül yapılarına sahip bağlayıcılar geliştirilmiş olup bunlar temel olarak EDTA ve NTA yapılarının modifiye edilmesiyle bir veya birden fazla etanolik grubu içerirler. Böylece geniş bir pH aralığında maksimum etkinlik sağlanmaya çalışılır. Çeşitli pH aralıklarına göre kullanılan demir kelatların bir kısmı Tablo 3.1 de gösterilmiştir.

Tablo 3.1 Demir Kelatlarının Bir Kısmının Listesi (49)

pH	K e l a t
3 - 6.5	EDTA
3 - 6.5	NTA
6.5- 9.5	HEEDTA
6.5- 9.5	EDG
9.5- 12.5	DEG
12. - 13	EHPG
7.5- 12.5	DTPA
-	HAA

Bu bölümde yapılan denemelerde, karbonat çözeltisinde H_2O_2 bozunmasına demir kelat etkisini araştırmak için Hampene OH-3, DEG ve EDTA kelatları kullanılmıştır.

3.4.2. Deney Şartları ve Yöntem

Demir mevcudiyetinde hidrojen peroksitin bozunma hızını

yavaşlatmak amacıyla kullanılan kelatların etkinliğini değerlendirmek üzere 4 ayrı test şartı hazırlamıştır. Denemeler oda sıcaklığında Lab-Line Junior Orbital yapımı çalkalayıcısı kullanılarak yürütülmüştür.

Test 1 : Distile su (240 ml.) + Fe(2 ppm) + $(\text{NH}_4)_2\text{CO}_3$ (0.75 g) + NH_4OH (16 damla) + H_2O_2 (1 g/1).

Test 2 : Distile su (240 ml) + Fe(2 ppm) + $(\text{NH}_4)_2\text{CO}_3$ (0.75 g) + NH_4OH (16 damla) + H_2O_2 (1 g/1) + kelat (0.25 g).

Test 3 : Distile su (250 ml.) + $(\text{NH}_4)_2\text{CO}_3$ (0.75 g) + NH_4OH (16 damla) + H_2O_2 (1 g/1).

Test 4 : Distile su (250 ml.) + $(\text{NH}_4)_2\text{CO}_3$ (0.75 g) + NH_4OH (16 damla) + H_2O_2 (1 g/1) + kelat (0.25 g).

Yöntem : Belirlenen mikardaki distile su ve $(\text{NH}_4)_2\text{CO}_3$ iyi bir şekilde karıştırılır. Çözeltiye demir ilave edilir. Çözelti pH'sı ölçülür ve NH_4OH ile 9.3 e ayarlanır. Belirtilen mikarda kelat ve peroksit ilave edilir. Erlanmayer çalkalayıcıya yerleştirilir, çalkalayıcı devri 200 devir/dak.'ya ayarlanır. Belirli zaman aralıklarında çözeltiden 1 ml numune alınarak 3.2.3 nolu bölümde verilen metodla H_2O_2 konsantrasyonu ölçüür.

3.4.3. Sonuçlar ve Değerlendirilmesi

Yapılan deneylerde demirin hidrojen peroksit bozunmaındaki etkisini azaltmak için Hampene OH-3, DEG, EDG ve EDTA bağlayıcıları kullanılmıştır. Bölüm 3.2.3 de belirtilen deney şartları her bir kelat için tekrarlanarak H_2O_2 bozunma hızına etkileri araştırılmıştır.

Hampene OH-3 ile ilgili denemelerin sonuçları Tablo 3.2 de gösterilmiştir. Deney sonuçları, Hampene OH-3 kelatininin demir içeren yüksek pH'a sahip karbonat çözeltisinde hidrojen peroksitin stabilitesini artttirdığını ispatlamaktadır. Test 1 ve Test 2 deney sonuçları Hampene OH-3 için Şekil 3.8 de mukayese edilmiştir. Test 1 hidrojen peroksit bozunma hızını ortamda kelat olmaksızın değerlendirirken, Test 2, kelat mevcudiyetinde H_2O_2 bozunma hızının ölçülmesini göstermektedir. Şekilde görüldüğü gibi Hampene OH-3 ilavesiyle 4 saatin sonunda

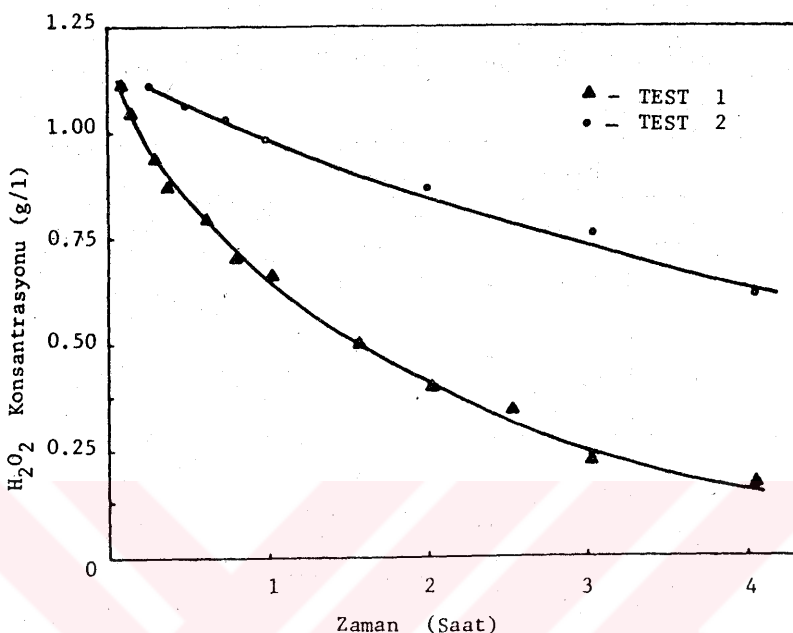
hidrojen peroksit konsantrasyonu 3 misli daha yüksek seviyede kalmıştır. Tablo 3.2'den görüleceği gibi, Test 1 ile Test 3 sonuçları birbirine yakın çıkmıştır. Buda bize sisteme demir ilave edilmesi ve edilmemesi durumlarında H_2O_2 'in ömrünün uzunluğunun fazla değişmediğini gösterir. Distile suyun analizi neticesinde 0.03 ppm oranında demir içerdigi bulunmuştur. Böylece demirin H_2O_2 bozunmasına etkisinin linearlikten uzak ve çok küçük ppm miktarlarının bile bozunmayı hızlandırmaya yeterli olduğu düşünülmüştür. Test 4 sonuçları Test 3 ve Test 2 deney sonuçları ile karşılaştırıldığında bu varsayımin doğruluğu ispatlanır (Şekil 3.9). Ayrıca ilave olarak, Hampene OH-3 kelatının yüksek demir konsantrasyonlu çözeltilerde demirin H_2O_2 üzerine etkisini önemli miktarda azaltmaya yeterli olduğu görülmektedir.

Hampene OH-3 kelatının yanısıra 3 ayrı demir kelat daha denemistiştir. Bunlar için uygulanan deney yöntemi ve şartları Hampene OH-3 için uygulananlar ile aynıdır. Bu bölümde yapılan deneylerde süre 24 saat olarak tutulmuştur. (Tablo 3.3) Şekil 3.10, 3.11 ve 3.12 sırasıyla EDG, DEG ve EDTA kelatlarının H_2O_2 bozunması üzerine etkilerini göstermektedir. Bu şeillerden görüleceği gibi EDG, DEG ve EDTA karbonat çözeltisi içindeki H_2O_2 ömrünü önemli ölçüde uzatmaktadır.

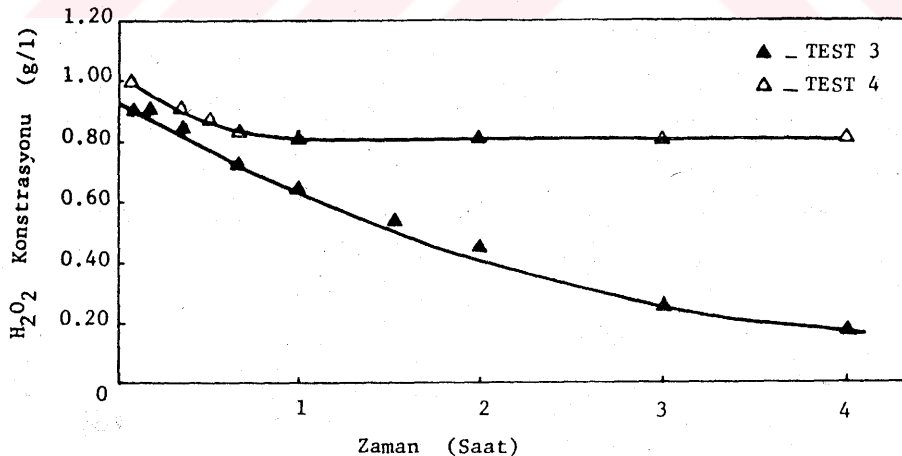
Tablo 3.2 ve Tablo 3.3 de verilen değerlerden yararlanılarak H_2O_2 bozunma reaksiyon süresine karşı $\log(C_{H_2O_2}/C_0H_2O_2)$ değeri gelecek şekilde grafik çizilmiş, kelatsız ve kelat ortamındaki bozunma reaksiyonları için ayrı eğimlere sahip doğrular elde edilmiştir (Şekil 3.13). Buda bize bozunma kinetiginin birinci dereceden olduğunu göstermiştir.

Tablo 3.2 Hampene OH-3 Kelatı ile Yapılan Denemelerin
Sonuçları

Zaman (Dakika)	H ₂ O ₂ Konsantrasyonu (g/l)			
	Test 1	Test 2	Test 3	Test 4
5	1.10	1.10	0.92	0.99
10	1.04	1.08	0.91	0.97
15	0.92	1.04	0.83	0.90
20	0.90	1.02	0.81	0.92
25	0.86	-	0.75	-
30	0.85	1.00	-	0.87
40	0.77	0.99	0.73	-
50	0.70	0.96	0.70	0.85
60	0.64	0.93	0.69	0.85
75	0.56	0.86	0.64	0.84
90	0.50	0.78	0.56	0.84
120	0.39	0.74	0.45	0.83
150	0.32	0.69	-	0.83
180	0.23	0.65	0.25	0.81
210	0.20	0.63	0.20	0.80
240	0.18	0.61	0.18	0.80



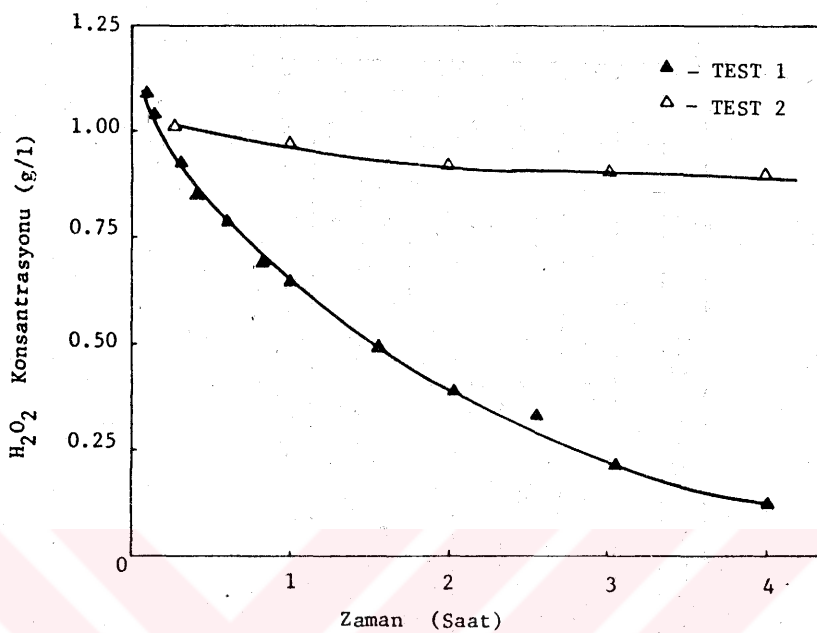
Şekil 3.8 Hampene OH-3 Kelatının H_2O_2 Bozunmasına Etkisi.



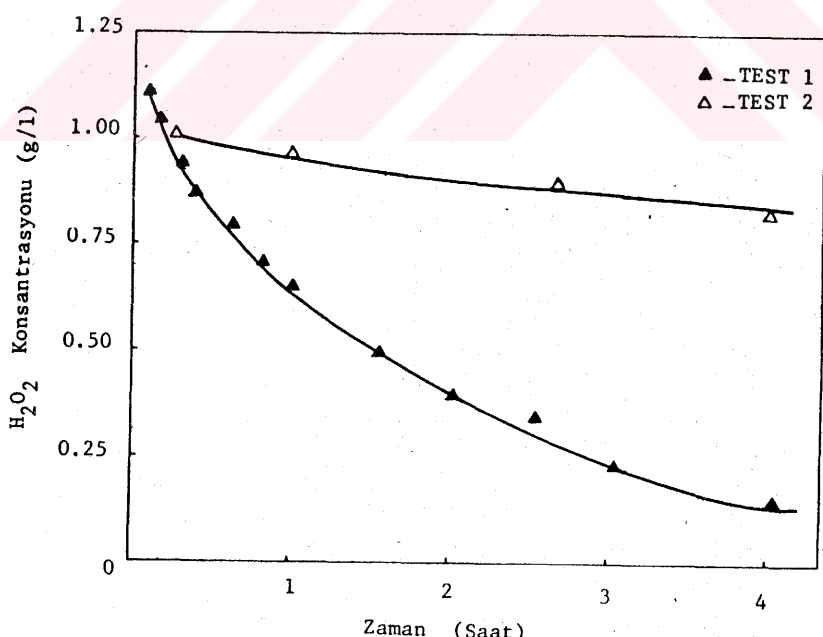
Şekil 3.9 Hampene OH-3 Kelatının H_2O_2 Bozunmasına Etkisi.

Tablo 3.3 DEG, EDG, EDTA Kelatları ile Yapılan Denemelerin Sonuçları

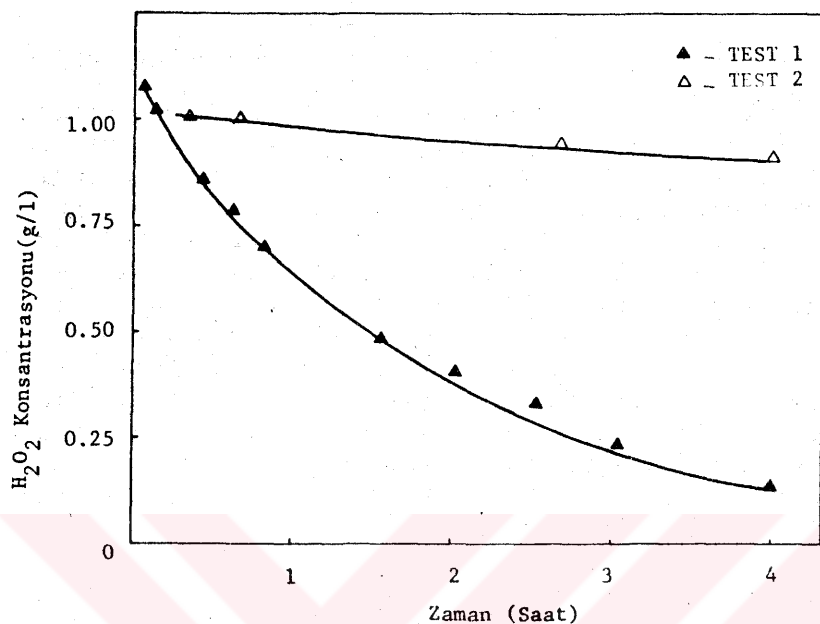
Kelat	Test	Hidrojen Peroksit Konsantrasyonu (g/l)								
		0	0.25	1	2.67	3	4	11.5	18	24
Zaman (Saat)										
-	1	1.12	0.92	0.64	0.25	-	0.20	0.10	-	0.02
DEG	2	1.03	1.01	0.98	0.94	-	0.87	0.66	-	0.45
DEG	4	1.03	1.01	0.98	0.95	-	0.92	0.87	-	0.81
EDG	2	1.04	1.01	0.99	-	0.96	0.92	-	0.78	0.72
EDG	4	1.16	1.13	1.12	-	1.10	1.09	-	1.05	1.03
EDTA	2	1.07	1.02	1.01	-	0.94	0.91	-	0.83	0.81



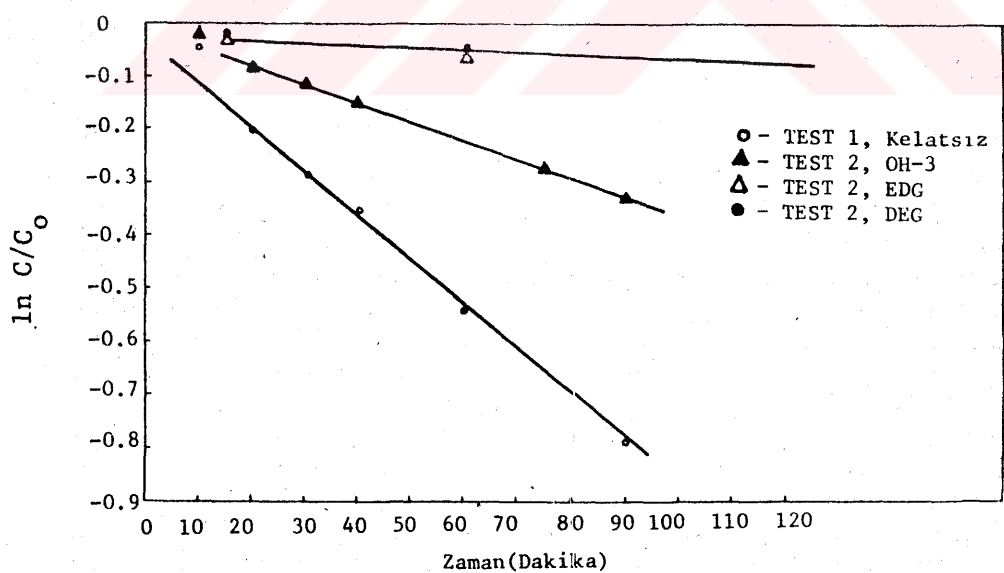
Şekil 3.10 EDG Kelatının H_2O_2 Bozunmasına Etkisi.



Şekil 3.11 DEG Kelatının H_2O_2 Bozunmasına Etkisi.



Şekil 3.12 EDTA Kelatının H_2O_2 Bozunmasına Etkisi.



Şekil 3.13 Hidrojen Peroksitin Bozunması.

3.5. KARBONAT ÇÖZELTİLERİYLE URANYUM EKSTRAKSİYON DENEMELERİ

Önceki bölümde yapılan denemelerde karbonat çözeltisinde hidrojen peroksit bozunma hızının demir kelat kullanımı ile önemli ölçüde yavaşlatılabildiği ispatlanmıştır. Bu denemelerin olumlu sonuçlar vermesi üzerine karbonat çözeltileriyle uranyum ekstraksiyon denemeleri yapılmasına karar verilerek demir kelatların hidrojen peroksit bozunmasına etkileri araştırılmıştır. Bu nedenle yapılan ekstraksiyon denemelerinin amacı iki ana grupta toplanabilir. Birincisi demir kelatların yerinde uranyum ekstraksiyon şartlarında H_2O_2 bozunmasına etkilerinin araştırılmasıdır, bu amaçla üç farklı kelat denenmiştir. İkinci ise çözelti pH'nın kelatların H_2O_2 stabilitesini artırma özelliği üzerindeki etkisinin belirlenmesidir. Bu gayeye yönelik olarak da iki farklı pH'a sahip karbonat çözeltisi (yüksek pH \sim 10., düşük pH \sim 7.5) kullanılmıştır.

Bu bölüm kapsamı içinde, öncelikle kullanılan ekstraksiyon çözeltileri ve ekstraksiyon işleminin yürüyüşü anlatılmış daha sonra deneyler sırasında gözlenen hidrojen peroksit bozunması ve uranyum ekstraksiyonunun süreci ayrıntılı bir şekilde yorumlanmıştır. Gerçekleştirilen deneylerin sağlaması mahiyetinde olan ve yapılan çalışmaların doğruluğunun anlaşılması açısından önemli bir adımı oluşturan kütle hesaplarını da içeren bölüm, deney sonuçlarının değerlendirilmesi ile bitirilmiştir.

3.5.1. Ekstraksiyon Çözeltilerinin Hazırlanışı ve Ekstraksiyon İşlemi

Bölüm 1.2 de açıklandığı gibi uranyumun yerinde ekstraksiyonu üzerine pek çok çalışmalar yapılmıştır(11,25,26,27,28, 29,30). Uranyum cevherinin mineralojik yapısına uygun olarak ekstraksiyon çözeltisi asidik veya karbonat olabilir. Özellikle karnotit yapısındaki cevher tipleri için yüksek pH'a sahip karbonat çözeltilerinin uygunluğu literatürde belirtilmiştir, ayrıca bölüm 3.3'de verilen ekstraksiyon denemelerinde kullanılan uranyum cevheri içinde karbonat çözeltisinin üstünlüğü ispatlanmıştır. Ekstraksiyon işleminde oksitleyici olarak H_2O_2 kullanımı son senelerde ticari işletmelerde tercih nedeni olup yerinde uranyum ekstraksiyonu için üstünlüklerde sahiptir(40). Fakat H_2O_2 'nin özellikle yüksek pH'a sahip karbonat çözeltilerinde hızla bozunması kullanımı için bir sakınca teşkil etmiştir. 3.4 nolu bölümde karbonat çözeltisinde demir kelatların

H_2O_2 ömrünü önemli derecede uzattığı gözlenmişti. Bu sebeple ekstraksiyon işlemine karbonat çözeltisi ile devam edilmesine karar verilmiştir.

Cözelti pH'nın kelatların H_2O_2 stabilitesini artırma özelliği üzerindeki etkisinin belirlenmesi için ekstraksiyon denemeleri düşük pH(~ 7.5) ve yüksek pH(~ 10) olmak üzere iki ayrı karbonat çözeltisi ile yürütülmüştür. Yüksek pH denemeleri için $Na_2CO_3/NaHCO_3$ çözeltisi kullanılmış bunun için 1.83 g Na_2CO_3 , 1.17 g $NaHCO_3$ tartılarak bir litrelilik balon jojede çözündürülmüş, bir litreye distile su ile tamamlanmış ve çözelti pH'ı ölçülmüştür. Düşük pH denemeleri için sadece $NaHCO_3$ kullanılmıştır. Bunun için 2.757 g $NaHCO_3$ tartılmış, bir litrelilik balon jojede distile su ile çözündürülmüş, bir litreye distile su ile tamamlanmış ve pH'ı ölçülmüştür.

Ekstraksiyon denemeleri 3.2.4 nolu bölümde tanıtılan Autoclave Engineers, Erie yapımı bir litrelilik karıştırıcı ile otoklavda 12-13°C sıcaklıkta yürütülmüştür. Ekstraksiyon süreleri 48 saat tutulmuştur. Ekstraksiyon işleminin yürüyüşü 3.2.5 nolu bölümde verilen yönteme göre yapılmıştır.

3.5.2. Hidrojen Peroksit Bozunması

Hidrojen peroksit bozunmasını incelemek için 12 ekstraksiyon denemesi yapılmıştır. Bu denemeler kelatsız ve kelat mevcudiyetinde yürütülerek kelatların H_2O_2 stabilitesine etkisi araştırılmıştır. Denemelerde kelat olarak Hampene OH-3 DEG ve hidroksiasetik asit kullanılmıştır.

Tablo 3.4 ve 3.5 hidrojen peroksit bozunmasıyla ilgili deneysel sonuçları göstermektedir. Yüksek pH'a sahip karbonat çözeltisi ile yapılan denemelerin neticeleri Tablo 3.4 de, düşük pH'a sahip karbonat çözeltisiyle yapılan denemelerin neticeleri ise Tablo 3.5 de verilmiştir. Denemelerde hidrojen peroksit ölçümü ve hesaplanması bölüm 3.2.3 de verilen yöntem ile yapılmıştır. Tablo 3.4 ve 3.5 deki değerlerden faydalananlar zamana karşı H_2O_2 konsantrasyonu grafiğe geçirilmiş, çözelti pH'ı ve kelat konsantrasyonunun H_2O_2 bozunması üzerine etkileri incelenmiştir. Şekil 3.14, 3.15 ve 3.16 Hampene OH-3 kelatinin H_2O_2 üzerine etkisini göstermektedir. Şekil 3.14 ve 3.15 den görüleceği gibi gerek yüksek pH da gerekse düşük pH da Hampene OH-3 konsantrasyonundaki artış hidrojen peroksit stabilitesini artırarak, bozunma hızını yavaşlatmaktadır. Şekil 3.16 Hampene OH-3 kelati mevcudiyetinde H_2O_2

Tablo 3.4 Yüksek pH'a Sahip(pH~10) Karbonat Çözeltisiyle Yapılan Denemelerde Elde Edilen H₂O₂ Bozunma Değerleri

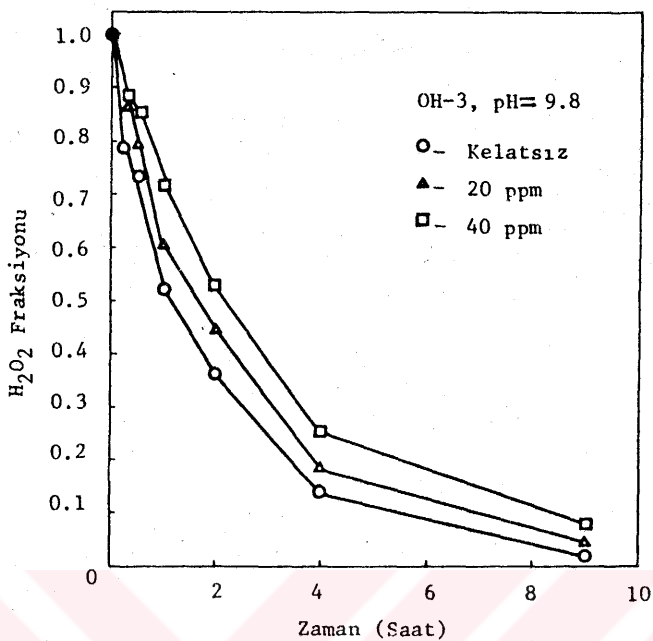
Zaman (Saat)	Hidrojen Peroksit Fraksiyonu					
	Kelatsız	OH-3 20 ppm	OH-3 40 ppm	DEG 20 ppm	DEG 40 ppm	HAA 40 ppm
0	1.00	1.00	1.00	1.00	1.00	1.00
0.25	0.786	0.865	0.874	0.865	0.875	0.852
0.50	0.728	0.788	0.844	0.803	0.812	0.732
1	0.521	0.599	0.712	0.587	0.603	0.536
2	0.360	0.441	0.525	0.461	0.570	0.319
4	0.142	0.183	0.247	0.241	0.278	0.112
8	-	-	-	0.057	0.178	-
9	0.023	0.043	0.070	-	-	0.021
17	-	-	-	0.023	0.034	-
20	0.007	0.013	0.019	-	-	-

Tablo 3.5 Düşük pH'a Sahip(pH~7.5) Karbonat Çözeltisiyle Yapılan Denemelerde Elde Edilen H₂O₂ Bozunma Değerleri

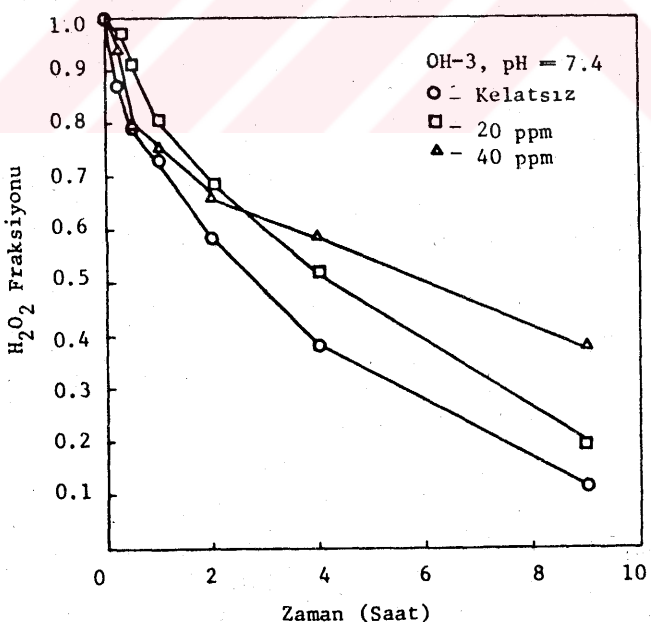
Zaman (Saat)	Hidrojen Peroksit Fraksiyonu					
	Kelatsız	OH-3 40 ppm	OH-3 20 ppm	DEG 20 ppm	DEG 40 ppm	HAA 40 ppm
0	1.00	1.00	1.00	1.00	1.00	1.00
0.25	0.873	0.945	0.967	0.986	0.959	0.967
0.50	0.795	0.792	0.913	0.968	0.872	0.863
1	0.728	0.753	0.804	0.849	0.689	0.679
2	0.584	0.660	0.670	0.745	0.514	0.483
4	0.383	0.591	0.513	0.559	0.289	0.285
9	0.113	0.380	0.197	0.291	0.092	0.092
15	-	0.104	-	-	-	-

bozunmasına pH etkisini göstermektedir. Şekilden de görüldüğü gibi düşük pH'a sahip karbonat çözeltisinde Hampene OH-3 H₂O₂ üzerine daha etkin olmakta ve H₂O₂ ömrünü önemli derecede artırmaktadır.

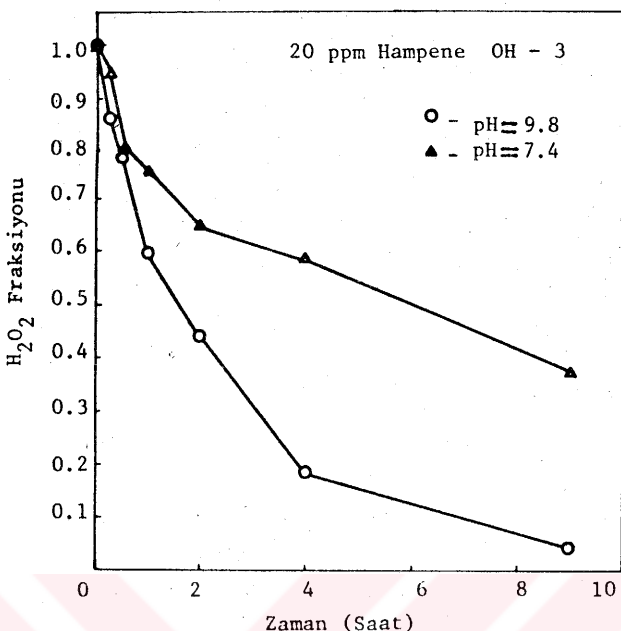
DEG kullanılarak yapılan denemelerin neticeleri grafiğe taşınırsa Şekil 3.17, 3.18 ve 3.19 daki eğriler elde edilir. Bu şekillerden görüleceği gibi DEG kelati ekstraksiyon boyunca



Şekil 3.14 Yüksek pH'a Sahip Karbonat Çözeltilisiyle Uranyum Ekstraksiyonunda Hampene OH-3 Kelatının H_2O_2 Bozunmasına Etkisi.

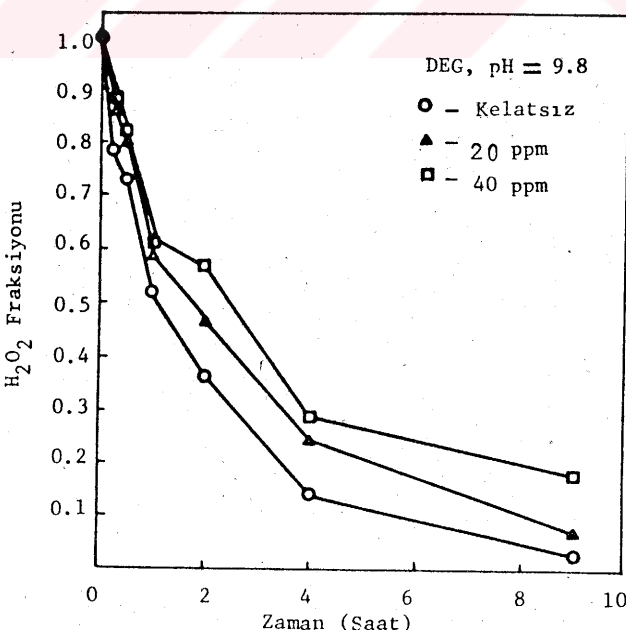


Şekil 3.15 Düşük pH'a Sahip Karbonat Çözeltilisiyle Uranyum Ekstraksiyonunda Hampene OH-3 Kelatının H_2O_2 Bozunmasına Etkisi.

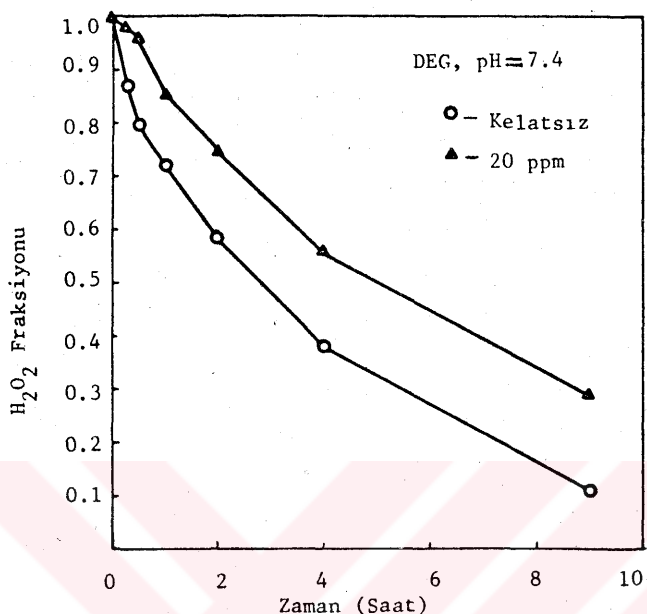


Şekil 3.16 Hampenene OH-3 Kelatı Mevcudiyetinde H₂O₂ Bozunmasına pH Etkisi.

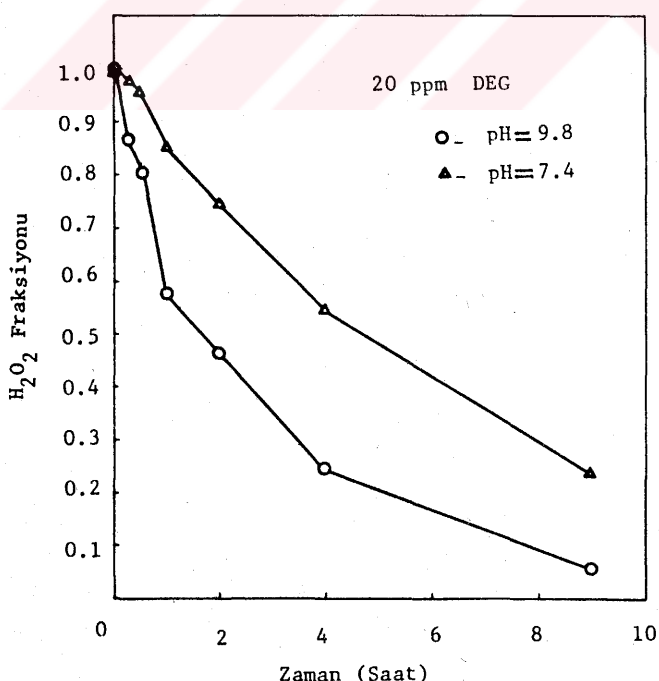
H₂O₂ stabilitesini olumlu yönde etkilemektedir. DEG konsantrasyonundaki artış H₂O₂ bozunmasını azaltmaktadır. Şekil 3.19'dan anlaşılabileceği üzere DEG kelatı Hampene OH-3 gibi düşük pH'da daha etkin olmaktadır.



Şekil 3.17 Uranyum Ekstraksiyonunda DEG Kelatininin H₂O₂ Bozunmasına Etkisi.



Şekil 3.18. Uranyum Ekstraksiyonunda DEG Kelatının H_2O_2 Bozunmasına Etkisi.



Şekil 3.19 DEG Kelati Mevcudiyetinde H_2O_2 Bozunmasına pH Etkisi.

Şekil 3.20 ve 3.21 sırasıyla çözelti pH'ı 9.8 ve 7.4 için hidroksiasetik asitin H_2O_2 bozunma hızı üzerine etkisini göstermektedir. Her iki grafikdeki eğrilerden görüldüğü gibi hidroksiasetik asidin H_2O_2 bozunma hızı üzerine herhangibir etkinliği olmamaktadır. Kelat olmaksızın yapılan deney sonuçları hidroksiasetik asit ilavesi ile yapılan deneme sonuçlarıyla hemen hemen aynı değerleri vermiş, eğriler Şekil 3.20 ve 3.21 de görüldüğü gibi çakışmıştır.

Hampene OH-3, DEG ve hidroksiasetik asitin H_2O_2 bozunmasına etkilerinin mukayesesi Şekil 3.22 de verilmiştir. İlk 2 saatte H_2O_2 üzerine Hampene OH-3 etkisi daha iyi olmasına karşın, 2. saatten sonra DEG'nin etkinliği daha yüksek olmuş 9. saatte H_2O_2 konsantrasyonu 2 mislinden daha yüksek seviyede kalmıştır.

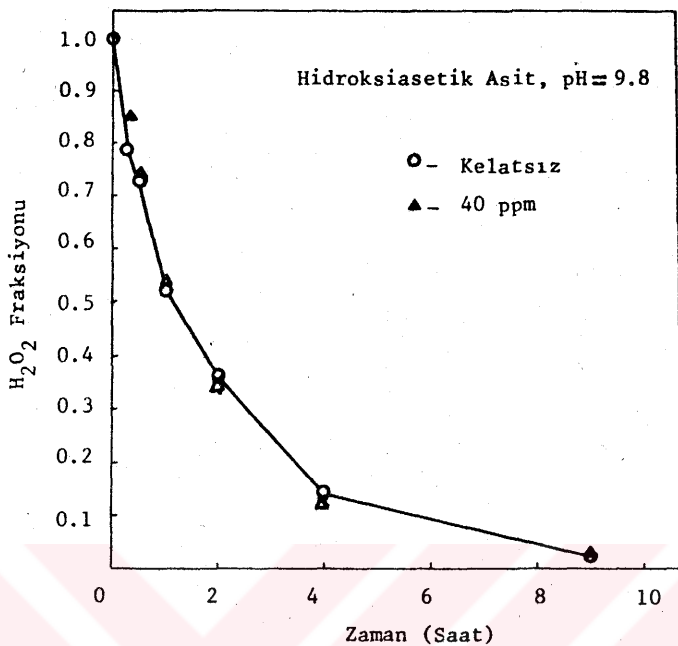
Ekstraksiyon esnasında H_2O_2 bozunma reaksiyonunun derecesini araştırmak üzere H_2O_2 bozunma reaksiyonu süresine karşı log C/Co değeri gelecek şekilde değerler grafiğe geçirilmiştir, Şekil 3.23. Bu şeviden görüleceği gibi kelatsız ve kelat ortamındaki H_2O_2 bozunması için ayrı eğimlere sahip doğrular elde edilerek bozunma derecesinin 1. dereceden olduğu gösterilmiştir. Bölüm 3.4 de yapılan denemelerde de H_2O_2 bozunmasının 1. dereceden olduğu anlaşılmıştır. Böylece H_2O_2 bozunma kinetiği her iki bölümde de uyum sağlamaktadır.

3.5.3. Uranyum Çözünürlüğü

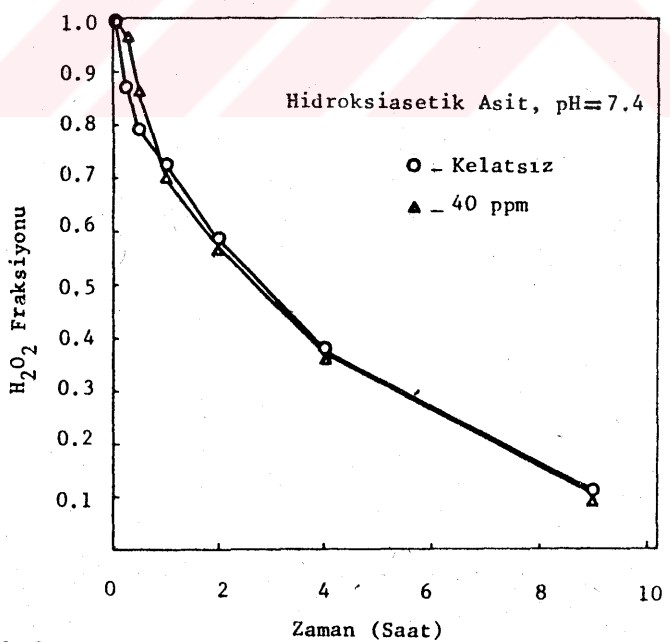
Bu kısımda hidrojen peroksitin, çözelti pH'nın ve demir kelatların uranyum çözünürlüğünne etkileri araştırılmıştır. Uranyum çözünürlüğünne hidrojen peroksit etkisini incelemek amacıyla kısım 3.5.3 de sözü edilen 12 ekstraksiyon denemesinin yanısıra 2 deneme daha yapılmıştır. Ekstraksiyon denemeleri esnasında belirli zamanlarda çözeltiden alınan numunelerde uranyum konsantrasyonu ölçümlü Bausch and Lomb Spectronic 100 tipi spektrofotometrede, bölüm 3.2.3 de verilen yönteme göre yapılmıştır.

3.5.3.1. Hidrojen Peroksit Etkisi

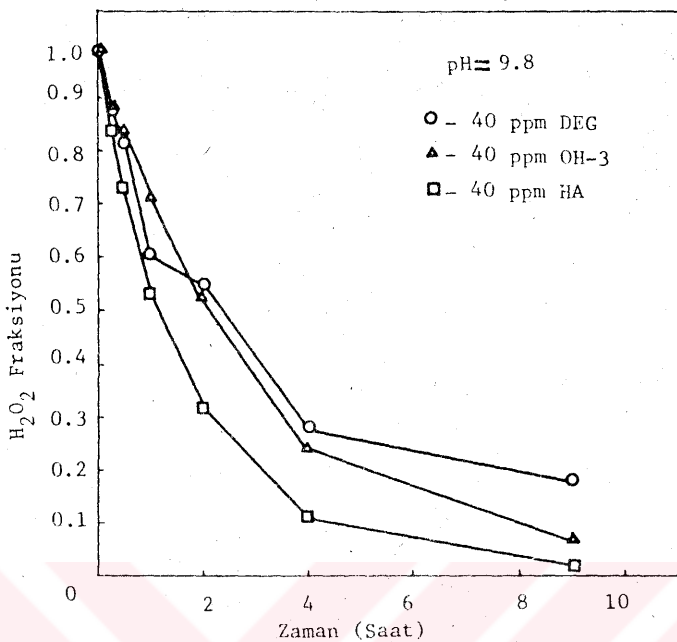
Hidrojen peroksitin sabit karbonat konsantrasyonunda uranyum çözünürlük hızına etkisini incelemek amacıyla iki ayrı ekstraksiyon denemesi yapılmıştır. Birinci ekstraksiyon denemesine H_2O_2 ilave edilmemiş, ikinci denemedede sisteme 1 g/l miktارında H_2O_2 ilave edilmiştir. Bu denemelerde Na_2CO_3 - $NaHCO_3$



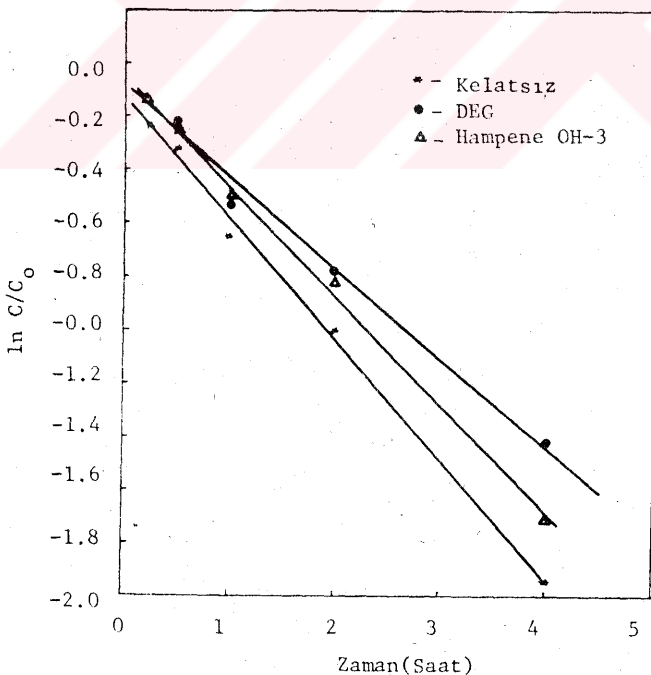
Şekil 3.20 Uranyum Ekstraksiyonunda Hidroksi Asetik Asitin H_2O_2 Bozunmasına Etkisi.



Şekil 3.21 Uranyum Ekstraksiyonunda Hidroksi Asetik Asitin H_2O_2 Bozunmasına Etkisi.



Şekil 3.22 H_2O_2 Bozunmasına Kelatların Etkisinin Karşılaştırılması.



Şekil 3.23 Uranyum Ekstraksiyonunda H_2O_2 Bozunması.

İçeren karbonat çözeltisi kullanılmış olup çözelti pH'ı 9.8 olarak ölçülmüştür. Na_2CO_3 - NaHCO_3 sisteminin kullanılmasının sebebi bu çözeltinin yüksek tampon kapasitesine ve sabit bir çözelti pH'ı muhafaza etme eğilimine sahip olmasındandır. Bu denemelerin neticeleri Tablo 3.6 da gösterilmiş ve ekstrakte edilmiş uranyum fraksiyonunun zamana karşı değişimi Şekil 3.24 de verilmiştir. Şekil 3.24 hidrojen peroksitin ekstraksiyon hızına önemli derecede etki ettiğini gösterir. 1 g/l gibi düşük miktarda H_2O_2 ilavesi uranyum çözünürlüğüne olumlu yönde etki etmektedir. Winkley (39) ile Carlson ve arkadaşları (27) yaptıkları araştırmada hidrojen peroksit konsantrasyonundaki artışın uranyum ekstraksiyon hızını artırdığını göstermişlerdir. Elde edilen neticelerin diğer araştırmacıların neticeleri ile uyum sağlamaşı hidrojen peroksitin oksitleyici olarak 3.2 nolu bölümde tanıtılan cevher tipi içinde önemini ortaya çıkarmıştır.

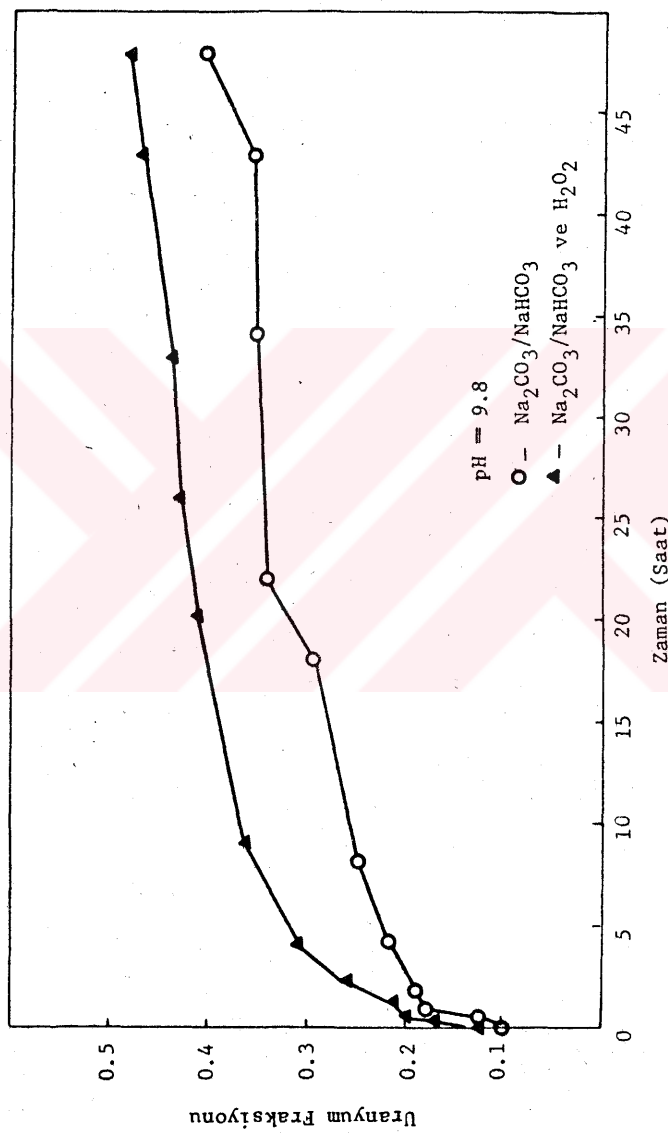
H_2O_2 ilavesiyle yapılan ekstraksiyon denemesini gösteren Şekil 3.24 deki üstteki eğri (\blacktriangle ile gösterilen), ilk 9 saatte kadar ekstraksiyon hızının çok hızlı olduğunu ve bu saatte kadar keskin bir yükselenmenin olduğunu gösterir. 9. saatten sonra ekstraksiyon hızı çok yavaş yükselme göstermektedir. Öte yandan kısım 3.5.4.1 de verilen değerler hidrojen peroksitin büyük bir kısmının ilk 9 saatte bozduğunu göstermektedir. Böylece Şekil 3.24 de ilk 9 saat içinde gözlenen yüksek ekstraksiyon hızının nedeni + 4 değerlikli uranyumun bu sürede hidrojen peroksit vasıtasiyla süratle oksitlenerek çözünebilmesi şeklinde açıklanabilir.

3.5.3.2. pH Etkisi

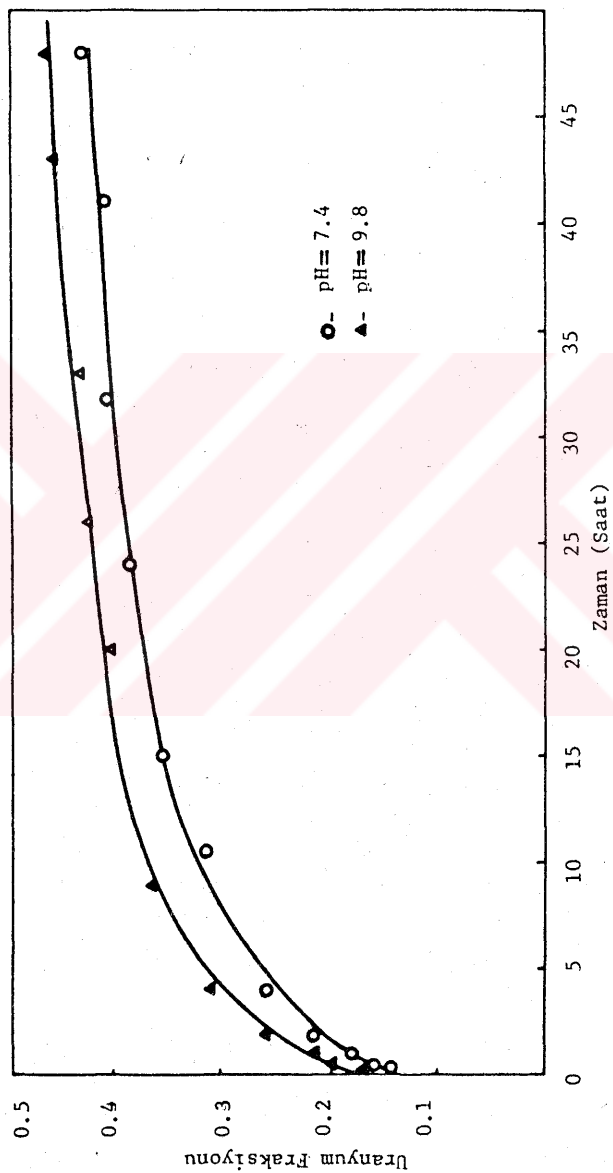
Cözelti pH'nın ekstraksiyon verimi üzerine etkisini inclemek amacıyla kısım 3.5.1 de anlatılan iki ayrı pH'a sahip karbonat çözeltisiyle ekstraksiyon denemesi yapılmış, her iki ekstraksiyon başlangıcında sisteme oksitleyici olarak 1 g/l miktارında H_2O_2 ilave edilmiştir. Bu denemelerin neticeleri Şekil 3.25 de verilmiştir. Bu şeķilden görüleceği üzere yüksek pH da H_2O_2 ilavesiyle ekstraksiyon işlemi düşük pH'a sahip karbonat çözeltisiyle ekstraksiyon işleminden daha avantajlıdır. Bu sonuç beklenilen bir neticedir. Zira daha önceki senelerde yapılan araştırmalarda gerek konvensiyonel uranyum ekstraksiyonu gerekse yerinde uranyum ekstraksiyonu proseslerinde karbonat çözeltileriyle çalışıldığında pH 9-10 aralığı optimum çalışma aralığı olarak tespit edilmiştir(27,33).

Tablo 3.6 Uranyum Konsantrasyon Değerleri (pH~10)

Zaman (Saat)	Ekstrakte Edilmiş Uranyum Fraksiyonu	
	0 g/1 H ₂ O ₂	1 g/1 H ₂ O ₂
0	0.09	0.09
0.16	0.108	-
0.25	-	0.171
0.50	0.126	0.199
0.75	0.179	-
1	-	0.216
1.75	0.188	-
2	-	0.260
4	0.215	0.313
8	0.250	-
9	-	0.366
18	0.294	-
20	-	0.409
22	0.338	-
26	-	0.423
33	-	0.436
34	0.355	-
43	0.370	0.470
48	0.398	0.479



Şekil 3.24 Ekstrakte Edilmiş Uranyum Fraksiyonunun Zamana Göre Değişimi.



Sekil 3.25. Uranium Verimine pH Etkisi.

3.5.3.3. Kelatların Etkisi

Ekstraksiyon denemeleri esnasında belirli zamanlarda çözeltiden numune alınarak H_2O_2 konsantrasyonu ölçümünün yanı sıra aynı numunelerde U_3O_8 konsantrasyon ölçümü yapılarak kelatların uranyum ekstraksiyonu verimine etkileri araştırılmıştır. Ekstrakte edilen uranyum fraksiyonunun zamana göre ölçümleri Tablo 3.7 ve 3.8 de verilmiştir. Elde edilen neticeler kullanılan kelatların uranyum ekstraksiyon verimine önemli derecede etkili olmadıklarını göstermektedir. Özellikle yüksek pH'a sahip karbonat çözeltisiyle yapılan ekstraksiyon denemelerinde gerek Hampene OH-3 gerekse DEG kelatlarının uranyum çözünürlüğüne etkinlikleri görülmemiştir. Düşük pH'a sahip çözeltiyle yapılan ekstraksiyon işleminde her üç kelat uranyum çözünürlüğüne az miktarlarda etkili olmaktadır.

3.5.4. Ekstraksiyon Denemeleri İçin Kütle Hesaplamaları

Gerçekleştirilen ekstraksiyon denemelerinin sağlaması mahiyetinde olmak üzere, her bir ekstraksiyon denemesinin bitiminde katı artık madde çözeltiden aşağıda anlatılan yöntem ile ayrılmış ve gerekli uranyum analizleri yapılmıştır. Bu değerlerden faydalananlarak yine aşağıda verilen hesaplama yöntemi kullanılarak uranyum kütle hesaplaması yapılmış ve ekstraksiyon işleminin doğruluğu yüzde olarak ifade edilmiştir.

A.Katı Artık Madde Ayırması: Ekstraksiyon işleminin bitiminde otoklav durdurularak iç kabı dışarı alınır. Katı madde Buchner hunisi kullanılarak çözeltiden ayrılır. Çözeltinin hacmi ölçülenerek, muhafaza edilir(filtrat). Buchner hunisindeki katı artık madde karbonat çözeltisiyle karıştırılır (katının sıvıya oranı 1/2 olacak şekilde), tekrar süzülür, yıkama çözeltisinin hacmi ölçülenerek muhafaza edilir (birinci yıkama). Katı madde distile su ile tekrar karıştırılır, yikanarak süzülür, yıkama suyunun hacmi ölçülen ve muhafaza edilir (ikinci yıkama). Buchner hunisi üzerindeki katı $100^{\circ}C$ de fırında bir gece bekletilir, kurutulur, tartılır ve miktarı kaydedilir. Bütün bu işlemlerden sonra yukarıda anlatılan her kademe de ele geçen sıvı ve katı maddede uranyum tayini yapılır.

B.Hesaplama Yöntemi : Yukarıda anlatılan işlemlerden sonra aşağıda verilen hesaplama yöntemiyle yüzde olarak ekstraksiyon işleminin doğruluğu saptanır.

Tablo 3.7 Uranyum Konsantrasyon Değerleri
(1 g/l H₂O₂, pH~10.0)

Zaman (Saat)	Sadece H ₂ O ₂	$f_{U_3O_8}$				
		OH-3 20 ppm	OH-3 40 ppm	DEG 20 ppm	DEG 40 ppm	HAA 40 ppm
0	0.08	0.09	0.09	0.09	0.09	0.09
0.25	0.171	0.180	0.178	0.170	0.172	0.169
0.50	0.198	0.207	0.208	0.205	0.205	0.207
1	0.216	0.225	0.220	0.220	0.218	0.221
2	0.260	0.268	0.265	0.260	0.265	0.270
4	0.313	0.315	0.315	0.314	0.316	0.320
8	-	-	0.356	0.358	0.358	-
9	0.366	0.366	-	-	-	0.370
13	-	-	-	-	-	0.407
17	-	-	0.392	0.389	0.390	-
20	0.409	0.418	-	-	-	-
24	-	-	-	-	-	0.425
25	-	-	0.425	0.420	0.429	-
26	0.427	0.427	-	-	-	-
32	-	-	-	-	-	0.440
33	0.436	0.444	0.435	0.435	0.436	-
41	-	-	-	0.460	0.460	-
43	0.461	0.465	0.465	-	-	-
48	0.470	0.487	0.480	0.475	0.477	0.479

Tablo 3.8 Uranyum Konsantrasyon Değerleri
(1 g/l H₂O₂, pH~7.5)

Zaman (Saat)	Sadece H ₂ O ₂	$f_{U_3O_8}$				
		OH-3 20 ppm	OH-3 40 ppm	DEG 20 ppm	DEG 40 ppm	HAA 40 ppm
0	0.08	0.09	0.09	0.09	0.09	0.08
0.25	0.144	0.141	0.146	0.142	0.144	0.140
0.50	0.162	0.162	0.165	0.170	0.171	0.160
1	0.180	0.179	0.179	0.180	0.195	-
2	0.215	0.216	0.216	0.216	0.242	0.230
4	0.259	0.260	0.259	0.260	0.295	0.270
8	0.321	0.322	0.322	0.330	0.347	0.350
11	-	-	0.338	0.339	0.374	0.374
15	0.356	0.364	-	-	-	-
17	-	-	0.373	0.364	-	-
20	-	-	-	-	0.399	0.400
21	-	-	0.390	0.398	-	-
24	0.391	0.408	-	-	-	-
28	-	-	0.410	0.405	0.417	0.415
32	0.408	0.434	-	-	-	-
41	0.417	0.438	-	-	-	-
42	-	-	-	-	0.440	0.435
48	0.435	0.443	0.445	0.440	0.443	0.440

Başlangıçta cevherdeki uranyum miktarı	$m_H C_H$	mg U ₃ O ₈
Katı artık maddedeki uranyum miktarı	$m_T C_T$	mg U ₃ O ₈
Filtrattaki uranyum miktarı	$\frac{V_F F}{1000}$	mg U ₃ O ₈
Birinci yıkamadaki uranyum miktarı	$\frac{V_{w1} C_{w1}}{1000}$	mg U ₃ O ₈
İkinci yıkamadaki uranyum miktarı	$\frac{V_{w2} C_{w2}}{1000}$	mg U ₃ O ₈
Ekstraksiyon esnasında belirli zamanlarda çözeltiden alınan numunelerdeki uranyum miktarı	$\frac{V_s}{1000} \sum_{i=1}^n C_{U_3O_8i}$... mg U ₃ O ₈

Ekstraksiyon çıkışında toplam uranyum miktarı = Katı artık madde + Filtrat + Birinci yıkama + İkinci yıkama + Numuneler

$$\% \text{Ekstraksiyon Doğruluğu} = \frac{\text{Ekst. girişindeki U}_3\text{O}_8 \text{ miktarı (mg)}}{\text{Ekst. çıkışındaki U}_3\text{O}_8 \text{ miktarı (mg)}} \cdot 100$$

Yapılan ekstraksiyon denemeleri için hesaplanan % ekstraksiyon doğruluğu Tablo 3.9 da verilmiştir. Bu tablodan göleneceği gibi kütle dengesi %89-96 mertebesinde kurulabilmektedir. Değerlerin %100 olmamasının sebebi şöyle açıklanabilir: Yukarıda ayrıntılı bir şekilde anlatıldığı gibi ekstraksiyon bitiminde üç defa yıkama ve süzme işlemi vardır. Tüm dikkate rağmen kayıpla sonuçlanma ihtimalinin yüksek olduğu bu kademe-lerin gerçekleştirilmesi esnasında ve uranyum konsantrasyon tayininde tabloda belirlenen oranda bir hata oluşу normal sınırlar içindedir.

Tablo 3.9 Kütle Dengesi Doğruluğu Değerleri

Kelat	Kelat Konsantrasyonu (ppm)	pH	Kütle Dengesi Doğruluğu, %
-	-	9.80	92.87
Hampene OH-3	20	9.82	92.07
Hampene OH-3	40	9.80	88.75
DEG	20	9.85	90.21
DEG	40	9.90	90.53
HAA	40	9.82	92.61
-	-	7.40	89.85
Hampene OH-3	20	7.50	94.35
Hampene OH-3	40	7.48	90.12
DEG	20	7.43	93.20
DEG	40	7.40	89.72
HAA	40	7.43	96.72

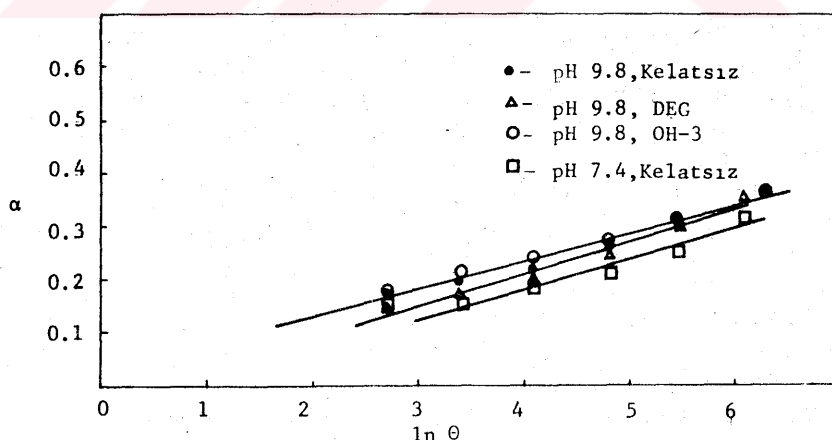
3.5.5. Sonuçların Değerlendirilmesi

Kısim 3.5.2 de elde edilen sonuçlar bazı demir kelatlarının karbonat çözeltisiyle yapılan uranyum ekstraksiyon işleminde hidrojen peroksitin stabilitesini artırma kapasitesine sahip olduğunu ortaya çıkarmıştır. Hidrojen peroksitin bozunma hızının yavaşlatılması yerinde uranyum ekstraksiyon yöntemi için iki açıdan önem kazanmaktadır. Birinci nokta şu şekilde izah edilebilir: Ekstraksiyon esnasında herhangi bir gaz veya habbe olması maden yatağında ve besleme kuyusundatıkana mala r sebep olduğundan yerinde ekstraksiyon prosesi için istenilmeyen bir durumdur. Hidrojen peroksitin bozunma reaksiyonu ile oksijen gazına dönüşmesi bu nedenle istenilmez. Dolayısıyla H_2O_2 ömrünün uzaması oksijen teşekkülüne geciktirecektir. Bu da hidrojen peroksitin oksitleyici olarak bu tür proste kullanılmasında üstünlük kazandırır. İkinci önemli nokta uranyum çözünürlüğünün yükselmesi ile ilgilidir. H_2O_2 stabilitesinin artması uranyum çözünürlüğünü artıracaktır. Zira H_2O_2 bozunması oksijen oluşumu ile neticelenecek, oksijenin + 4 degerlikli uranyumu oksitleme kapasitesi hidrojen peroksitten daha

düşük olduğundan ekstraksiyon verimi zayıflayacaktır.

Yapılan deneylerde düşük pH'a sahip ekstraksiyon çözeltisinde H_2O_2 stabilitesinin artışı şu şekilde açıklanır: Yüksek pH'in uranyum çözünürlüğüne olumlu etkisi bilinmektedir (38). Uranyum ekstraksiyonunda yüksek pH ile çalışıldığında uranyum cevheri daha fazla H_2O_2 tüketmektedir. Düşük pH'da daha az H_2O_2 tüketimi ise bu pH'da H_2O_2 'nin daha stabil olması demektir ve kullanılan kelatların düşük pH da H_2O_2 üzerine etkinliği artacaktır.

Gerek hidrojen peroksit bozunmasının incelendiği 3.5.2 de gerekse uranyum çözünürlüğünün incelendiği 3.5.2 nolu kısımda elde edilen sonuçlar uranyum ekstraksiyon işleminin iki farklı bölgede yürüdüğünü gösterir. Birinci bölge ilk 9 saatte gözlenen hızlı ekstraksiyon başlangıç bölgesidir. İkinci bölge ise ekstraksiyon hızının düştüğü, birinci bölgenin bittiği yerden başlayarak deneme zamanının sonuna kadar uzanan bölgedir. Birinci bölgedeki uranyum çözünürlük mekanizması hidrojen peroksitin mevcudiyetinde yürülmektedir. Tablo 3.7 ve 3.8 de verilen değerlerden faydalanılarak bu bölge içindeki uranyum dönüşümleri zamanın tabii logaritmasına karşı grafiğe geçirilirse Şekil 3.26 da gösterilen doğrular elde edilir. Şekil 3.26 dan hareketle birinci bölgdedeki uranyum çözünürlüğü için



Şekil 3.26 Ekstrakte Edilmiş Uranyum Fraksiyonunun Zamanının Logaritmasına Göre Değişimi.

$\alpha = A + B \ln \theta$ şeklinde logaritmik bir ifade türetilir. Burada A ve B sabitler olup sırasıyla ele geçen doğruların kayım ve eğimlerini verir. Bu tip bir model genellikle düşük sıcaklık ve oksijen varlığında metaller üzerindeki oksit tabakalarının büyümeye hızını açıklamakta kullanılır (54). Birçok metalde hızlı bir ilk oksitlenme ve stabil bir film oluştu izlenir, kısa süre sonra ise oksitlenme hızı çok yavaşlar. Oksit filminin kalınlığı ise genellikle $20-100 \text{ } \mu\text{m}$ kadardır. Bu olay metal yüzeyi ile adsorbe olmuş oksijen arasındaki potansiyel farkından dolayı oksit filmi içinde kuvvetli bir alan oluşumu ve bununda sıcaklığın fazla bir yardımı olmaksızın, metal iyonlarının oksit tabakasına doğru taşınmasını sağladığını şeklinde açıklanır. Mott (54) tarafından ilk defa açıklanan bu modelin yürütülen araştırma ile mukayesesi tam açık değildir. Ana fark potansiyeli sabitleştiren hidrojen peroksitin konsantrasyonunun bozunması sebebiyle hızla değişmesindendir.

İkinci bölgedeki uranyum çözünürlüğü mekanizması bütün H_2O_2 'nin otoklav içinde su ve oksijene bozunması olayı ile açıklanabilir. Bu bölgede ekstraksiyon hızının yavaşlaması şöyle izah edilir: Ekstraksiyon hızı hidrojen peroksitin bozunması ile meydana gelen oksijen tarafından kontrol edilmektedir. Daha önceden yapılan çalışmalarla, araştırmacılar, uranyum ekstraksiyonunda, oksitleyici olarak oksijen ve hidrojen peroksit kullanıldığında oksijenin $+ 4$ değerlikli uranyumu H_2O_2 'den daha düşük bir hızla oksitlediğini göstermişlerdir (10, 33, 36). Aynı araştırmacılar yaptıkları çalışmada uranyum çözünürlük hızının oksijenin kısmi basıncının $1/2$ inci kuvveti ile doğru orantılı olduğunu ispatlamışlardır. Bu sebeple ikinci bölgedeki uranyum ekstraksiyon hızının oksijen basıncının karekökü ile orantılı olduğu söylenebilir.

B Ö L Ü M 4

YERİNDE URANYUM EKSTRAKSİYONU YÖNTEMİYLE İLGİLİ TEORİK MODELLEME ÇALIŞMALARI

4.1. G İ R İ Ş

4.1.1. Matematik Modelle Gereksinim

Düşük tenörlü kıymetli madenleri ve enerji kaynaklarını yerinde değerlendirmeye prosesleri için gerçek saha uygulamasından önce yapılması gereken testler oldukça pahalıdır. Bu tür proseslerin laboratuar ölçüğinde simülasyonlarında çok zor olmaktadır. Ayrıca Şekil 1.1 de gösterildiği gibi yerinde değerlendirmeye prosesinde değerlendirilecek maden yatağının kendisi kimyasal reaktör görevi görmekte ve proses yeraltında gerçekleştirilmektedir. Dolayısıyle proses süresince prosesi gözleme ve gerekli ölçümleri yapma olağlığı kısıtlanmaktadır.

Yerinde değerlendirmeye proseslerinde yöntemin başarıyla yürütülebilmesi için besleme ve ürün alma kuyularının yerleri uygun bir şekilde tespit edilmeli ve bu kuyular arasındaki gözenekli (poröz) bölgede akışkanın akış yolu modellenebilmelidir.

Tüm bu nedenlerden dolayı yerinde değerlendirmeye yöntemlerini daha iyi anlamak için geliştirilmiş matematik modellere ihtiyaç vardır. Yukarıda kısaca izah edilen nedenlere cevap veren matematik model başlıca şu amaçlar için kullanılabilir:

- a. Laboratuar ve saha denemesinden elde edilen verilerin analizinde,
- b. Saha denemelerinde güvenilir şekilde ölçüyü mümkün olmayan değişkenlerin tahmin edilmesinde,
- c. Pahalı olan saha denemelerinin başarısızlıkla sonuçlanma ihtimalinin azaltılmasında,
- d. Mevcut verilerin, tamamıyla yeni veya hiç denenmemiş operasyon şartlarına uygulanmasında,
- e. Gerekli bilgilerin mümkün olabilen en kısa zamanda elde edilmesinde.

4.1.2. Yerinde Uranyum Ekstraksiyonunun Modellenmesi Konusunda Yapılan Çalışmalar

Yerinde uranyum ekstraksiyonu yöntemiyle ilgili gerek diferansiyel gerekse cebirsel denklemlerin tümünü içeren bir matematik modelleme bugüne kadar yapılamamıştır. Bommer ve Schechter(29) yerinde uranyum ekstraksiyonuna ait bir matematik model geliştirmiştirlerdir. Araştırmacılar çalışmalarında akış yolu (stream line)- konsantrasyon dengesi yaklaşımını kullanmışlar, alansal süpürme (areal sweep), uranyum konsantrasyonu değişimi, permeabilite değişimi ve diğer oksijen tüketici-leri mevcudiyetinin uranyum verimine etkilerini göstermişlerdir. Bommer ve Schechter'in geliştirdikleri model aynı zamanda sınırlı veya sınırsız bir rezervuar içindeki kuyu sistemi içinde geçerlidir. Aynı araştırmacılar daha sonraki yıllarda kuyu modellmesi üzerine çalışmışlar ve kuyu aralıklarının uranyum verimi ve oksitleyiciiden faydalananabilme üzerine etkilerini incelemiştirlerdir. Ayrıca formasyon permeabilitesindeki değişimin ve anizotropilerin dikkatli bir şekilde hesaba katılması gereken önemli faktörler olduğunu, bununla beraber kimyasal faktörlerin de ihmali edilemeyeceğini göstermişlerdir(55).

Yukarıda adı geçen araştırmacıların modellerine benzer bir çalışma Harloff ve Riese (30) tarafından gerçekleştirilmiştir. Bu araştırmacılar uranyum kütle korunumu diferansiyel denklemini kullanmışlar, sülfürük asit ile yerinde ekstraksiyon yapıldığını kabul ederek sistemi bir boyutlu olarak modellemişlerdir.

Yerinde uranyum ekstraksiyonu prosesi ve buna bağlı akifer yenilemesi sırasında ortaya çıkan akışkan akımı olayını simüle etmek amacıyla çok komponentli ve 3 boyutlu bir model de Kossack (56) tarafından geliştirilmiştir.

4.2. MODEL GELİŞTİRİLMESİ ve EŞİTLİKLER

Yerinde değerlendirme prosesinin modelini geliştirmek için önce global bir model geliştirilir sonra bu global model basitleştirilir. Global model, yerinde değerlendirme yöntemini tarifleyen tüm eşitlikleri ve dört bağımsız değişkeni (zaman ve geometrik boyutlar) içermek zorundadır. Adı geçen global modeli meydana getiren temel eşitlikler çeşitli fizik prensiplerinin birleştirilmesinden elde edilebilir. Bu eşitlikler şunlardır:

1. Kütlenin korunumu eşitliği,
2. Momentumun korunumu eşitliği,
3. Enerjinin korunumu eşitliği,
4. Darcy kanunu,
5. Hız eşitlikleri,
6. Hal denklemleri.

Yukarıda belirtilen eşitliklerin birleştirilmesiyle yerinde uranyum ekstraksiyonu prosesini tarifleyen iki temel diferansiyel denklem elde edilir. Bunlar uranyum kütle dengesini ve gözenekli ortamda akışkan akışını veren diferansiyel denklemlerdir.

4.2.1. Uranyum Kütle Dengesi

İki boyutlu kararsız hal uranyum kütle dengesini gösteren kısmi diferansiyel denklem aşağıdaki gibidir(29,57).

$$-u_x \frac{\partial c}{\partial x} - u_y \frac{\partial c}{\partial y} + \frac{\partial}{\partial x} (D_{xx} \frac{\partial c}{\partial x}) + \frac{\partial}{\partial y} (D_{xy} \frac{\partial c}{\partial y}) + \frac{\partial}{\partial y} (D_{yx} \frac{\partial c}{\partial x}) + \frac{\partial}{\partial y} (D_{yy} \frac{\partial c}{\partial y}) - R = \phi \frac{\partial c}{\partial t} \quad (4.1)$$

(4.1) eşitliğindeki terimler sırasıyla konveksiyon, dispersiyon, reaksiyon hızı ve birikim miktarlarını göstermektedir.

4.2.2. Gözenekli Ortamda Akışkan Akımı

Bölüm 1.1.2 de anlatıldığı gibi yerinde değerlendirmeye yöntemlerinin tatbikinde uygun çözümü, besleme kuyusundan maden yatağına beslenir, çözelti ise ürün kuyusundan yeryüzüne çekilir. Besleme kuyusu ile ürün alma kuyusu arasındaki gözenekli bölgede akışkan akımının modellenmesi ve bununla ilgili denklem takımlarının çözülmesi bu tür proseslerin uygulanabilirliği açısından önem taşımaktadır.

Süreklik denkleminden ve Darcy kanunundan hareket ederek gözenekli ortamda besleme ve ürün alma kuyularını içermek üzere iki boyutlu kararlı hal akış denklemi aşağıdaki gibidir(58,59).

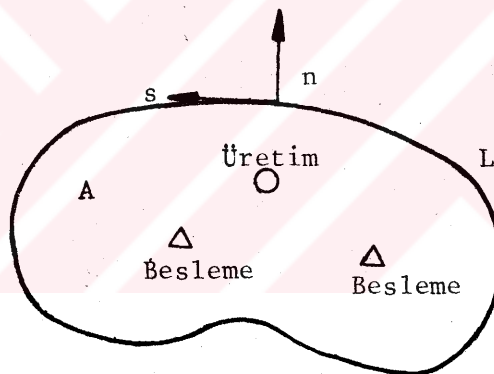
$$\vec{\nabla} \cdot \vec{q} = \sum_i Q_i \delta(x_i, y_i) \quad (x, y) \in A \quad (4.2)$$

$$\vec{q} \cdot \vec{n} = M(x, y) \quad (x, y) \in L \quad (4.3)$$

$$\vec{q} = K \vec{v} P \quad (4.4)$$

$$\int M(x, y) dL = \sum_i Q_i \quad (4.5)$$

Burada A kapalı ve bağlantılı bir bölgeyi (Şekil 4.1), L bu bölgenin sınırını, q akım vektörünü, Q_i besleme ve ürün alma debilerini, P basıncı, n sınıra dik yönde birim vektörünü, $M(x, y)$ sınır üzerindeki akımın normal bileşenini ve K hidrolik iletkenliğini göstermektedir.



Şekil 4.1 A Bölgesi(69).

Hidrolik iletkenlik K, aşağıdaki şekilde tariflenir:

$$K = \frac{kh}{\mu} \quad (4.6)$$

(4.6) Eşitliğinde k permeabilite, h yatak yüksekliği ve μ viskositedir. Hidrolik iletkenlik x, y ve z yönlerine bağlıdır. Gözenekli ortamın isotrop ve anisotrop oluşuna göre hesaplanabilir(58,60,61,62).

(4.2) Eşitliği, besleme ve üretim kuyularının bulunduğu

noktalar haricinde, A bölgesindeki her noktada hacimsel korunumu tarifler. Kuyuların yerleştiği noktalar (x_i, y_i) ile gösterilmektedir. $\delta(x_i, y_i)$, Dirac Delta fonksiyonu olup aşağıdaki şekilde tariflenir:

$$\delta(x_i, y_i) = \begin{cases} \infty & (x_i, y_i) \text{ noktasında} \\ 0 & \text{değilse} \end{cases} \quad (4.7)$$

veya

$$\iint_A F(x, y) \delta(x_i, y_i) dx dy = \begin{cases} F(x_i, y_i) \text{ şayet } (x_i, y_i) \in A \\ 0 \text{ degilse} \end{cases} \quad (4.8)$$

(4.3) Eşitliği (4.2) eşitliği için sınır şartını göstermektedir.

Bu bölümde teorik çalışma olarak, yukarıda verilen akışkan akımı ve bununla ilgili sınır şartları kapsayan kısmi diferansiyel denklemler, yeni bir yöntem olan Sınır Elemanları Yöntemi (Boundary Element Methods) kullanılarak nümerik olarak çözülmüştür.

4.3. SINIR ELEMANLARI YÖNTEMİ

"Sınır elemanlar" diye isimlendirilen metodun uygulanışı sırasında bir alanın dış yüzeyi, söz konusu fonksiyonun farklı şekillerde değişiklik gösterebileceği bir seri elemanlara bölünür. Bu teknikle önce, bilinmeyen fonksiyon sınır noktaları üzerinde hesaplanır. Bir kez fonksiyon dış yüzey boyunca elde edildikten sonra, fonksiyonun değerleri iç noktalarda da bu sınır değerleri kullanmak suretiyle kolayca bulunabilir.

Standart sonlu elemanlar işleminde ise, deneme fonksiyonları ile yaklaşık olarak bulunan bilinmeyen fonksiyon, süreklilik denklemini, ne genel bir alan içinde ve ne de sınırlar üzerinde tam olarak sağlayamaz. Laplace ve Poisson denklemleri eliptik türde kısmi diferansiyel denklemlerdir ve bu sebeple bu problemler sınır değer problemleri olarak nitelen-

dirilirler. Gerek sonlu farklar gerekse sonlu elemanlar metodalarındaki gibi sınır ve iç noktalar olmak üzere tüm alanı hesaplamalara esas almak yerine, mümkün olduğu kadar, sadece sınır verilerle hesaplama yapan sayısal bir teknik bulunabilir mi sorusunun cevabı sınır elamanları metodu ile cevaplanabilir.

Sınır metodları üzerine son senelerde çeşitli çalışmalar yapılmış ve yayınlanmıştır (63,64,65,66,67,68). Yapılan bu çalışmalarda yöntem "Sınır integral eşitliği metodu", "Sınır integral çözümleri" ve "Sınır elamanları metodu" gibi farklı isimler altında tanıtılmıştır. Özellikle 1977 yılından itibaren Brebbia ve arkadaşları (64,69,70,71,72,73,74) İngiltere Southampton Üniversitesi'nde bu yöntemle ilgili çalışmalarını gerçekleştirecek, eliptik şeklindeki kısmi diferansiyel denklemlerin en genel şeklinden biri olan Laplace denklemine ve elastisite problemine bu yöntemin uygulanabilirliğini göstermişlerdir.

Sınır elemanları metodu ile sonlu elamanlar metodu pek çok farklılıklara sahiptirler ve her birinin belirli üstünlükleri ve kısıtlamaları vardır. Sınır elamanları metodunda uygulanan yöntem, ağırlıklı olarak tekniklerinin (weighted residual techniques) özel bir uygulamasıdır. Ağırlıklı olarak formülasyonun kullanımının üstünlüğü, sadece özel bir tipdeki operatöre uygulanabilen klasik değişken prensiplerinden (classical variational principles) daha genel olmalarıdır(63). Sınır elemanları yöntemiyle sonlu elamanlar yönteminin karşılaştırılması aşağıda maddeler halinde gösterilmiştir(63.75):

Sonlu Elamanlar Metodu

1. Kompleks, lineer olmayan denklemler çözülebilir, analitik çözüm formlarına ulaşılması söz konusu değildir.
2. Katsayılar matrisi çok büyktür ve sıfırları çoktur(sparse matrix), bu sebeple bir yaklaşım problemi vardır.

Sınır Elamanları Metodu

1. İçinde uygun bir deneme fonksiyonunun yer aldığı, relativ olarak basit, homojen ve lineer problemlere sınırlıdır.
2. Katsayılar matrisi sıfırları olmayan bir matrisidir. Bu sebeple denklem sistemi kolayca çözülebilir.

3. Kompüter programı daha fazla adım ister.
4. Bilinmeyenlerin sayısı daha fazladır.
5. Singüleritiye sahip denklemlere çözüm vermez.
3. Kompüter programı daha az adım ister.
4. Sadece sınır üzerinde noktalar alındığından bilinmeyen sayısı daha azdır.
5. Singüleritiler metodun uygulanmasında zorluk yaratmaz.

4.4. HOMOJEN ORTAMDAKİ AKIŞ

4.4.1. Temel Bağıntıların Çıkartılması

Permeabilitenin, ortamdağı akışkan akışının yönünden bağımsız olduğu kabul edilirse(isotrop durum), (4.2) ve (4.4) eşitliklerinin birleştirilmesiyle

$$\nabla^2 P = \frac{1}{K} \sum_i Q_i \delta(x_i, y_i) \quad (4.9)$$

elde edilir,

$$\theta = \frac{1}{K} \sum_i Q_i \delta(x_i, y_i) \quad (4.10)$$

tarifinin yapılmasıyla (4.9) eşitliği sonuçta

$$\nabla^2 P - \theta = 0 \quad (4.11)$$

şekline dönüşür. Bu eşitlik Poisson eşitliği olarak bilinir.

Öte yandan (4.3) ve (4.4) eşitliklerinin birleştirilmesiyle

$$K \frac{\partial P}{\partial n} = M(x, y) \quad L \quad \text{Üzerinde} \quad (4.12)$$

olur ve böylece akışkan akımı denklemine uygun sınır şartı

$$\frac{\partial P}{\partial n} = \frac{M(x, y)}{K} = (\frac{\partial P}{\partial n})_L \quad L \quad \text{Üzerinde} \quad (4.13)$$

elde edilir.

Şayet ağırlık fonksiyonu w ile gösterilir ve ağırlıklı
artıklar yöntemi (69) (4.11) eşitliğine uygulanırsa

$$\int_A (\nabla^2 P - \theta) w dA = \int_L \left[\frac{\partial P}{\partial n} - \left(\frac{\partial P}{\partial n} \right)_L \right] w dL \quad (4.14)$$

eşitliği ele geçer. Bu eşitliğin sol tarafındaki birinci terim
Green Teoremine (76) göre iki defa integre edilirse

$$-\int_A \theta w dA + \int_A P \nabla^2 w dA = -\int_L \left(\frac{\partial P}{\partial n} \right)_L w dL + \int_L P \frac{\partial w}{\partial n} dL \quad (4.15)$$

olur.

Şimdi, w fonksiyonunu herhangibir i noktasındaki kon-
sanitre potansiyeli ifade eden denklemin temel çözümü olarak
kabul edelim.

$$\nabla^2 w + \delta^i = 0 \quad (4.16)$$

Burada δ Dirac Delta fonksiyonudur. Böylece (4.15) denklemi
" i " noktasında şu şekli alır :

$$-\int_A \theta w dA + \int_A P(-\delta^i) dA = -\int_L \left(\frac{\partial P}{\partial n} \right)_L w dL + \int_L P \frac{\partial w}{\partial n} dL \quad (4.17)$$

(4.16) eşitliğinin temel çözümü iki boyutlu ve üç boyutlu durumlar için sırasıyla

$$w = \frac{1}{2\pi} \ln \left(\frac{1}{r} \right) \quad (4.18)$$

$$w = \frac{1}{4\pi r} \quad (4.19)$$

şeklindedir (64,77). Burada r , birim basıncın uygulandığı noktanın, söz konusu noktaya uzaklığıdır.

Gerekli sadeleştirme yapılınrsa (4.17) eşitliği

$$\int_A \theta \omega dA + P^i + \int_L P \frac{\partial \omega}{\partial n} dL = \int_L \left(\frac{\partial P}{\partial n} \right)_L \omega dL \quad (4.20)$$

şekline dönüşür. (4.20) eşitliği genel bir eşitlik olup Şekil 4.1 de gösterilen A bölgesi içinde herhangi bir nokta için geçerlidir. Sınır elamanları yöntemine göre problemi formüllendirebilmek için eşitliğin sınır üzerinde değerlendirilmesi gereklidir. Böylece (4.20) eşitliği

$$c^i P^i + \int_L P \frac{\partial \omega}{\partial n} dL = \int_L \frac{\partial P}{\partial n} \omega dL - \int_A \theta \omega dA \quad (4.21)$$

olur. 64 ve 69 numaralı referanslarda Laplace denklemine sınır elamanları yönteminin uygulanışında geometrik olarak düzgün olan sınırlar için $c^i = 1/2$ olduğu gösterilmiştir. Şayet sınır düzgün değilse c^i sabiti (4.20) eşitliği ve potansiyelin sabit oluşu düşüncesinden hareketle tayin edilebilir.

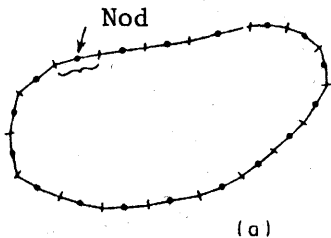
Şekil 4.2 de gösterildiği gibi A bölgesinin sınırı N tane doğru parçasına veya elamana bölündüğünde, bilinmeyen değerleri gösteren nodlar veya noktaların yerleştirilmesi sabit, lineer veya kuadratik elaman olmak üzere üç şekilde olabilir.

Bu çalışmada, her bir elamanda, P ve $\partial P / \partial n$ değişimi lineer kabul edilmiş ve lineer elaman tipindeki sınır elamları kullanılmıştır.

N tane elaman için (4.21) eşitliği aşağıdaki gibi yazılabilir:

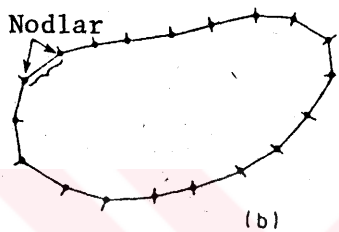
$$\frac{1}{2} P^i + \sum_{j=1}^N \int_{L_j} P \frac{\partial \omega}{\partial n} dL = \sum_{j=1}^N \int_{L_j} \frac{\partial P}{\partial n} \omega dL - \int_A \theta \omega dA \quad (4.22)$$

Lineer elamanlardan herhangi biri Şekil 4.3 deki gibi olsun. Bu elaman içinde herhangi bir noktada P ve $\partial P / \partial n$ değerleri bunların bulundukları noktadaki nodal değerleri ve lineer interpolasyon fonksiyonları N_1 ve N_2 cinsinden tariflenebilir.

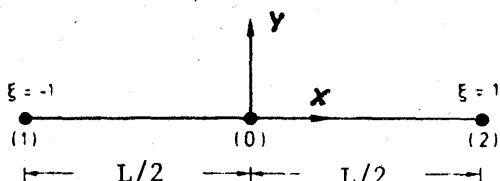
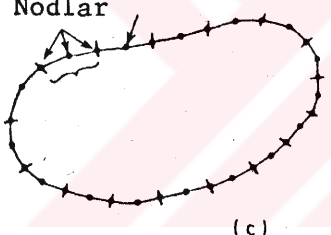


Şekil 4.2 Sınır Elemanlarının Uygulanış Şekilleri.

- a) Sabit Elemanlar
- b) Lineer Elemanlar
- c) Kuadratik Elemanlar(74).



Orta Eleman Nodu
Nodlar



Şekil 4.3 Lineer Eleman(69).

$$P(\xi) = N_1 P_1 + N_2 P_2 = [N_1 \ N_2] \begin{Bmatrix} P_1 \\ P_2 \end{Bmatrix} \quad (4.23)$$

$$\frac{\partial P}{\partial n}(\xi) = N_1 \left(\frac{\partial P}{\partial n} \right)_1 + N_2 \left(\frac{\partial P}{\partial n} \right)_2 = [N_1 \ N_2] \begin{Bmatrix} \left(\frac{\partial P}{\partial n} \right)_1 \\ \left(\frac{\partial P}{\partial n} \right)_2 \end{Bmatrix} \quad (4.24)$$

Burada ξ boyutsuz koordinatı göstermektedir ve N_1 , N_2 interpolasyon fonksiyonlarının değerleri şunlardır:

$$N_1 = \frac{1}{2} (1 - \xi) \quad (4.25)$$

$$N_2 = \frac{1}{2} (1 + \xi) \quad (4.26)$$

(4.22) eşitliğindeki integraller (4.23) ve (4.24) eşitliklerinin yardımıyla

$$\begin{aligned} \int_{L_j} P \frac{\partial \omega}{\partial n} dL &= \int_{L_j} [N_1 N_2] \frac{\partial \omega}{\partial n} dL \left\{ \begin{array}{l} P_1 \\ P_2 \end{array} \right\} \\ &= [h_{i_1} \ h_{i_2}] \left\{ \begin{array}{l} P_1 \\ P_2 \end{array} \right\} \end{aligned} \quad (4.27)$$

ve

$$\begin{aligned} \int_{L_j} \frac{\partial P}{\partial n} \omega dL &= \int_{L_j} [N_1 N_2] \omega dL \left\{ \begin{array}{l} (\partial P / \partial n)_1 \\ (\partial P / \partial n)_2 \end{array} \right\} \\ &= [g_{i_1} \ g_{i_2}] \left\{ \begin{array}{l} (\partial P / \partial n)_1 \\ (\partial P / \partial n)_2 \end{array} \right\} \end{aligned} \quad (4.28)$$

olur. Burada her bir j elamanı iki bileşene sahiptir:

$$h_{i_1} = \int_{L_j} N_1 \frac{\partial \omega}{\partial n} dL \quad h_{i_2} = \int_{L_j} N_2 \frac{\partial \omega}{\partial n} dL \quad (4.29)$$

ve

$$g_{i_1} = \int_{L_j} N_1 \omega dL \quad g_{i_2} = \int_{L_j} N_2 \omega dL \quad (4.30)$$

(4.22) eşitliğindeki $\int_A \theta \omega dA$ terimide aşağıdaki şekilde tariflenirse:

$$B_i \equiv \int_A \theta \omega dA = \frac{1}{K} \sum_k Q_k \omega |_{x_k, y_k} \quad (4.31)$$

aynı eşitlik

$$\frac{1}{2} p^i + [\bar{H}_{i_1} \bar{H}_{i_2} \dots \bar{H}_{i_N}] \begin{Bmatrix} p_1 \\ p_2 \\ \vdots \\ p_N \end{Bmatrix} =$$

$$[G_{i_1} G_{i_2} \dots G_{i_N}] \begin{Bmatrix} (\partial P / \partial n)_1 \\ (\partial P / \partial n)_2 \\ \vdots \\ (\partial P / \partial n)_N \end{Bmatrix} - b_i \quad (4.32)$$

şekline gelir. Burada \bar{H}_{ij} , j elamanının h_{ij} terimi ile ($j-1$) elemanın h_{ij} teriminin toplamına eşittir. Aynı durum G_{ij} için de geçerlidir. Bu durumda (4.32) eşitliği

$$\frac{1}{2} p^i + \sum_{j=1}^N H_{ij} p_j = \sum_{j=1}^N G_{ij} (\frac{\partial P}{\partial n})_j - b_i \quad (4.33)$$

olur. Düzgün sınır durumu için aşağıdaki eşitlikler tarifle-nirse :

$$H_{ij} = \bar{H}_{ij} \quad i \neq j \quad \text{için} \quad (4.34)$$

$$H_{ij} = \bar{H}_{ij} + \frac{1}{2} \quad i = j \quad \text{için}$$

Böylece (4.33) eşitliği sonuçta

$$\sum_{j=1}^N H_{ij} p_j = \sum_{j=1}^N G_{ij} (\frac{\partial P}{\partial n})_j - b_i \quad (4.35)$$

şekline dönüşmüş olur.

A bölgesi sınır üzerindeki noktalarında bilinmeyen potansiyel (basınç) değerleri yukarıda verilen (4.35) denklemiyle sayısal olarak hesaplanır. A bölgesi içindeki herhangi bir noktadaki değer ise (4.20) eşitliğinden faydalananılarak yazılan aşağıdaki eşitlikten hesaplanabilir:

$$p^i = - \sum_{j=1}^N \bar{H}_{ij} p_j + \sum_{j=1}^N G_{ij} (\frac{\partial P}{\partial n})_j - b_i \quad (4.36)$$

4.4.2. Örnek Problemin Tanımlanması

Bölüm 4.4.1 de özetlenen sınır elamanları yöntemi kullanılarak Şekil 4.4 de verilen örnek problem için akışkan akımı denklemi çözülmeye çalışılacaktır. Örnek problem olarak seçilen bölgenin boyutları 50×50 olup bölge içinde üç tane kuyu bulunmaktadır. Kuyuların her üçüde 3-spot kuyu modeline uygun olarak $x = 25$ hattı boyunca aşağıda verilen koordinatlara göre yerleştirilmiştir.

- 1 nolu kuyu koordinatı (25;17)
- 2 nolu kuyu koordinatı (25;27)
- 3 nolu kuyu koordinatı (25;33)

Şekilde gösterildiği gibi 1 nolu kuyu üretim kuyusu, 2 ve 3 nolu kuyular ise besleme kuyusu olarak görev yapmaktadır. Sınır elamanları metodunun bu tür problemlere uygulanabilirliğini ve geçerliliğini göstermek amacıyla Şekil 4.4 de verilen bölgenin boyutları aynı kalmak şartıyla besleme ve üretim kuyularının yerleşimi değiştirilmiş ve problem yeniden çözülmüştür.

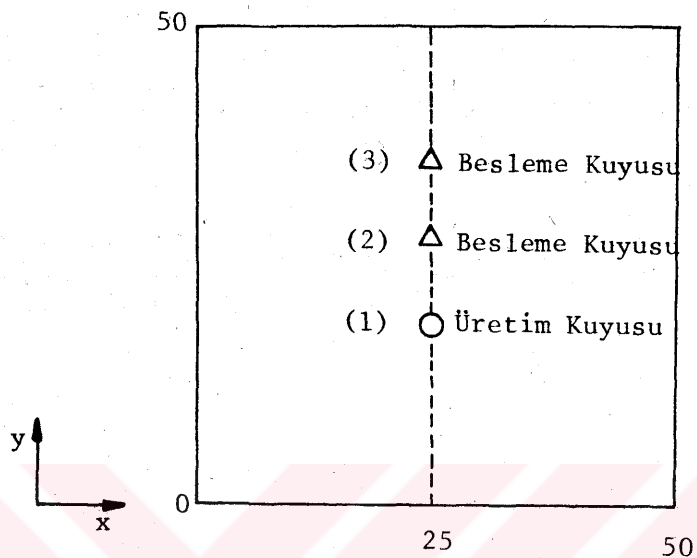
4.4.3. Çözüm Yöntemi

Şekil 4.5, önceki kısımda tanıtılan problemin sınırlarındaki dış noktalar ile bölge içindeki iç noktaları göstermektedir. Noktalar köşeler haricinde eşit uzaklıkta yerleştirilmiştir.

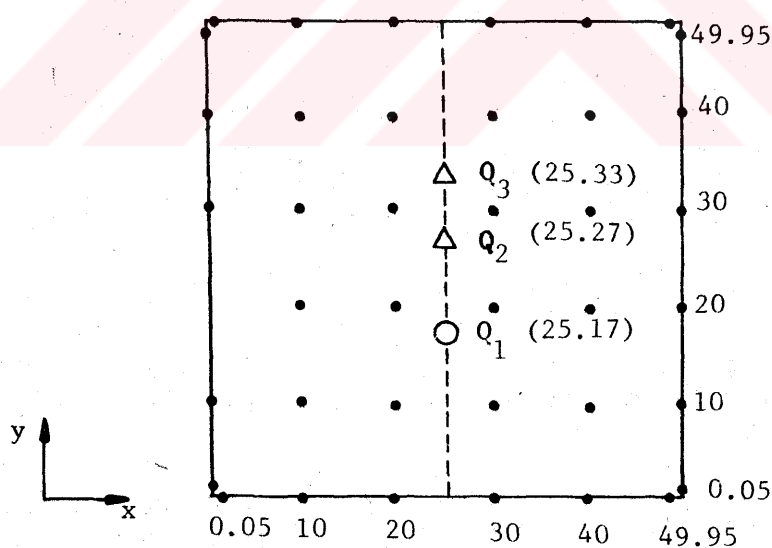
Brebbia ve Dominguez(64) sınır elamanları yönteminin Laplace denklemine uygulanabilirliğini ispatladığı çalışmada yöntemin dörtgen şeklindeki bölgelere tatbik edilirken köşelerde zayıf sonuçlar verdieneni, köşelere tek bir nod yerleştirilmesi yerine, köşeye yakın mesafede olmak üzere her iki kenara birer nod konulmasının daha yararlı olduğunu göstermiştir. Bu sebeple örnek problem için köşelere tek bir nod yerleştirilmemiş, şekilde gösterildiği gibi köşelere eşit uzaklıkta olmak üzere, her iki kenara ayrı ayrı birer nokta konulmuştur.

Sınır şartı olarak sınırlarda herhangi bir akımın olmadığı yani $\partial P / \partial n = 0$ olduğu varsayımdan hareketle (4.35) eşitliği

$$\sum_{j=1}^N H_{ij} P_j = - B_i \quad (4.37)$$



Şekil 4.4 Homojen OrtamdaKİ Akışa Ait Örnek Problem.



Şekil 4.5 Sınır Elemanları ve İç Noktalar.

şekline dönüşür. Bu eşitlik matris formu şeklinde aşağıdaki gibi yazılırsa

$$HP = B \quad (4.38)$$

elde edilir. Burada H katsayılar matrisini, P sınır üzerindeki noktalarda bilinmeyen vektörünü, B ise sağ taraf bilinen vektörünü göstermektedir.

H ile gösterilen katsayılar matrisini elde etmek için (4.29) eşitliğinden integraller 4-Nokta Gauss İntegrasyon kaidesi (78) kullanılarak hesaplanır. Bir boyutlu Gauss Integrasyon formülü

$$\int_{-1}^1 f(\xi) d\xi = \sum_{i=1}^4 s_i f(\xi_i) \quad (4.39)$$

olup, formüldeki ξ_i ve s_i değerleri Gauss Integrasyon formülleri tablosundan alınır.

(4.39) Eşitliği (4.29) eşitliklerine uygulanırsa

$$h_{i1} = N_1 \sum_{i=1}^4 \frac{d}{dn} \left\{ \ln \frac{1}{r_i} \right\} s_i \frac{\sqrt{(x_1 - x_2)^2 + (y_1 - y_2)^2}}{2} \quad (4.40)$$

$$h_{i2} = N_2 \sum_{i=1}^4 \frac{d}{dn} \left\{ \ln \frac{1}{r_i} \right\} s_i \frac{\sqrt{(x_1 - x_2)^2 + (y_1 - y_2)^2}}{2} \quad (4.41)$$

eşitlikleri elde edilir.

Sağ taraf vektörü, B ise (4.31) eşitliği ve besleme ile üretim kuyularına ait debi değerlerinden faydalananlarak hesaplanır.

Şekil 4.5 de verildiği gibi sınırlar üzerinde 24 tane nokta alınmıştır. Bu noktaların koordinatlarından ve Tablo 4.1 de verilen probleme ilgili değerlerden hareketle, yukarıda özetlenen hesaplama yolu kullanılarak, (4.38) eşitliğinden H matrisi ve B vektörü hesaplanır. Elde edilen 24 bilinmeyenli lineer denklem takımından bilinmeyen P basınçları çözülür.

Tablo 4.1 Örnek Problem İle İlgili Değerler

Üretim debisi, $Q_1 = 378 \text{ l/gün}$

Besleme debisi, $Q_2 = 189 \text{ l/dak}$

Besleme debisi, $Q_3 = 189 \text{ l/dak}$

Hidrolik iletkenlik, $K = 2034.3 \text{ l/gün.m}^2$

Sınır üzerindeki dış basınçlar bulunduktan sonra (4.36) eşitliğinden faydalananlarak Şekil 4.5 de gösterilen iç noktalardaki P değerleri hesaplanır.

Yukarıda özetlenen çözüm yöntemine uygun kompüter programı yapılarak, örnek problem için gözenekli ortamındaki akış denklemi nümerik olarak çözülmüştür. Programda kullanılan programlama dili FORTRAN olup, program CDC 760 bilgisayarında icra edilmiştir. Programının Makro-Akış diagramı Şekil 4.6 verilmiştir. Programda kullanılan Subroutine'ler ve görevleri şöyledir:

SUBROUTINE FUS : Program için gerekli tüm giriş değerleri bu alt program ile okutulmaktadır. Bu giriş değerleri: sınır elamanları, iç noktalar ve kuyu sayısı gibi temel parametreler ve bunların koordinatları; kuyu debileri; sınır şartı değerleridir.

SUBROUTINE FORM : (4.38) eşitliğindeki H matrisini ve B vektörünü hesaplar. H matrisinin elamanlarını hesaplamak için AKA alt programını çağırır.

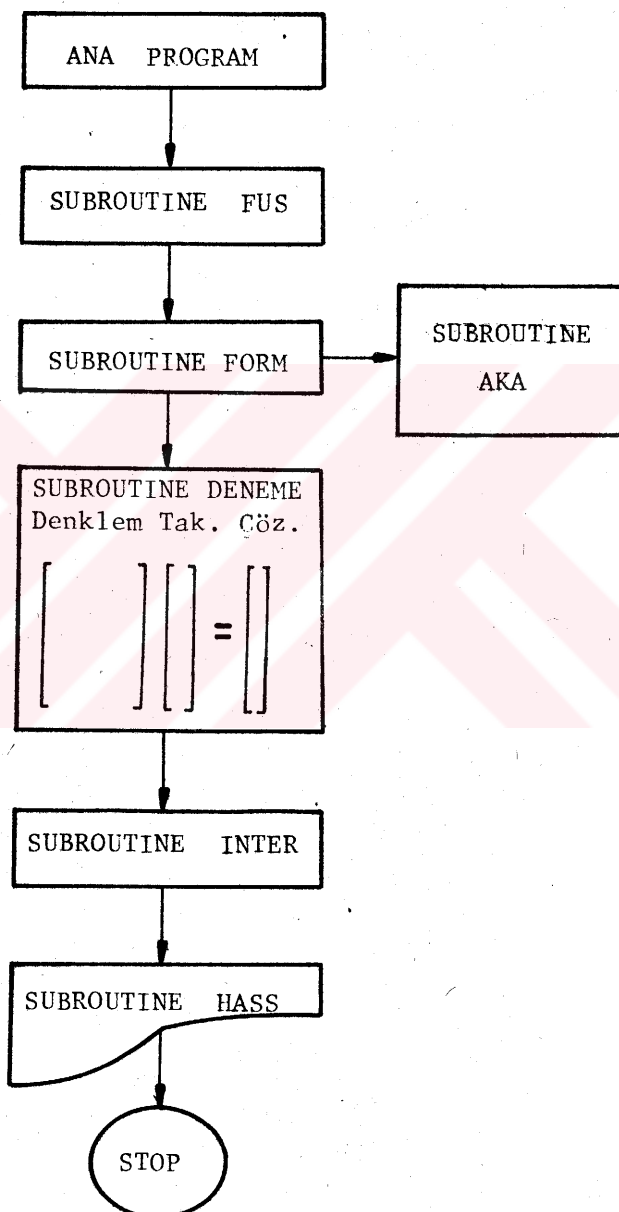
SUBROUTINE AKA : (4.40) ve (4.41) eşitlikleriyle gösterilen h_{11} ve h_{12} integrallerini 4-Nokta Gauss Integrasyon kaidesi ile hesaplar.

SUBROUTINE DENEME : Elde edilen lineer denklem takımını Gauss iterasyon yöntemiyle çözer(79,80).

SUBROUTINE INTER : Bu alt program bilinmeyen vektörünü tekrar düzenler ve (4.36) eşitliğini kullanarak iç noktalarda ki P değerlerini hesaplar.

SUBROUTINE HASS : Dış noktalarda ve iç noktalarda hesaplanan P değerlerini ve değerlerin tekrar denklem takımında

yerlerine atanmasıyla meydana gelen hata farkını çıkış olarak basar.

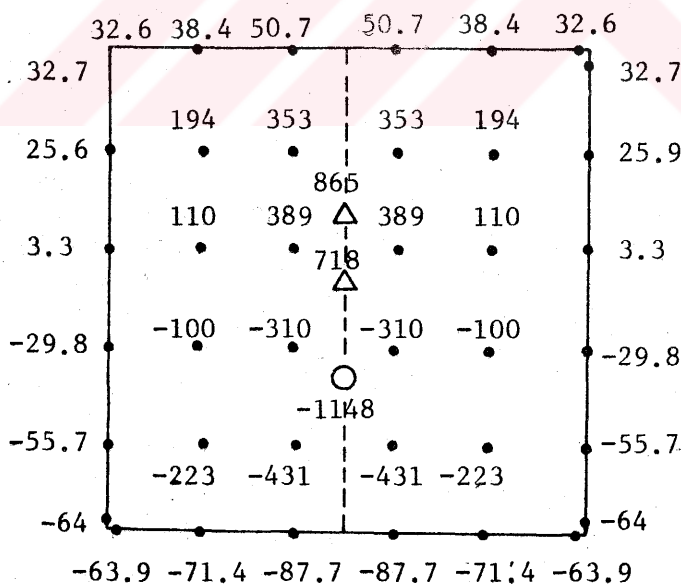


Şekil 4.6 Bilgisayar Programının Makro-AKİş Diyagramı.

4.4.4. Sonuçlar ve Değerlendirilmesi

Sınır elamanları yönteminin yukarıda açıklanan örnek probleme uygulanmasıyla elde edilen sonuçlar Şekil 4.7 de gösterilmektedir. Noktalardaki nümerik değerler, dış sınırlar, iç noktalar ve kuyular üzerindeki basınçları ifade etmektedir. Tahmin edileceği gibi, gerek sınırlar ve gerekse iç noktalardaki basınç değerlerinin, üzerinde kuyuların yer aldığı $x=25$ dikey doğrusuna göre simetrik olmaları beklenir. Çünkü besleme ve üretim kuyuları sadece, alanın tam ortasından geçen bir doğru üzerinde yer almaktadır. Şekil incelendiğinde bulunan basınç değerlerinde, $x=25$ dikey doğrusuna göre, tam bir simetriklik olduğu görülmektedir.

Şekil 4.7 de gösterildiği gibi basınç negatif ve en düşük değerini üretim kuyusunda almaktadır. Bu kuyudan ürünün çekilişi nedeniyle basınç uygulaması besleme kuyusuna nazaran ters yöndedir, besleme kuyusundaki basınç pozitif kabul edilir-



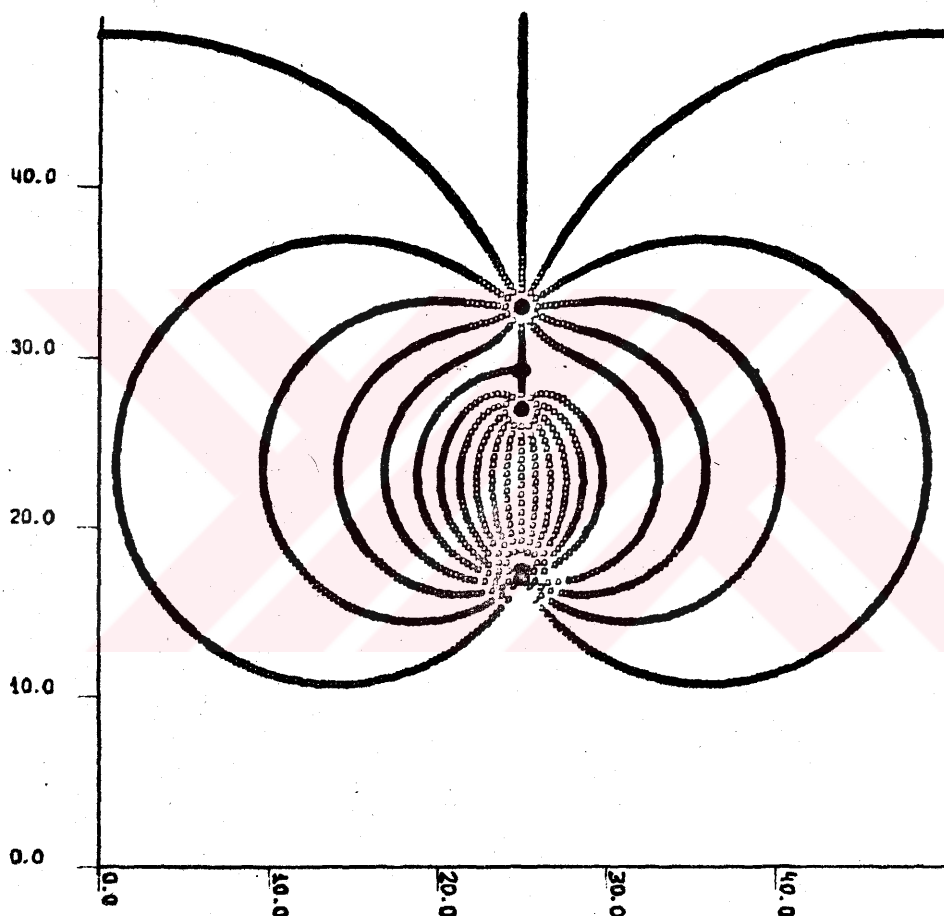
Şekil 4.7 Örnek Problem İçin Çözülen P Değerleri.

se, üretim kuyusunda negatif çıkması doğal ve beklenen bir sonuctur. Gene sekil, basincın en yüksek değerlerini besleme, en düşük değerini ise üretim kuyusunda aldığı göstermektedir. Akışkan akımı yüksek basınçtan düşük basınçca doğru olacağından ve burada da çözeltinin besleme kuyusundan üretim kuyusuna doğru akması beklenigidinden, bu sonuçta beklenene uymaktadır.

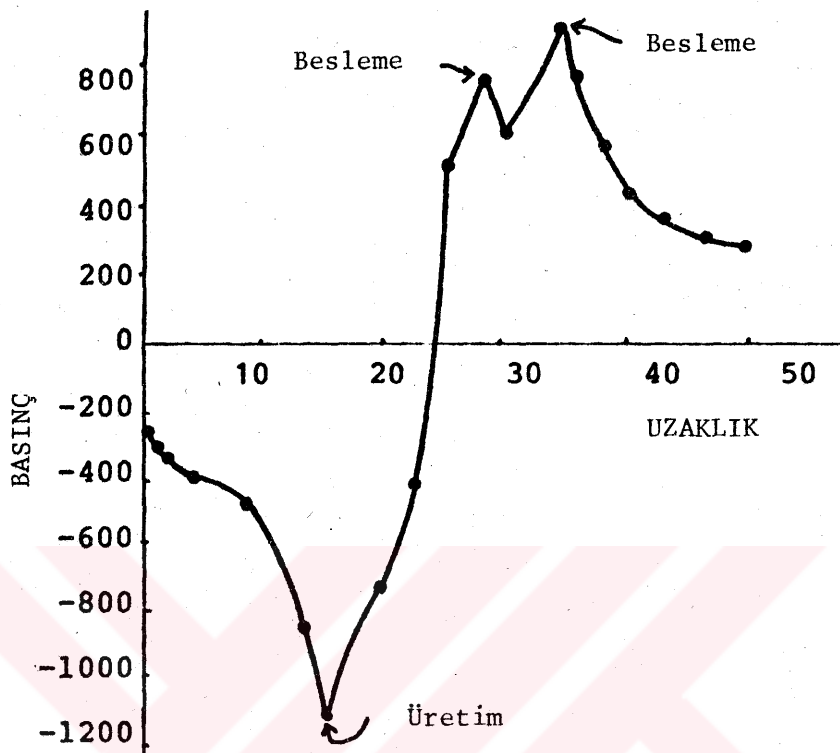
Sözü edilen örnek problemdeki bölgenin boyutları ve kuyuların koordinatları, TRACER(81) programına yüklenerek akım yolları bilgisayara çizdirilmiştir. TRACER paket programının neticesi Şekil 4.8 ile gösterilmektedir. Şekil 4.7 üzerinde yüksek basınçtan düşük basınçca olmak üzere akım yolları takip edilirse, bunların Şekil 4.8 ile tam bir uyum içinde olduğu görülür. Bu iki şeitin kıyaslanması ayrıca, $x=25$ dikey hattına göre simetriğin her ikisinde de mevcut olduğunu göstermektedir. Yani bu yöntemle elde edilen bu sonuçların TRACER'e bu denli uygunluk göstermesi sınır elamanları yönteminin başarıyla çalıştığını ispatlamaktadır.

Şekil 4.9 daki eğri, üzerinde kuyuların yer aldığı $x=25$ dikey doğrusu boyunca basınç değerlerinin uzaklığın bir fonksiyonu olarak çizilmesiyle elde edilmiştir ve (25,0) noktası ile (0,25) noktası arasındaki dikey doğru üzerindeki basınç dağılımını göstermektedir. Görüldüğü gibi eğri üç extremum noktasına sahip olup, besleme kuyularının bulunduğu noktalarda birer maksimumdan, üretim kuyusunda ise bir minimumdan geçmektedir ki buda elde edilen sonuçların tam beklenen değerler olduğunu ve kuyuların yerleşimine uygunluğunu ispatlamaktadır.

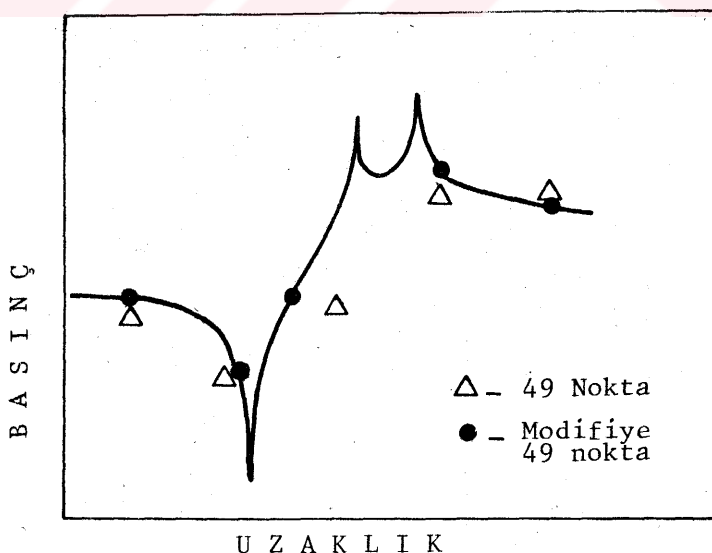
Ropper ve arkadaşları (59), gözenekli ortamda akışkan akımı denklemi bir petrol rezervuar problemine uygulayarak sonlu farklar yöntemiyle çözmüşlerdir. Elde ettikleri sonuçlar Şekil 4.10 da gösterilmiştir. Şekildeki eğri, üzerinde iki besleme ve bir üretim kuyusunun yer aldığı doğru boyunca basınç dağılımını göstermeye olup 729 grid noktası kullanılarak elde edilmiştir. Eğrinin incelenmesi, sonuçların doğru olduğunu ve denklem çözümünün başarıyla gerçekleştirildiğini göstermektedir. Ancak gerek dış sınırlar gerekse iç alanda olmak üzere 729 tane nokta alınarak hesaplama yapılmıştır ki, buda metodun uygulanışının uzunluğunu, pratik olmayışını ve herseyden önce bilgisayar kullanım açısından ekonomik olmayışını göstermektedir. Bunun üzerine araştırmacılar, problemi 49 grid noktası ile çözmeyi denemişler ve Şekil 4.10 da Δ işaretini ile gösterilen noktaları elde etmişlerdir. Görüldüğü gibi problem 49 nokta ile çözüldüğü zaman doğru olmayan sonuçlar ortaya çıkmakta, ku-



Şekil 4.8 Tracer Programının Neticesi (81).



Şekil 4.9 $x=25$ Hattı Boyunca İş Noktalardaki Basınç Dağılımını Eğrisi.



Şekil 4.10 Ropper ve Arkadaşlarının Sonuçları (59).

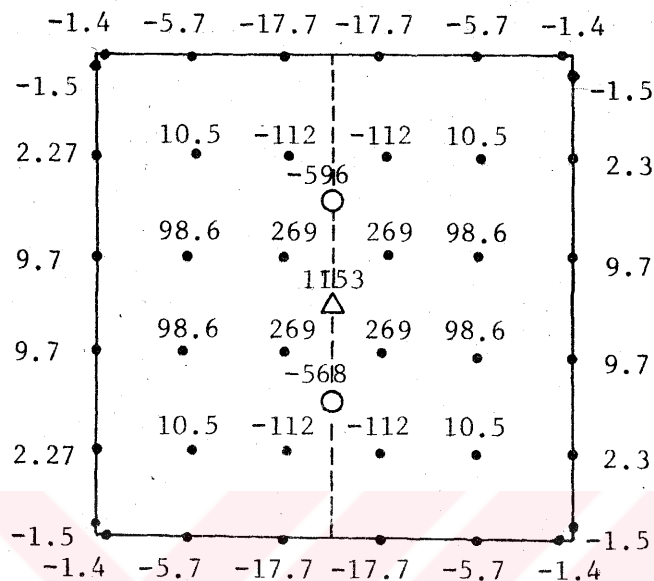
yuların yer aldığı noktalarda ise yöntem tamamen yetersiz kalmaktadır.

Aynı araştıracılar daha sonra çözüme esas aldıkları denklem takımını modifiye etmişler, nümerik ve analitik çözüm yöntemlerini birleştirmek suretiyle yeni bir teknik ile tekrar çözmeyi denemişlerdir ve Şekil 4.10 da ● ile gösterilen noktaları elde etmişlerdir. Görüldüğü gibi 49 grid noktasıyla her ne kadar ara noktalarda, önceki yönteme nazaran daha iyi sonuçlar elde ediliyorsa da metod kuyuların bulunduğu noktalarda ve civarlarında yetersiz kalmaktadır.

Böylece Şekil 4.9 ile Şekil 4.10 nun kıyaslanması sınır elamanları yönteminin üstünlüğünü bir kez daha ispatlamaktadır. Ancak 729 grid noktası ile gerçekleştirilen doğru çözüm, sınır elamanları ile sadece 24 tane sınır noktası kullanmak suretiyle çok daha kısa zamanda, bilgisayar depolaması ve icrası açısından daha ekonomik olarak ulaşımaktadır.

Çalışmanın bundan sonraki adımda, sınır elamanları yönteminin geçerliliğinin bir kez daha gösterilmesi amacıyla, örnek problemde yer alan kuyuların yerleri değiştirilerek çözüm tekrarlanmıştır. Bu kez $x=25$ dikey hattı üzerine iki üretim ve bir besleme kuyusu, besleme kuyusu bu dikey doğrunun tam ortası olan (25;25) noktasında, üretim kuyuları ise buna ve dış sınırlara eşit mesafedeki (25;12.5) ve (25;37.5) noktalarında olacak şekilde yerleştirilmiştir. Bu yeni durum için çözüm gerçekleştirildiğinde elde edilen sonuçlar Şekil 4.11 de verilmektedir. Bu halde, orijinal problemdeki $x=25$ düşey hattına göre birbirine simetrik basınç değerlerinin yanı sıra, $y=25$ yatay hattına görede iç ve dış noktalardaki basınç değerlerinde de bir simetriliğin gözlenmesi beklenmektedir. Şekil 4.11 den kolayca görüldüğü gibi besleme ve üretim kuyularının bu yeni durumu için hem iç hem de dış noktalardaki basınçlar, gerek $x=25$ ve gerekse $y=25$ doğrularına göre tam bir simetriye sahiptirler. Ayrıca, akım yolları takip edildiğinde akışkan akımının besleme kuyusundan üretim kuyularına dağıldığı ve bu akım yollarının modelinin tamamen beklenene uyduğu görülür.

Bu bölümde elde edilen tüm sonuçlar ve onların değerlendirilmesi göstermektedir ki, homojen bir ortam söz konusu olduğunda sınır elamanları teknigi, yerinde değerlendirme yöntemlerinin modellenmesi sırasında, kuyu yerlerinin tespiti ve



Şekil 4.11 Besleme ve Üretim Kuyularının Değiştirilmesi Sonucu Elde Edilen P Değerleri.

akım yollarının belirlenmesinde kullanılabilen emin ve sağlıklı bir yöntemdir.

4.5, HETEROJEN ORTAMDAKİ AKIŞ

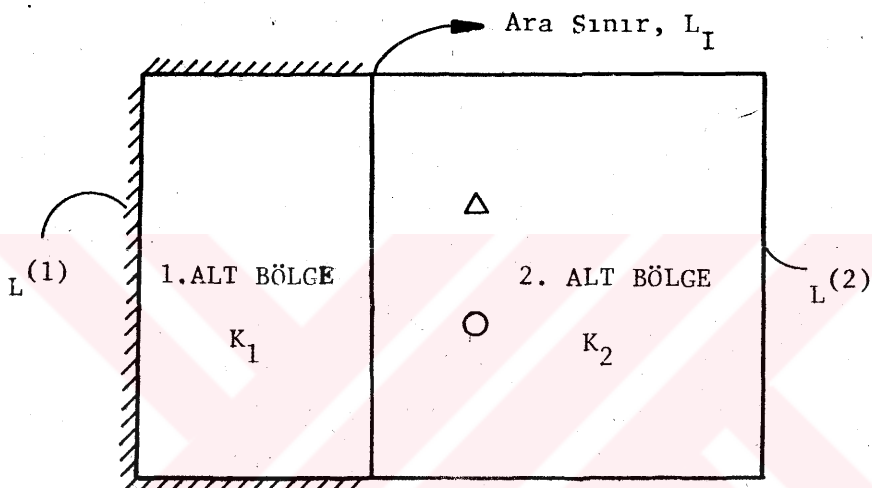
4.4 nolu bölümde gözenekli ortamın homojen bir bölge olduğu kabul edilerek temel bağıntılar çıkartılmış, çözüm yöntemi gösterilmiş ve örnek problemlerle elde edilen sonuçlar verilmiştir. Bundan sonraki bölümde 4.4 nolu bölüme benzer olarak sınır elamanları metodу homojen olmayan bir bölgeye sahip olunması durumuna uygulanmaya çalışılacaktır. Eğer çalışan bölge homojen değilse, o zaman bu bölgeyi her biri kendi içinde ayrı özelliklere sahip alt bölgelere (subregion) bölmek gerekecektir.

Bu bölümde yapılan çalışmalarda, denklemler iki alt bölgenin mevcut olması hali için türetilicektir. Daha fazla sayıda bölgelerin mevcut olması halinde formüllerin türetilmesi benzer yol izlenerek gerçekleştirilebilir(69,74,82).

4.5.1. Temel Bağıntıların Çıkartılması

Homojen olmayan ortam söz konusu olduğunda 4.4.1 nolu

bölümde türetilen (4.35) eşitliğinin her bir alt bölgeye ayrı ayrı uygulanması gereklidir. Heterojen ortamın aşağıda, Şekil 4.12 de gösterildiği gibi iki alt bölgeye sahip olduğu düşünülsün. 4.4.1 bölümündeki gibi denklemlerin çıkartılmasına başlamadan önce şekilde gösterilen alt bölgelere ait fonksiyonların tanımlanması faydalı olacaktır.



Şekil 4.12 İki Alt Bölgeye Sahip Heterojen Bölge.

p¹, p² : 1. ve 2. alt bölgelerin dış sınırları (L⁽¹⁾, L⁽²⁾) üzerindeki basınçlar.

p_I¹, p_I² : L_I ara sınırlındaki 1. ve 2. alt bölgeye ait oldukları kabul edilen basınçlar

($\frac{\partial P}{\partial n}$)¹, ($\frac{\partial P}{\partial n}$)² : Dış sınırlar üzerindeki basınç türevleri

($\frac{\partial P}{\partial n}$)_I¹, ($\frac{\partial P}{\partial n}$)_I² : L_I ara sınırlındaki basınç türevleri.

Homojen ortamındaki akış durumu için türetilen sınır elamanları metodu eşitliğinin genel şekli aşağıda verildiği gibi dir:

$$B + HP = G \frac{\partial P}{\partial n} \quad (4.42)$$

Bu denklemin 1. ve 2. alt bölgelere uygulanması ile

$$B^1 + [H^1 H_I^1] \left\{ \begin{matrix} P^1 \\ P_I^1 \end{matrix} \right\} = [G^1 G_I^1] \left\{ \begin{matrix} (\partial P / \partial n)^1 \\ (\partial P / \partial n)_I^1 \end{matrix} \right\} \quad (4.43)$$

ve

$$B^2 + [H^2 H_I^2] \left\{ \begin{matrix} P^2 \\ P_I^2 \end{matrix} \right\} = [G^2 G_I^2] \left\{ \begin{matrix} (\partial P / \partial n)^2 \\ (\partial P / \partial n)_I^2 \end{matrix} \right\} \quad (4.44)$$

elde edilir.

İki alt bölgeyi birleştiren L_I ara sınırı için aşağıda verilen sınır şartları uygulanabilir:

$$P_I^1 = P_I^2 = P_I \quad (4.45)$$

$$Q_I^1 = - Q_I^2 = Q_I \quad (4.46)$$

(4.46) eşitliğindeki Q_I , L_I ara sınır boyunca, 1. alt bölgeden 2. bölgeye akan akımın miktarını göstermektedir ve aşağıdaki gibi tanımlanır:

$$Q_I = Q_I^1 = K_1 \left(\frac{\partial P}{\partial n} \right)_I^1 \quad (4.47)$$

(4.46) eşitliğine benzer olarak

$$K_1 \left(\frac{\partial P}{\partial n} \right)_I^1 = - K_2 \left(\frac{\partial P}{\partial n} \right)_I^2 \quad (4.48)$$

veya

$$(\frac{\partial P}{\partial n})_I^1 = (\frac{\partial P}{\partial n})_I \quad (4.49)$$

tarifiyle sonuçta

$$(\frac{\partial P}{\partial n})_I^2 = - \frac{K_1}{K_2} (\frac{\partial P}{\partial n})_I \quad (4.50)$$

elde edilir.

Orijinal problemin sınır şartlarını oluşturmak üzere, tüm basınç türevlerinin sayısal değerlerinin, dış sınır üzerinde verilmiş olduğu kabul edilsin. Bu durumda,

$$(\frac{\partial P}{\partial n})^1 = (\frac{\partial P}{\partial n})_L^1 \quad L^{(1)} \text{ üzerinde} \quad (4.51)$$

$$(\frac{\partial P}{\partial n})^2 = (\frac{\partial P}{\partial n})_L^2 \quad L^{(2)} \text{ üzerinde} \quad (4.52)$$

olacaktır.

(4.45), (4.49) ve (4.50) eşitlikleri (4.43) ve (4.44) eşitlikleriyle birleştirilirse aşağıdaki eşitlikler ele geber:

$$B^1 + [H^1 H_I^1 - G_I^1] \begin{Bmatrix} P^1 \\ P_I \\ (\frac{\partial P}{\partial n})_I \end{Bmatrix} = [G^1] \{ (\frac{\partial P}{\partial n})^1 \} \quad (4.53)$$

$$B^2 + [H^2 H_I^2 - G_I^2] \begin{Bmatrix} P^2 \\ P_I \\ - \frac{K_1}{K_2} (\frac{\partial P}{\partial n})_I \end{Bmatrix} = [G^2] \{ (\frac{\partial P}{\partial n})^2 \} \quad (4.54)$$

Şekil 4.12 de gösterilen iki alt bölge için ayrı ayrı çıkarılan (4.53) ve (4.54) numaralı eşitlikler tüm bölgeyi kapsamak üzere birleştirilirse

$$\begin{bmatrix} H^1 & H_I^1 - G_I^1 & 0 \\ 0 & H_I^2 & \frac{K_1}{K_2} G_I^2 - H^2 \end{bmatrix} \begin{Bmatrix} P^1 \\ P_I \\ \left(\frac{\partial P}{\partial n}\right)_I \\ P_2 \end{Bmatrix} =$$

$$\begin{bmatrix} G^1 & 0 \\ 0 & G^2 \end{bmatrix} \begin{Bmatrix} \left(\frac{\partial P}{\partial n}\right)^1 \\ \left(\frac{\partial P}{\partial n}\right)^2 \end{Bmatrix} - \begin{Bmatrix} B^1 \\ B^2 \end{Bmatrix} \quad (4.55)$$

Yukarıdaki eşitlik, iki alt bölgenin dış sınırları ve L_I ara sınır üzerindeki basınçlarla, aynı noktalardaki basınç türevlerini hesaplamak üzere çözülecek olan denklem takımını göstermektedir. Her bir alt bölge için H ve G matrisleri, homojen bölge durumu için açıklanan algoritma izlenerek suretiyle hesaplanır. Bundan sonraki adım ise, ele geçen sıfırı elamanlara sahip denklem sistemini, bilinen nümerik çözüm yöntemleriyle çözmeye çalışmaktadır. Burada belirtilemesi gereken bir nokta (4.55) eşitliğinin verilen bölgeye ait sınır şartlarına göre yeniden derecelendirilmesinin önemidir.

4.5.2. Örnek Problemin Tanımlanması.

Heterojen ortamdaki akış denkleminin çözümü için seçilen örnek problem Şekil 4.13 de gösterilmiştir. Şekilden görüldüğü gibi 50×50 boyutundaki bölge üç alt bölgeden meydana gelmiş, besleme ve üretim kuyuları ortadaki bölgede yer almıştır. Şekil 4.13 de ayrıca alt bölgelerin ve kuyuların koordinatları gösterilmiştir.

Homojen ortamdaki akış durumu için seçilen örnek problemde olduğu gibi, sınır elamanları metodunun şekilde verilen heterojen ortamlara uygulanabilirliğini göstermek için probleme ilgili sınır şartları, kuyuların ve sınır üzerindeki noktaların koordinatları değiştirilerek problem bu hallerin herbiri için yeniden çözülmüştür.

4.5.3. Çözüm Yöntemi

Şekil 4.14 önceki bölümde tanıtılan üç alt bölgeye sahip heterojen yapıdaki bölgenin dış sınırları ve bölgeler arasındaki sınırlar üzerinde alınan noktaları göstermektedir.

Dış sınırlarda akım olmadığı varsayılırsa problem için sınır şartları

$$(\partial P / \partial n)^1 = 0, (\partial P / \partial n)^2 = 0 \text{ ve } (\partial P / \partial n)^3 = 0$$

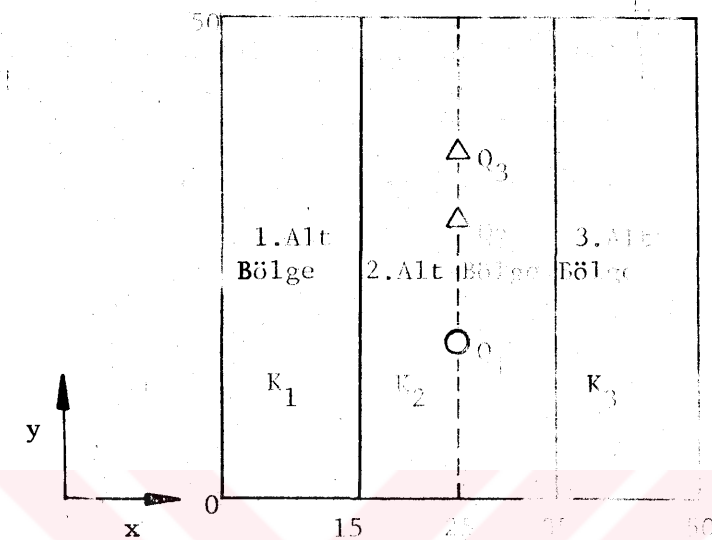
olacak ve (4.55) eşitliğinin sağ tarafındaki birinci terim ortadan kalkacaktır. Birinci ve üçüncü alt bölgelerde kuyu olmadığından (4.55) eşitliğindeki sağ taraf vektörü, B içinde B^1 ve B^3 değerleri sıfır olacaktır.

4.4.3 Nolu bölümde yapılan işlemlere benzer olarak önce H ve G matrislerinin elamanları hesaplanır. Hesaplamada integraller 4-Nokta Gauss Integrasyon kaidesine göre değerlendirilir. G matrisi elamanları için, Gauss Integrasyon kaidesinden faydalananarak elde edilen, aşağıdaki denklem kullanılır:

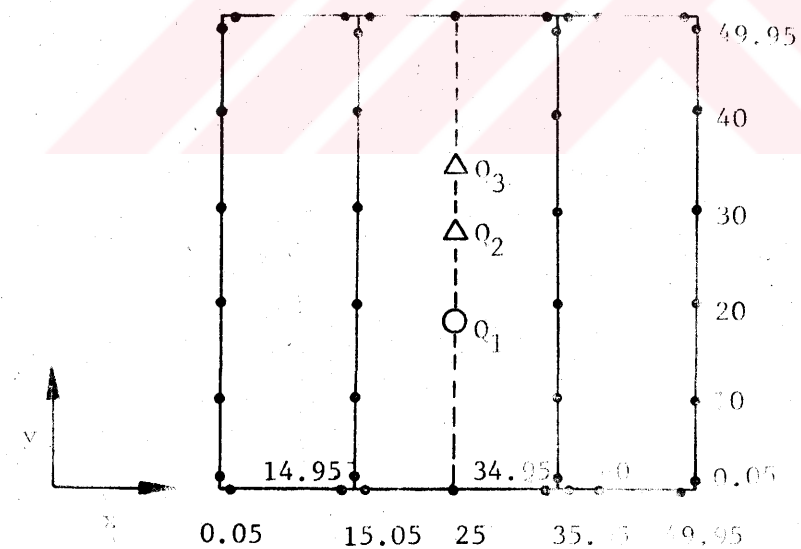
$$G = \sum_{i=1}^N \ln \frac{1}{r_i} w_i \sqrt{\frac{(x_1 - x_2)^2 + (y_1 - y_2)^2}{2}} \quad (4.56)$$

H ve G matrislerinin hesaplanmasıından sonra bunlar birleştirilerek aşağıda verilen denklem sistemi elde edilir:

$$\begin{bmatrix} H^1 & H_{I1,2}^1 - G_{I1,2}^1 & 0 & 0 & 0 & 0 \\ 0 & H_{I1,2}^2 & \frac{K_1}{K_2} G_{I1,2}^2 & H^2 & H_{I2,3}^2 - G_{I2,3}^2 & 0 \\ 0 & 0 & 0 & 0 & H_{I2,3}^3 & \frac{K_2}{K_3} G_{I2,3}^3 + H^3 \end{bmatrix} \begin{Bmatrix} P^1 \\ P_{I1,2} \\ (\frac{\partial P}{\partial n})_{I1,2} \\ P^2 \\ P_{I2,3} \\ (\frac{\partial P}{\partial n})_{I2,3} \\ P^3 \end{Bmatrix} = \begin{Bmatrix} 0 \\ B^2 \\ 0 \end{Bmatrix} \dots (4.57)$$



Sekil 4.13 Heterojen Ortamındaki Akış Ait Örnek Problem.



Sekil 4.14 Dış ve İç Sınırlardaki Elemanlar.

(4.57) Eşitliğindeki katsayılar matrisi sıfırı elamanlara sahip olup genel de "sparse matris" formundadır. Eşitlikteki bilinmeyen vektörü, dış sınırlar üzerindeki basınçları, iç sınırlar üzerindeki basınçlar ve basınç türevlerini içermektedir.

Yukarıda özetlenen çözüm yöntemine uygun 1100 karta sahip komüter programı yapılarak heterojen yapıdaki ortam için akış denklemi nümerik olmak çözülmüş, sınır elamanları yönteminin bu tür problemlere uygulanmasında karşılaşılan önemli noktalar aydınlatılmıştır. Programın makro-akış diagramı Şekil 4.15 de verilmiştir. Programda kullanılan subroutine'ler ve içerikleri aşağıda özetlenmiştir:

SUBROUTINE FATM : Program için gerekli tüm giriş değerleri bu alt program ile okunur.

SUBROUTINE YAP : ÇÖZÜM ve YARDIM alt programlarıyla hesaplanan H ve G matrislerini COMAT alt programıyla Şekil 4.16 da gösterildiği şekilde katsayılar matrisi olarak düzenler. Ayrıca SUBROUTINE RIGHT'i çağırarak sağ taraf vektörünü hesaplar.

SUBROUTINE ÇÖZÜM : 4-Nokta Gauss Integrasyon kaidesi ile H ve G matrislerini hesaplar.

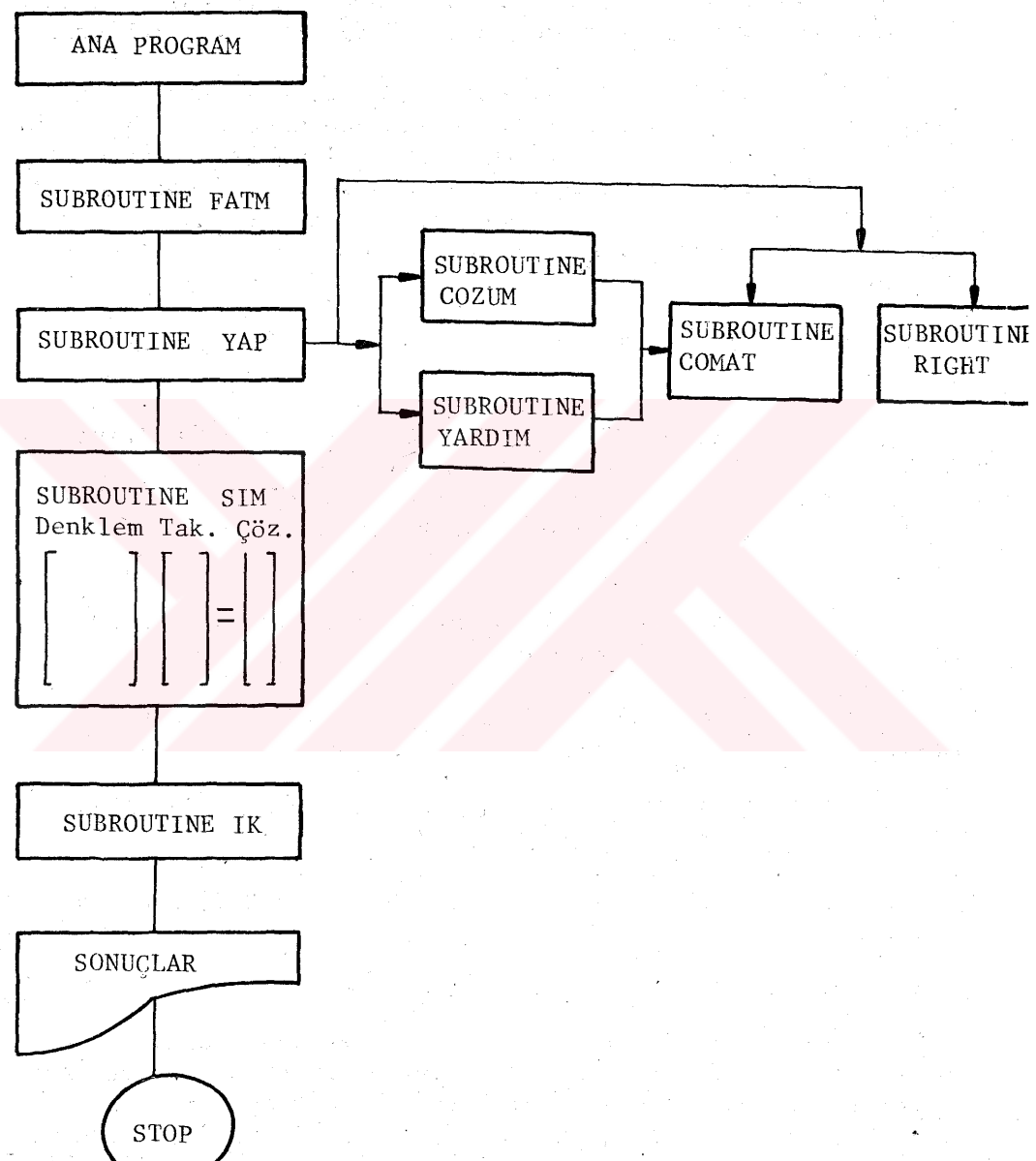
SUBROUTINE YARDIM : Diagonal üzerindeki G matrisi elamanlarını hesaplar.

SUBROUTINE SIM : Elde edilen denklem takımını Gauss Eliminasyon yöntemine göre çözer (79).

SUBROUTINE IK : Her bir alt bölgeye ait iç noktalardaki P değerlerini hesaplar.

4.5.4. Sonuçlar ve Değerlendirilmesi

Sınır elamanları yönteminin, heterojen ortamdaki akışkan akımı ile ilgili olan yukarıdaki örnek probleme uygulanması sonucu elde edilen denklem takımının katsayılar matrisi sparse matris(sıfırı elamanları çok olan) olup 2704 elaman ve bunlar içinde 1390 tane sıfır'a sahiptir. Bilindiği gibi dış sınırlarda akım olmayışı sınır şartı varsayılarak elde edilen bu lineer denklem takımının yukarıda sözü edilen katsayılar matrisi sıfırı elamanlarının çöküğünün yanı sıra stabil



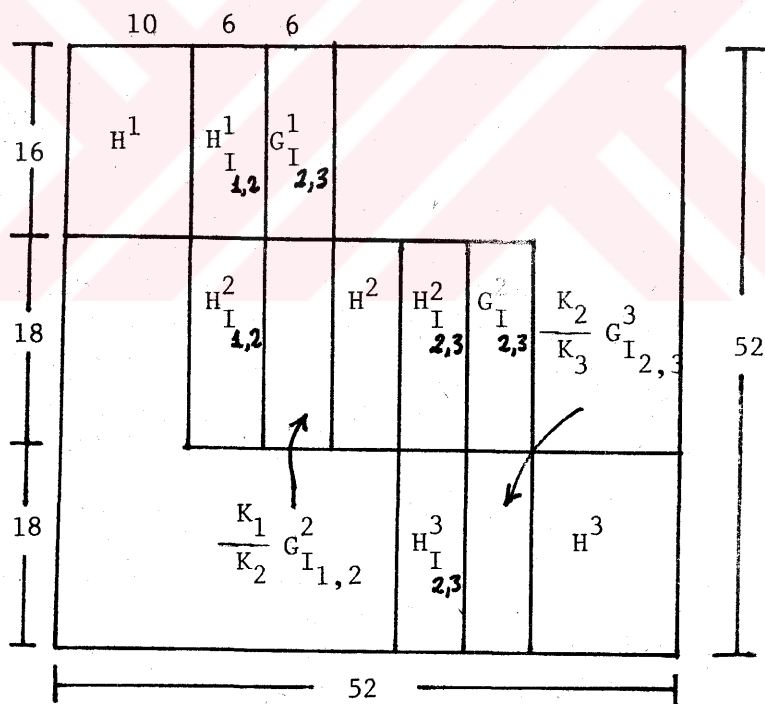
Şekil 4.15 Bilgisayar Programının Makro-AKİş Diyagramı.

olmayan bir yapıda göstermektedir. Dış ve ara sınırlar üzerindeki basıncıları elde etmek üzere bu denklem takımının çözümünü gerçekleştirmek amacıyla öncelikle eliminasyon yöntemiyle çalışan iki ayrı program denenmiştir. Bunlardan birisi Gauss eliminasyonunu esas alan SIMQ(79) ve diğer ise özellikle sparse matrisler için geliştirilen YALEPACK(83,84,85) programlarıdır. Her iki programla elde edilen basınçların değerleri çok büyük olup, doğruluklarından şüphe edilmesi üzerine eliminasyon yöntemlerinin böylesine kompleks bir sistem için çalışmayacağına ve iterasyon tekniklerinin denenmesine karar verilmiştir. Bu amaçla da önce Gauss-Seidel (80) iterasyon yöntemi ve daha sonra ITPACK (86,87) adlı çeşitli iterasyon tekniklerini içeren bir bilgisayar paket program kullanılmıştır. Fakat elde edilen basınçların makul ölçüler içinde olmayan değerleri iterasyon yöntemlerinin de bu koşullar altında çalışmayaçağı sonucunu yaratmıştır. Böylelikle, dış sınırlarda akım olmayışı şeklindeki bir sınır şartı varsayıarak bu problemin çözülemeyeceğine karar verilmiş ve bu şartın değiştirilerek çözümünün tekrarlanması yoluna gidilmiştir.

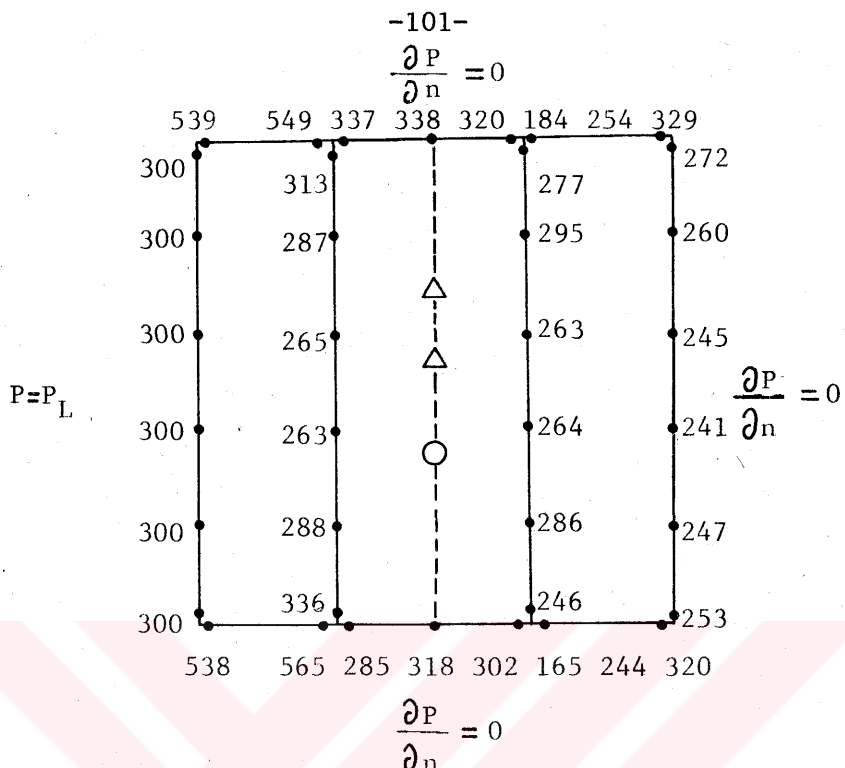
Probleme esas alınan yeni sınır şartlara göre $x=0$ düşey sınırı boyunca basıncın P_L gibi sabit bir değere sahip olduğu, diğer üç sınır boyunca ise orijinal problemdeki gibi akışın olmayışı yani $\partial P / \partial n = 0$ şartının uygulandığı varsayılmıştır. Yeni durum için elde edilen denklem takımı Gauss eliminasyonu yöntemiyle kolaylıkla çözülmüş ve beklenen P değerleri elde edilmiştir. $x=0$ dış sınırı boyunca $P = P_L = 300$ şartının mevcut olduğu kabulüyle, diğer üç sınır ve ara sınırlar boyunca elde edilen basınç değerleri Şekil 4.17 de gösterilmektedir. Şekilden görüldüğü gibi, üzerinde besleme ve üretim kuyularının yer aldığı ve söz konusu alanın ortasından geçen $x=25$ dikey hattına göre, gerek dış ve gerekse ara sınırlar üzerindeki basınçlar arasında simetriklilik mevcuttur.

Homojen ortamda olduğu gibi, burada da metodun geçerliliğini göstermek amacıyla kuyuların yerleşimi değiştirilerek problemin çözümü tekrarlanmıştır. Bu yeni durumda $x=25$ hattının tam ortasına, (25;25) noktasına, bir besleme ve buna eşit uzaklıktaki (25;12.5) ve (25;37.5) noktalarına birer üretim kuyusu yerleştirilmiştir. Problemin bu hali için elde edilen sonuçlar Şekil 4.18 de sunulmakta ve önceden bekendiği gibi gerek $x=25$ ve gerekse $y=25$ doğrularına göre birbirine simetrik olan basınç değerlerinin bulunduğu gözlenmektedir.

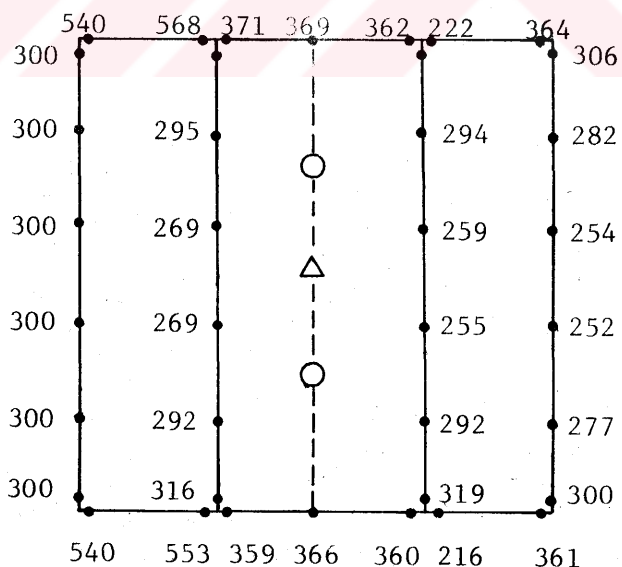
Şekil 4.17 ve Şekil 4.18'in incelenmesinden görüleceği gibi bulunan basınç değerlerinde simetriliğin oluşу koşulu sağlanmaktadır. Bununla birlikte, gerek dış gerekse iç sınırların birleştiği köşeler etrafındaki noktalar birbirlerine çok yakın uzaklıkta olmalarına rağmen bunlar üzerindeki P değerlerinin beklendiği kadar uygun olmadığı görülmektedir. Oysaki homojen ortam halinde böyle bir problemle karşılaşılmamış, köşe noktalarındaki P değerlerinde tam bir uyum elde edilmiştir. Heterojen ortam söz konusu olduğunda şekillerden açıkça görüldüğü gibi, lineer elamanlar esasına göre çalışan sınır elamanları yöntemi köşelerde yetersiz kalmaktadır. Bu durumda, lineer elamanlar yerine daha yüksek dereceli elamanların denenmesi veya sınır elamanları yönteminin sonlu elamanlar yöntemiyle kombinasyonundan doğacak bir tekniğin kullanılması gerekmektedir.



Şekil 4.16 Katsayılar Matrisinin Formu.



Şekil 4.17 Heterojen Ortam İçin Elde Edilen P Değerleri.



Şekil 4.18 Kuyuların Değiştirilmesi Sonucu Elde Edilen P Değerleri.

BÖLÜM 5

GENEL SONUÇLAR

A) 3.Bölümde sunulan deneylerin neticeleri ve değerlendirilmeleri temel alınarak aşağıdaki sonuçlara ulaşılmıştır:

1. Yerinde uranyum ekstraksiyonu yöntemiyle uranyum rezervlerinden uranyum eldesinde karnotit ve uraninit yapısındaki cevher tipi için çözücü olarak karbonat sistemleri asidik sistemlere göre daha üstündür.
2. Hidrojen peroksit, yerinde uranyum ekstraksiyonu yöntemi için, uranyum ekstraksiyon verimini daima olumlu yönde etkileyen uygun bir oksitleyicidir. Prosesde kullanımındaki tek sakınca, kısa bir zamanda su ve oksijene ayırmasıdır.
3. Yüksek pH'a sahip (~ 10) karbonat çözeltisinde hidrojen peroksitin su ve oksijene bozunma kinetiği birinci dereceden olup, çok küçük konsantrasyonlarda demir mevcudiyeti bu bozunmayı hızlandırmaktadır. Demir mevcudiyetinde karbonat çözeltisindeki hidrojen peroksitin bozunma hızı Hampene OH-3, DEG, EDTA gibi kelatlar kullanarak yavaşlatılabilir.
4. Karbonat çözeltisiyle uranyum ekstraksiyonu işleminde oksitleyici olarak kullanılan hidrojen peroksitin stabilitesine Hampene OH-3, Hampshire DEG kelatları olumlu, hidroksiasetik asit olumsuz etki etmektedir. Kelat konsantrasyonundaki artış hidrojenperoksit bozunma hızındaki yavaşlamayı artırmaktadır. Böylece hidrojen peroksitin yerinde uranyum ekstraksiyonu yönteminde oksitleyici olarak kullanımı esnasında ortaya çıkan kolaylıkla bozunma sakincası ortadan kaldırılmıştır.
5. Oksitleyici olarak hidrojen peroksit ilavesi yapılarak karbonat çözeltisiyle gerçekleştirilen uranyum ekstraksiyonu işlemi iki farklı bölgede yürülmektedir. Birinci bölge; hidrojen peroksitin stabil kaldığı süre boyunca gözlenen hızlı ekstraksiyon başlangıç bölgesi olup, uranyum çözünürlük me-

kanızması hidrojen peroksitin mevcudiyetinde yürümektedir. Bu bölgedeki uranyum çözünürlüğü $\alpha = A + B \ln \theta$ şeklinde, zamanın logaritmasına bağlı bir modele uygunluk göstermektedir. İkinci bölge; hidrojen peroksitin tamamen su ve oksijene bozduğu zamandan itibaren başlayan ve ekstraksiyon hızının hidrojen peroksit yerine oksijen tarafından kontrol edildiği bölge olup, çözünürlüğün birinci bölgeye göre daha yavaş bir hızla yürüdüğü bölgedir.

B) 4.Bölümde sunulan teorik modelleme çalışmaları temel alınarak da aşağıdaki sonuçlara ulaşılmıştır:

1. Yeni bir nümerik çözüm yöntemi olan "sınır elemanları yöntemi", yerinde değerlendirme prosesinin modellenmesinde, gözenekli ortamın homojen bir yapıya sahip olması durumunda, besleme ve üretim kuyularının yerlerinin tespiti ve bu kuyular arasında akışkan akımı yollarının belirlenmesinde kullanılabilecek emin ve sağlıklı bir yöntemdir.
2. Gözenekli ortamın heterojen bir yapıya sahip olması yani maden rezervinin bulunduğu bölgenin farklı geçirgenliklere sahip bölgelerden meydana gelmesi durumunda, sınır elemanları yöntemi prosesin modellenmesinde kısmen cevap vermektedir, özellikle alt bölgelerin birleştiği köşe noktalarında yetersiz kalmaktadır.

R E F E R A N S L A R

1. Dossey, J.L., Underground Coal Gasification Technology in the USSR, Sandia Laboratories Report, SAND 76-0380, February, (1976).
2. Gregg, D.W., Edgar, T.F., Underground Coal Gasification, AIChE Journal, Vol.24, No.5, September, (1978), 753-781.
3. United States Department of Energy, Underground Coal Conversion, DOE/ET-0100, June, (1979).
4. The Interstate Oil Compact Commission, Secondary and Tertiary Oil Recovery Processes, December, (1978).
5. Dougan, P.M., Reynolds, F.S. and Root, P.J., The Potential For In Situ Retorting of Oil Shale In the Piceance Creek Basin of Northwestern Colorado, Quarterly of The Colorado School of Mines, 6 th Oil Shale Symposium, (1969), 57-72.
6. Mc Carthy, H.E., Cha, C.Y., Bartel, W.J. and Burton, R.S., Development of the Modified In Situ Oil-Shale Process, Presented at the Sixty Eight Annual Meeting of AIChE, Los Angeles, California, Nov. 16-20, (1975).
7. Decora, A.W., The Outlook and Status of In Situ Oil Shale Research, Presented at the Sixty Eight Annual Meeting of AIChE, Los Angeles, California, Nov. 16-20, (1975).
8. OECD Nuclear Energy Agency and International Atomic Energy Agency, Uranium Resources, Production and Demand, Paris, (1979).
9. Robie, E.H., New Method Suggested for Leaching, Eng. and Mining Journal, May (1967), 106-107.
10. Merritt, R.C., The Extractive Metallurgy of Uranium, CSRMI Publisher, (1971).
11. Hiskey, J.B., Extractive Metallurgy of Copper and Uranium, US Steel Corporation Research Center Auditorium, Monroeville Pa, April (1978).

12. Recent Advances in Mining and Processing of Low Grade and Submarginal Mineral Deposits, Centre for Natural Resources, Energy and Transport, United Nations, New York, (1976).
13. Jackson, D., Trona Solution Mining, Eng. and Mining Journal, December, (1981), 68-69.
14. Kostick, D.S., The Influence of Solution Mining on The World Soda Ash Market, Society of Mining Engineers of AIME, Preprint 81-368, Presented at the SME-AIME Fall Meeting and Exhibit, Denver, Co. November 18-20, (1981).
15. Giulianelli, J., Carpenter,S., Dowler, W., Feasibility of Solution Mining for Sodium Carbonate at Searles Lake, California, Society of Mining Engineers of AIME, Preprint 81-312, Presented at The SME-AIME Fall Meeting and Exhibit Denver, Co., November 8-20, (1981).
16. McKee, C.R., Fundamentals of In Situ Recovery I,II, Lectures Notes, Univ. of Wyoming, Laramie, (1979-1980).
17. McKee, C.R., Hanson, M.E., and Terhune, R.W., Permeability From Single and Multiple Detonations In Boreholes, In Situ, 1(1), (1977), 37-73.
18. McKee, C.R., Jacobson, R.H., Way, S.C., Hanson, M.E., Chong, K., Design Criteria For In Situ Mining of Hard Rock Ore Deposits, Presented at the 2 nd SME-SPE International Solution Mining Symposium, Denver, Colorado, November 18-21, (1981).
19. Toth, G.W., A Cost Model For Uranium Solution Mining, Presented to Second Conference on Uranium Technology, Mackay School of Mines, Univ. of Nevada, Reno, Nevada, November 13-17, (1978).
20. Hill,A.D., Walsh,M.P., Breland,W.M., Silberberg,I.H., Huminick, M.J., and Schecter,R.S., Restoration of Uranium In Situ Leaching Sites, SPE 7534, Presented at the 53 rd Annual Fall Technical Conference and Exhibition of SPE-AIME, Houston, Texas, October 1-3, (1978).
21. Davis,F.T., Hanson,G.E., Pretreatment of Uranium Ores, Proceedings of the Second United Nations International Conference On the Peaceful Uses of Atomic Energy, Held in

Geneva, September 1-13,(1958).

- 22.Beverly, R.G. and Charles, W.D., Pilot Plant Alkaline Leaching of Uranium Ores, Proceedings of the Second United Nations International Conference On The Peaceful Uses of Atomic Energy, Held in Geneva, September 1-13,(1958).
- 23.Mouret, P. and Sartorius, R., The Chemical Treatment of Uranium Ores in France, Proceedings of The Second United Nations International Conference On The Peaceful Uses of Atomic Energy, Held in Geneva, September 1-13,(1958).
- 24.Alter,I., Foa, E., Hadari, Z., Peri, G., and Trocker, J., Selective Leaching of Uranium From Phosphate Rock by Dilute Mineral Acids, Proceedings of the Second United Nations International Conference On the Peaceful Uses of Atomic Energy, Held in Geneva, September 1-13,(1958).
- 25.Galichon, P., Schechter, R.S., Cowley, A., and Breland, M., Chemical Factors In In-Situ Uranium Leach Mining, In Situ, 1(2),(1977), 125-146.
- 26.Annamalai,V.,McGarvey, F.X., Operating Experience In The Recovery of Uranium At The Pawnee and Zamzow Sites, SPE 9507, Presented at The 55 th Annual Fall Tech. Conference and Exhibition of SPE-AIME, Held in Dallas, Texas, September 21-24, (1980).
- 27.Carlson,R.H., Norris, R.D., and Schellinger, R., The Role of Oxidizing Agent In the Chemistry of In Situ Uranium Leaching, SPE 9483, Presented at the 55 th. Annual Fall Tech. Conference and Exhibition of SPE-AIME, Held in Dallas, Texas September 21-24, (1980).
- 28.Durler, D., Bishop, A.L., In-Situ Uranium Leach Mining: Considerations For Monitor Well Systems, SPE 9505, Presented at the 55 th. Annual Fall Tech. Conference and Exhibition of SPE-AIME, Held in Dallas, Texas, September 21-24,(1980).
- 29.Bommer, P.M., Schechter, R.S., Mathematical Modeling of In-Situ Uranium Leaching, SPE 7533, Presented at the 53 rd Annual Fall Tech. Conference and Exhibition of SPE-AIME, Held in Houston, Texas, October 1-3, (1978).

30. Harloff, G.J., Riese, A.C., Experimental and Theoretical Study of Uranium In Situ Solution Mining With H_2SO_4 , SPE 9484, Presented at the 55 th Annual Fall Tech. Conference and Exhibition of SPE-AIME, Held in Dallas, Texas, September 21-24, (1980).
31. Phillips, P.E., A Comparison of Open Pit and In Situ Leach Economics, Presented at the Conference on Uranium Mining Technology, Reno Nevada, April 28, (1977).
32. Chase, C.K., Winters, H.J., and Bhappu, R.B., Economic Evaluation of In Situ Extraction of Uranium, In Situ, 2(1), (1978), 49-63.
33. Forward, F.A., Halpern, J., and Peters, E., Studies In the Carbonate Leaching of Uranium Ores, Canadian. Min. and Met. Bull., October (1952), 634-647.
34. Schortman, W.E. and DeSesa, M.A., Kinetics of Dissolution of Uranium Dioxide in Carbonate-Bicarbonate Solutions, Proceedings of the Second United Nations International Conference On the Peaceful Uses of Atomic Energy, Held in Geneva, September 1-13, (1958).
35. Pearson, R.L., and Wadsworth, M.E., A Kinetic Study of the Dissolution of UO_2 in Carbonate Solution, Trans.Met.Soc. AIME, (1958), 294-300.
36. Nicol,M.J., Needes, C.R.S., Finkelstein, N.P., Electrochemical Model For the Leaching of Uranium Dioxide: 2-Alkaline Carbonate Media, Leaching and Reduction in Hydrometallurgy, A.R.Burkin ed., London, IMM, (1975).
37. Grandstaff, D.E., Kinetic Study of the Dissolution of Uraninite, Economic Geology and The Bull. of the Soc. of Economic Geologists, Vol. 71, Dec., (1976), 1493-1506.
38. Hiskey, J.B., Kinetics of Uranium Dioxide Dissolution in Ammonium Carbonate, US Steel Research Laboratory, Muroeville, Pa, (1978).
39. Winkley, D.C., The Effect of Uranium Leach Conditions On The Effect of Uranium Leach Conditions On The Kinetics of

Hydrogen Peroxide Reactions, Presented at The Uranium Mining Technology Update'78 Conference, Reno, Nevada November 13-17, (1978).

40. Lawes, B.C., Effect of Sodium Silicate On Leaching Uranium Ores With Hydrogen Peroxide, In Situ, 2(2), (1978), 75-92.
41. Huang, W.H., and Pickett, K., Factor Controlling In-Situ Leaching of Uranium From Sandstone and Lignite Deposits In South Texas, Presented at the Uranium Mining Technology UPDATE'78. Conference, Reno, Nevada, November 13-17, (1979).
42. Schumb, W.C., Satterfield, C.N. and Wentworth, R.L., Hydrogen Peroxide, A.C.S. Monograph 128, Reinhold, (1955).
43. Haber, F., and Weiss, J., The Catalytic Decomposition of Hydrogen Peroxide by Iron Salts, Proc.Roy.Soc.London, A147, (1932), 332-351.
44. Barb,W.G., Baxendale, J.H., George,P., and Hargrave, K.R., Reactions of Ferrous and Ferric Ions With Hydrogen Peroxide, Trans. Faraday Soc., 47,(1951), 462-500.
45. Wyoming Analytical Laboratories, Inc., Reports of Uranium Analysis, Laramie, Wyoming, May, (1981).
46. MINOBRES, Uranium Guidebook For Wyoming, Library of Congress Catalog Card No. 76-552, Dana Point, Calif.,January,(1976).
47. Sharp, W.N., McKeawn, F.A., McKay, E.J., et White, A.M., Geologie et gitesd'uranium dela zone des Pumpkin Buttes daus le bassin dela Powder River (Wyoming), Actes dela Conferance Internationale sur l'utulisation de l'énergie Atomique à des Fins Pasifiques, Volume VI, Géneve, 8-20 Août, (1955).
48. Vandell, T.D.,Groundwater Problems At Uranium In Situ Leach Mining Operations In the Powder River Basin, Wyoming, Society of Mining Engineers of AIME, Preprint 81-309, Presented at the SME-AIME Fall Meeting and Exhibit, Denver, Colorado, November 18-20, (1981).

49. Hampshire Organic Chemicals Division, W.R. Grace and Co., Chelates, Hampshire Products, Technical Information, Chicago, Ill., (1978).
50. Johnson, D.A. and Florence, T.M., Spectrophotometric Determination of Uranium (VI) With 2-(5-Bromo-2-Pyridylazo)-5-Diethylaminophenol, Anal.Chim.Acta, 53,(1971), 73-79.
51. Schumb, W.C., Satterfield, C.N. and Wentworth,R.L., Hydrogen Peroxide, New York, Reinhold Publishing, (1955).
52. Yan,T., A Method For Removing Ammonium Ions From Subterranean Formation After In Situ Uranium Leaching, SPE 9491, Presented at the 55 th Annual Fall Tech. Conference and Exhibition of SPE-AIME, Held in Dallas, Texas, September 21-24, (1980).
53. Kirk-Othmer, Encyclopedia of Chemical Technology, Second Ed., Vol. 6, New York, Interscience Publ.,(1969), 17-18.
54. Mott, N.F., The Theory of The Formation of Protective Oxide Films on Metals-III, Trans.Faraday Soc., 43, (1947),429-434.
55. Schechter, R.S., Bommer, P.M., Optimization of Uranium Leach Mining, SPE 9488, Presented at the 55 th Annual Fall.Tech. Conference and Exhibition of SPE-AIME, Held in Dallas,Texas, September 21-24, (1980),
56. Kossack, C.A., Three-Dimensional Simulations of Uranium Leaching and Aquifer Renovation, SPE 9487, Presented at The 55 th Annual Fall Tech. Conference and Exhibition of SPE-AIME, Held in Dallas, Texas, September 21-24,(1980).
57. Satter, A., Shum, Y.M., Adams, W.T., and Davis, L.A., Chemical Transport In Porous Media, SPE 6847, Presented at The 52 nd Annual Fall Tech. Conference and Exhibition of SPE-AIME, Held in Denver, Colorado, Oct. 9-12,(1977).
58. Muskat,M., The Flow of Homogeneous Fluids Through Porous Media, New York, McGraw-Hill Book Co., (1937).
59. Roper,W.A., Merchant, J.E. and Duvall, C.A., Combination of Numerical and Analytical Techniques to Improve Waterflood Model Efficiency, SPE 2031, Presented at the Sym. on Numerical Simulation of Reservoir Performance, Held in

Dallas, Texas, April 22-23, (1968).

- 60.Crichlow, H.B., Modern Reservoir Engineering-A Simulation Approach, Englewood Cliffs, New Jersey, Prentice Hall, Inc., (1977).
- 61.Way, S.C. and McKee, C.R., In Situ Determination of Three-Dimensional Aquifer Permeabilities, Ground Water, Vol.20, No.5, Sept-Oct., (1982), 594-603.
- 62.Lohman, S.W., Ground-Water Hydraulics, Geological Survey Professional Paper 708, U.S. Government Printing Office, Washington, (1979).
- 63.Zienkiewicz, O.C., Kelly, D.W. and Bettess, P., The Coupling of the Finite Element Method and Boundary Solution Procedures, International Journal For Numerical Methods In Engineering, Vol. 11, (1977), 355-375.
- 64.Brebbia, C.A. and Dominguez,J., Boundary Element Methods For Potential Problems, Appl.Math. Modelling, Vol.1, December, (1977), 372-378.
- 65.Shaw, R.P., Coupling Boundary Integral Equation Methods To "Other" Numerical Techniques, Proc.First Annual Int. Seminar on Recent Advances in Boundary Element Methods, edited by C.A.Brebbia London, Pentech Press, (1978).
- 66.Fairweather, G., Rizzo, F.J. and Shippy, D.J., On the Numerical Solution of Two-Dimensional Potential Problems by an Improved Boundary Integral Equation Method, Journal of Computational Physics, 31,(1979), 96-112.
- 67.Lin, P.L., Liggett, J.A., Boundary Solutions To Two Problems In Porous Media, Journal of the Hydraulics Division, ASCE, HY3, March, (1979), 171-183.
- 68.Ingham, D.B., Heggs, P.J. and Manzoor, M., The Numerical Solution of Plane Potential Problems by Improved Boundary Integral Equation Methods, Journal of Computational Physics, 42,(1981), 77-98.
- 69.Brebbia, C.A., The Boundary Element Method For Engineers, Devon, Pentech Press, (1981).

70. Brebbia, C.A. and Walker, S., Introduction To Boundary Element Methods, Proc. First Annual Int. Seminar on Recent Advances in Boundary Element Methods, edited by C.A.Brebbia, London, Pentech Press, (1978).
71. Brebbia, C.A. and Wrobel, L.C., Applications of Boundary Elements In Fluid Flow, Proc. Int. Conference on Finite Elements in Water Resources, edited by Brebbie, C.A., Gray, W.G. and Pinder, G.F., Imperial College, London, (1978).
72. Brebbia, C.A., Fundamentals of Boundary Elements, presented at the Second Int. Seminar on Recent Advances in BEM, held at the Univ. of Southampton, March, (1980).
73. Wrobel, L.C. and Brebbia, L.C., A Formulation of the Boundary Element Method For Axisymmetric Transient Heat Conduction, Int.J.Heat Mass Transfer, Vol.24, No.5,(1981),843-850.
74. Brebbia,C.A. and Walker, S., Boundary Element Techniques in Engineering, London, Newnes-Butterworths,(1980).
75. Brebbia, C.A. and Dominguez, J., Boundary Element Methods Versus Finite Elements, Proc. Int. Conference on Applied Numerical Modeling, edited by C.A.Brebbia, London,Pentech Press, (1978).
76. Jaswon, M.A. and Symm, G.T., Integral Equation Methods in Potential Theory and Elastostatics, London, Academic Press, (1977).
77. Wu, Y.S., The Boundary Integral Equation Method Using Various Approximation Techniques For Problems Governed by Laplace's Equation, (MSc.Thesis), Lexington, Kentucky, Univ. of Kentucky, (1976).
78. Stroud, A.H. and Secrest, D., Gaussian Quadrature Formulas, New York, Prentice Hall, (1966).
79. Carnahan,B., Luther, H.A., Wilkes, J.O., Applied Numerical Methods, New York, John Wiley and Sons, Inc., (1969).
80. Brebbia,C.A., Ferrante, A.J., Computational Methods For the Solution of Engineering Problems,Devon,Pentech Press,(1978).

81. TRACER 2D. Package Program, Computer Center, Univ. of Wyoming, Laramie, Wyoming, May, (1982).
82. Butterfield,R., An Application of the Boundary Element Method To Potential Flow Problems In Generally Inhomogeneous Bodies, Proc. First Annual Int. Seminar on Recent Advances in Boundary Element Methods, edited by C.A.Brebbia, London, Pentech Press, (1978).
83. Sherman, A.H., Yale Sparse Matrix Package User's Guide, UCID-30114, Computer Documentation, Univ. of California, Livermore, California, August 27,(1975).
84. Sherman, A.H., On The Efficient Solution of Sparse Systems of Linear and Nonlinear Equations (Ph.D.Thesis), Urbana, Univ. of Illinois, December, (1975).
85. Eischenstat, S.C., Gursky, M.C., Sehultz, M.H. and Sherman, A.H., Yale Sparce Matrix Packages I-II, Research Report No. 112-114, Dept. of Computer Science, Yale University, New Haven, Corn., (1977).
86. Young, D.M. and Kincaid, D.R., The Itpack Package For Large Sparse Linear Systems, Elliptic Problem Solvers, edited by M.Schultz, Academic Press, (1981),
87. Grimes, R.G., Kincaid, D.D., Young, D.M., Itpack 2.0 User's Guide, CNA-150, Center For Numerical Analysis, The University of Texas at Austin, August,(1979).

T E S E K K Ü R

Tezin hazırlanmasında bana her türlü imkânı sağlayan, çalışmalarımı titizlikle yöneten ve çalışma süresince kıymetli yardımlarını esirgemeyen Temel İşlemeler ve Termodinamik Anabilim Dalı Başkanı, Sayın Hocam,

Prof.Dr.Ihsan ÇATALTAŞ'a

ve A.B.D.Wyoming Üniversitesinde bulduğum süre boyunca gerek deneysel gerekse teorik modelleme çalışmalarım sırasında, yakın ilgi, destek ve yardımlarını gördüğüm Sayın Hocam

Dr.Chester MCKEE'ye

derin şükranlarımı sunarım.

Çalışmamın her aşamasında maddi manevi destegini esirgemeyen, çalışmalarımı her an istek güç vererek en iyi ortamı hazırlayan eşim Füsun OKUTAN'a ve yetişmemin her safhasında emeği geçen anne-babama ve sayın hocalarıma teşekkürü bir borç biliyorum.

Ayrıca değerli yardımlarını gördüğüm Wyoming Üniversitesi Kimya Mühendisliği Bölümü ve Bilgisayar Merkezi personeeline, Sayın Dr.Jack MURPHY'ye, Sayın Doç.Dr. Ekrem EKİNCİ'ye ve tezin yazılmasında emeği geçen Sayın Ü.Zekiye ŞERMET'e de teşekkür ederim.

Hasancan OKUTAN

Ö Z G E Ç M İ Ş

1953 yılında Kırşehirde doğdum. İlk öğrenimi Adana Lüt-
fiye Kısacık İlkokulunda, orta öğrenimi Adana Atatürk Ortaoku-
lunda ve lise öğrenimini Adana Erkek Lisesinde tamamladım.
1970 yılında, İ.T.Ü. Kimya Fakültesinde Kimya Mühendisliği öğ-
renimine başladım ve 1974 yılında mühendis olarak mezun oldum.
1974 yılında aynı fakültede lisansüstü öğrenimine başladım ve
1976 yılında yüksek mühendis ünvanını aldım. Aynı yıl İ.T.Ü.
Kimya Fakültesi, Kimya Mühendisliği Esasları Kürsüsüne asistan
olarak atandım. Mayıs 1979 ve Temmuz 1982 tarihleri arasında
İ.T.Ü.'den görevli olarak ABD'ye gittim, University of Wyoming
de doktora konum ile ilgili araştırmalarda bulundum. İ.T.Ü.'den
verilen iznimin bitmesi üzerine İ.T.Ü.'deki görevime döndüm ve
Kasım 1982 de kısa dönem Askerlik görevimi tamamladım. Halen
İ.T.Ü. Kimya-Metalurji Fakültesi, Kimya Mühendisliği Bölümü,
Temel İşlemler ve Termodinamik Anabilim dalında araştırma gö-
revlisi olarak görev yapmaktayım. Evli ve bir çocuk babasıyım.

Y A Y I N L A R :

1. Okutan,H., Hidrokarbonların Kraking Zamanlarının Süratli Bir Şekilde Hesaplanması İçin Nomogram, Kimya Mühendisliği Dergisi, Nisan-Mayıs 1977.
2. Okutan,H., The Effect of Water on the Stability of Under-ground Coal Gasification Processes, Alternative Energy Sources IV, Hydrocarbon Technology Environment, edited by T.Veziroğlu, Volume 6, 1982, 167-184, Ann Arbor Science Publishers, Ann Arbor, Michigan, USA.
3. Okutan,H., The Calculation of Channel Diameter of Reverse Dry Combustion for In Situ Coal Gasification, Alternative Energy Sources IV, Hydrocarbon Technology Environment, edited by T.Veziroğlu, Volume 6, 1982, 185-200, Ann Arbor Science Publishers, Ann Arbor, Michigan, USA.
4. Tantekin,B., Okutan,H., Türkay,Ş., Ekinci,E., Çataltaş,İ., Pirinç Kepeğinin Ekstraksiyonu ve Yağının İncelenmesi, III. Gıda ve Beslenme Sempozyumuna Sunulan Tebliği, İstanbul, 10-14 Ekim 1983.

W. C.

Tükököğretim Kurulu
Dokümantasyon Merkezi